

UNIVERSIDADE FEDERAL DO RIO GRANDE DO SUL
FACULDADE DE AGRONOMIA
PROGRAMA DE PÓS-GRADUAÇÃO EM ZOOTECNIA

**RECRIA DE CORDEIRAS EM PASTAGEM NATIVA MELHORADA,
SUBMETIDA À FERTILIZAÇÃO NITROGENADA**

IGOR JUSTIN CARASSAI
Engenheiro Agrônomo/UFRGS

Dissertação apresentada como um dos requisitos à obtenção do Grau de
Mestre em Zootecnia
Área de Concentração Plantas Forrageiras

Porto Alegre (RS), Brasil
Fevereiro de 2006

Livros Grátis

<http://www.livrosgratis.com.br>

Milhares de livros grátis para download.

IGOR JUSTIN CARASSAI
Engenheiro Agrônomo - UFRGS

DISSERTAÇÃO

Submetida como parte dos requisitos
para obtenção do Grau de

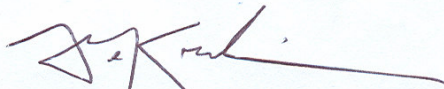
MESTRE EM ZOOTECNIA

Programa de Pós-Graduação em Zootecnia
Faculdade de Agronomia
Universidade Federal do Rio Grande do Sul
Porto Alegre (RS), Brasil

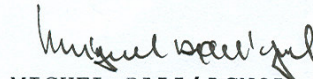
Aprovada em: 06.03.2006
Pela Banca Examinadora

Homologada em: 28.04.2006
Por


CARLOS NABINGER
Orientador-PPG-Zootecnia


ALEXANDRE DE MELLO KESSLER
Coordenador do Programa de
Pós-Graduação em Zootecnia


AINO VICTOR ÁVILA JACQUES
PPG-Zootecnia


MIGUEL DALL'AGNOL
PPG-Zootecnia


TERESA CRISTINA MORAES GENRO
EMBRAPA - CPPSUL
Bagé - RS


GILMAR ARDUINO BETTIO MARODIN
Diretor da Faculdade de
Agronomia

DEDICATÓRIA

Aos meus pais Paulo e Eliane, por serem exemplos a serem seguidos, sem os quais não teria realizado esta etapa de minha vida.

AGRADECIMENTOS

Ao Professor Nabinger pela orientação e valiosa amizade, estando sempre pronto para transmitir valiosos ensinamentos, e a cada dia demonstrando mais a sua paixão pela pastagem nativa de forma contagiente, o meu muito obrigado.

Ao Professor Paulo pela colaboração, e também sempre disposto para transmitir ensinamentos, muito obrigado pela sua amizade.

Aos funcionários Roberto, Carlos e Paulo do Departamento na EEA pela ajuda e principalmente amizade.

Aos colegas de curso pelas valiosas discussões, não podendo deixar de citar o Rogério, Danilo, Cláudio. Em especial ao Davi, Fabi e Edna, que foram fundamentais para a realização deste trabalho, sem os quais tudo seria bem mais complicado, pessoas companheiras de todos os momentos, não deixando em alguns instantes que o desânimo “tomasse conta”, só tenho a agradecer, vocês são pessoas fantásticas. Muito obrigado pela amizade de vocês.

Aos bolsistas e estagiários do Grupo de Pesquisa Ecologia do Pastejo, pelo trabalho, amizade e o convívio agradável, e aos que participaram diretamente nas avaliações de campo, Carlos, Thais, Raquel e Angela pela colaboração e senso de responsabilidade, muito obrigado.

Aos amigos André, Bernadete, Claiton, Roberto, colegas desde o primeiro semestre da graduação e agora estamos defendendo nossas dissertações quase que todos na mesma data, muito obrigado a vocês por essa amizade.

Ao meu irmão Julierme pela amizade e perseverança transmitida.

Aos meus pais Paulo e Eliane, vocês são o meu exemplo de dignidade e de força de vontade, o verdadeiro esteio para a minha formação, sou eternamente grato, eu amo vocês.

Ao CNPq pela bolsa de mestrado e à Dow Agrosciences pela concessão de parte dos recursos que tornaram possível este trabalho.

À Empresa Agropecuária Cabanha Cerro Coroado pelo empréstimo dos animais.

RECRIA DE CORDEIRAS EM PASTAGEM NATIVA MELHORADA, SUBMETIDA À FERTILIZAÇÃO NITROGENADA¹

Autor: Igor Justin Carassai

Orientador: Carlos Nabinger

Resumo

O experimento foi desenvolvido em uma área de pastagem nativa melhorada na Estação Experimental Agronômica/UFRGS no verão-outono de 2005, com o objetivo de avaliar a dinâmica da pastagem e o desempenho de cordeiras para encarneiramento no outono. A pastagem foi adubada utilizando-se 250 kg/ha de adubo mineral de fórmula 5-20-20 e fertilização nitrogenada. Os tratamentos foram três doses de nitrogênio (N) (zero, 100 e 200 kg/ha de N, na forma de uréia) fracionados em duas vezes - 70% e 30%, em 3 de fevereiro e 17 de março de 2005, respectivamente. O delineamento experimental utilizado foi de blocos completos casualizados com duas repetições. Utilizou-se lotação contínua com carga variável e uma oferta pretendida de 16% (16 kg MS/100kg peso vivo [PV]) utilizando-se cordeiras com idade e peso médios de 6 meses e 38,4 kg, respectivamente. As doses de nitrogênio aplicadas não contribuíram para a expressão de respostas mais intensas das variáveis produtivas da pastagem nativa, pois o déficit hídrico ocorrido durante o período experimental comprometeu negativamente as mesmas. A oferta de forragem verde apresentou interação dose e período ($P<0,1$), com melhor resposta dos tratamentos com adubação nitrogenada nos períodos finais, pós déficit hídrico. A oferta de forragem total e a taxa de desaparecimento, em % PV, não diferiram entre as doses e também entre os períodos ($P>0,1$) e apresentaram valores médios de 14,1 e 2,9, respectivamente. A carga animal mostrou efeito positivo das doses de N e não diferiu no decorrer das avaliações, enquanto as demais variáveis estudadas não mostraram efeito significativo das doses, mas tiveram variação entre os períodos. A altura e a massa de forragem apresentaram alta correlação entre si ($r=0,87$), demonstrando que, nestas condições, a altura pode ser usada para estimar a massa com propósitos de ajuste da carga animal. A taxa de prenhez não diferiu ($P>0,1$) entre tratamentos e foi, em média, de 53,2%, a qual pode ser considerada expressiva considerando-se o déficit hídrico e o baixo desempenho dos animais ocorridos no período de pré-encarneiramento. Sob condições de déficit hídrico não se recomenda a utilização de adubação nitrogenada em pastagem nativa melhorada.

¹ Dissertação de Mestrado em Zootecnia – Plantas Forrageiras, Faculdade de Agronomia, Universidade Federal do Rio Grande do Sul, Porto Alegre, RS, Brasil. (189p.) Fevereiro, 2006.

REARING OF LAMBS IN IMPROVED NATIVE PASTURE SUBMITTED TO NITROGEN FERTILIZATION¹

Author: Igor Justin Carassai

Adviser: Carlos Nabinger

Abstract

The experiment was developed in area of improved native pasture in the Agronomic Experimental Station/UFRGS in the 2005 Summer-Autumn, with the objective of evaluate the pasture dynamics and the lambs performance to mating in the autumn. The pasture was fertilized using 250 kg/ha of 5-20-20 formula mineral fertilizer and nitrogen fertilization. The treatments were three nitrogen levels (N) (zero, 100 and 200 kg/ha of N, in urea form) divided in two times - 70% and 30%, in 2005 February, 3 and March, 17, respectively. A randomized complete blocks design with two replication was utilized. Lambs with average age and weight of 6 months and 38.4 kg, respectively, were evaluated in continuous grazing with variable stocking rate and forage allowance of 16% (16 kg DM/100kg live weight [LW]). The nitrogen levels didn't contribute for the expression of more intense responses of the native pasture productive variables, because water deficit occurred during the experimental period affecting the same ones negatively. Green forage allowance presented interaction between level and period ($P<0.1$), with best response to nitrogen fertilization treatments on final periods. The forage allowance and disappearance daily rate, in %LW, were not different between levels and between periods ($P>0.1$) and presented average values of 14.1 and 2.9, respectively. The stocking rate showed positive linear effect of N level and didn't differ in time, while the others variables studied didn't show significant effect of N level, but presented variation between periods. The height and the forage mass presented high correlation ($r=0.87$), demonstrating that, in these conditions, the height can be used to estimate the mass with stocking rate adjustment intentions. The pregnancy rate didn't differ between treatments and was, in average, of 53.2%, which can be considered expressive considering the water deficit and low animal performance occurred in pre-mating period. In water deficit conditions, the use of nitrogen fertilization in improved native pasture doesn't recommend.

¹ Master of Science Dissertation in Animal Production - Forage Plants, Faculdade de Agronomia, Universidade Federal do Rio do Sul, Porto Alegre, RS, Brazil. (189p.) February, 2006.

SUMÁRIO

1. CAPITULO I.....	1
1.1. Introdução.....	2
1.2. Pastagem Nativa Melhorada	6
1.3. Recria de Cordeiras.....	20
1.4. Hipótese e Objetivos.....	25
2. CAPITULO II - Recria de Cordeiras em Pastagem Nativa Melhorada, submetida à Fertilização Nitrogenada. 1. Dinâmica da Pastagem	27
Resumo	28
Abstract	29
Introdução.....	30
Material e Métodos	32
Resultados e Discussão	36
Conclusões.....	49
Literatura Citada	50
3. CAPITULO III - Recria de Cordeiras em Pastagem Nativa Melhorada, submetida à Fertilização Nitrogenada. 2. Produção Animal.....	54
Resumo	55
Abstract	56
Introdução.....	57
Material e Métodos	59
Resultados e Discussão	63
Conclusões.....	75
Literatura Citada	76

4. CAPITULO IV - CONSIDERAÇÕES FINAIS	79
Conclusões Gerais	80
Considerações Finais	82
5. REFERÊNCIAS BIBLIOGRÁFICAS.....	87
6. APÊNDICES	96
7. VITA.....	189

RELAÇÃO DE TABELAS

2. CAPITULO II - Recria de Cordeiras em Pastagem Nativa Melhorada, submetida à Fertilização Nitrogenada. 1. Dinâmica da Pastagem	27
1. Características do solo (0-10 cm) da área experimental, média dos tratamentos antes da fertilização	34
2. Massa de forragem (MF, kg/ha de MS), massa de forragem verde (MFV, kg/ha de MSV), taxa de acúmulo diário de MS (TAD, kg/ha/dia de MS), altura do pasto (ALT, cm) e teor de MS (%MS) da pastagem nativa submetida à adubação nitrogenada e utilizada por cordeiras.....	38
3. Densidade volumétrica (DV, kg/ha/cm de MS) da pastagem nativa submetida à adubação nitrogenada e utilizada por cordeiras	45
4. Oferta de forragem verde (kg MSV/100kgPV/dia) da pastagem nativa submetida à adubação nitrogenada e utilizada por cordeiras	47
3. CAPITULO III - Recria de Cordeiras em Pastagem Nativa Melhorada, submetida à Fertilização Nitrogenada. 2. Produção Animal.....	54
1. Massa de forragem (MF, kg/ha de MS), massa de forragem verde (MFV, kg/ha de MSV), e oferta de forragem (OF, kg MS/100kgPV/dia) da pastagem nativa submetida à adubação nitrogenada e utilizada por cordeiras	65
2. Carga animal (CA, kg PV/ha), condição corporal (CC, 1-5), ganho médio diário (GMD, kg/animal/dia) e ganho por área (GPA, kg de PV/ha) de cordeiras em pastagem nativa submetida à adubação nitrogenada	68

RELAÇÃO DE FIGURAS

2. CAPITULO II - Recria de Cordeiras em Pastagem Nativa Melhorada, submetida à Fertilização Nitrogenada. 1. Dinâmica da Pastagem	27
1. Médias mensais de precipitação normal e ocorrida durante o período experimental. Eldorado do Sul, 2005	37
2. Médias mensais de déficit hídrico normal e ocorrido durante o período experimental. Eldorado do Sul, 2005	37
3. Massa de forragem (MF, kg/ha de MS) e altura do pasto (ALT, cm) da pastagem nativa submetida à adubação nitrogenada e utilizada por cordeiras	39
4. Taxa de acúmulo diário de MS (TAD, kg/ha/dia de MS) da pastagem nativa submetida à adubação nitrogenada e utilizada por cordeiras.....	41
5. Teor de MS (%MS) da pastagem nativa submetida à adubação nitrogenada e utilizada por cordeiras	42
6. Massa de forragem verde (MFV, kg/ha de MSV) e percentagem de material morto da MF (MM, %) da pastagem nativa submetida à adubação nitrogenada e utilizada por cordeiras	43
7. Densidade volumétrica verde (DDV, kg/ha/cm de MSV) da pastagem nativa submetida à adubação nitrogenada e utilizada por cordeiras.....	46
8. Oferta de forragem verde (kg MSV/100kgPV/dia) da pastagem nativa submetida à adubação nitrogenada e utilizada por cordeiras	48

3. CAPITULO III - Recria de Cordeiras em Pastagem Nativa Melhorada, submetida à Fertilização Nitrogenada. 2. Produção Animal.....	54
1. Balanço hídrico climatológico, da Normal-1969-1999 (a), e do período experimental-2005 (b) na EEA-UFRGS, Eldorado do Sul, RS.....	64
2. Oferta de forragem verde (kg MSV/100kgPV/dia) da pastagem nativa submetida à adubação nitrogenada e utilizada por cordeiras	67
3. Carga animal (CA, kg PV/ha) suportada pela pastagem nativa submetida à adubação nitrogenada e utilizada por cordeiras	68
4. Ganho médio diário (GMD, kg/animal/dia) realizado por cordeiras em pastagem nativa submetida à adubação nitrogenada.....	70
5. Ganho por área (GPA, kg de PV/ha) realizado por cordeiras em pastagem nativa submetida à adubação nitrogenada.....	72

LISTA DE ABREVIATURAS

%DM	Dry Matter Content
%MS	Teor de MS
ADG	Averege Daily Gain
ADR	Accumulation Daily Rate of DM
ALT	Altura do Pasto
BC	Body Condition
CA	Carga Animal
CC	Condição Corporal
DDM	Dead Material
DDR	Disppearance Daily Rate of DM
DLW	DM Disappearance of LW
DM	Dry Matter
DPV	Desaparecimento de MS em %PV
DV	Densidade Volumétrica
DVV	Densidade Volumétrica Verde
EUN	Eficiência de Utilização de Nitrogênio
FA	Forage Allowance
FM	Forage Mass
GDM	Green Dry Matter
GFA	Green Forage Allowance
GFM	Green Forage Mass
GMD	Ganho de Peso Médio Diário
GPA	Ganho de Peso por Área
GVD	Green Volumetric Density
HEI	Grass Height
LOT	Taxa de Lotação Média
LW	Live Weight
LWG	Live Weight Gain per Area
MF	Massa de Forragem
MFV	Massa de Forragem Verde
MM	Porcentagem de Material Morto
MS	Matéria Seca

MSV	Matéria Seca Verde
OF	Oferta de Forragem Total
OFV	Oferta de Forragem Verde
PP	Porcentagem de Prenhez
PR	Pregnancy Rate
PV	Peso Vivo
SR	Stocking Rate
TAD	Taxa de Acúmulo Diário de MS
TDD	Taxa de Desaparecimento Diário de MS
VD	Volumetric Density

1. CAPITULO I

1.1. INTRODUÇÃO

1.2. PASTAGEM NATIVA MELHORADA

1.3. RECRIA DE CORDEIRAS

1.4. HIPÓTESE E OBJETIVOS

1.1. INTRODUÇÃO

As pastagens nativas são um dos maiores recursos forrageiros do mundo e de grande importância para o Sul do Brasil, Uruguai, Leste da Argentina e Sul do Paraguai. Estes ecossistemas permitem o desenvolvimento de vegetações herbáceas e arbustivas, que, em quase sua totalidade são utilizados como pastagem (Berreta, 1996; Berreta et al. 2000; Nabinger et al., 2000). Particularmente na região do cone sul da América Latina, as condições edafoclimáticas predominantes propiciam uma grande diversidade de espécies, mais de 400 espécies de gramíneas e mais de 150 espécies de leguminosas, sem contar as compostas e outras famílias (Boldrini, 1997). Essa riqueza florística traz um fato pouco comum ao que se verifica no restante do mundo: a associação de espécies de crescimento estival, em especial de rota metabólica C₄, com espécies de crescimento hibernal C₃ (Nabinger et al., 1999), o que, em última análise, pode acarretar numa variada combinação de dietas de acordo com o manejo empregado (Carvalho, 1997). Práticas de manejo como o ajuste estacional da carga animal e o diferimento de potreiros, permitem explorar ao máximo esta diversidade durante praticamente todas as estações do ano,

principalmente na primavera que é o período onde a pastagem nativa apresenta melhor valor nutritivo, nesta região (Depressão Central) (Setelich, 1994).

Para a pastagem nativa, como qualquer outro tipo de pastagem, o clima se constitui como principal fator incontrolável (temperatura e umidade) que age sobre seu rendimento potencial, afetando toda dinâmica para produção de forragem (Nabinger, 1996a; Nabinger, 1996b).

A pastagem nativa tem como principais fatores responsáveis pela limitação da sua produção as altas cargas animais utilizadas, aliadas à diminuição dos nutrientes disponíveis no solo. Aumentando-se a intensidade de pastejo há uma diminuição da eficiência de captura da energia solar por diminuição da área foliar fotossintetizante, embora ocorra aumento da eficiência de colheita da forragem. No entanto, normalmente isto é acompanhado pela diminuição da eficiência de conversão de forragem em produto animal (Briske & Heitschmidt, 1991), em função do efeito sobre a estrutura da pastagem que afeta apreensão (Carvalho et al. 2005) e da menor possibilidade para seleção da dieta (Maraschin, 1998). A baixa disponibilidade de nutrientes limita a produção e a qualidade da pastagem nativa e isto proporciona baixo desempenho dos animais. O longo período de extração de nutrientes via produto animal e de outras perdas inerentes ao sistema conjuntamente com reposição exígua ou até mesmo ausente, aliada ao mau manejo, tem limitado o potencial de produção da pastagem nativa no Rio Grande do Sul.

A recente pressão de novas áreas para produção de grãos e silvicultura sobre as áreas de pastagem nativa e a desvalorização dos produtos agropecuários reduziu as áreas com estas pastagens, que são erroneamente, rotuladas como um substrato pouco produtivo. No entanto, os conceitos de uma exploração sustentável da pastagem nativa estão sendo definidos em anos de pesquisa, mas é necessário implementar a melhor maneira de transmitir estes conceitos ao produtor.

Além disso, a pesquisa vem demonstrando que ainda há potencial produtivo a ser alcançado e que há possibilidade para novas realizações. Os trabalhos baseados apenas em manejo de oferta de forragem têm proporcionado aumento na produção ano após ano, mesmo sem a introdução de qualquer insumo na pastagem. É importante ressaltar que esse aumento na produção não é causado pelo exaurimento do recurso natural, mas sim pela sua melhora, tendo em vista que o manejo adequado da carga animal torna essas condições possíveis de serem alcançadas.

É evidente que um sistema solo-planta-animal apresenta interações extremamente complexas que necessitam muitos anos de pesquisa para poder começar a entendê-las e alcançar alguma conclusão definitiva, já que se trata de um sistema vivo e em constante interação. Mas a pesquisa baseada na pastagem nativa tem avançado. Bons resultados têm sido atingidos, como a adubação das pastagens naturais, provando que as espécies nativas respondem como qualquer outra planta cultivada. A adubação nitrogenada proporciona aumentos nos níveis de produção de forragem, qualidade e

distribuição estacional da forragem, além da maior participação de espécies de valor nutritivo superior.

No Brasil, na região Sul, muito poucas são as informações que estão à disposição dos produtores e até mesmo dos pesquisadores, sobre a real consequência da aplicação de nitrogênio nas pastagens nativas. Muito menos quando estas respostas são medidas com diferentes espécies animais, como é o caso da produção de ovinos. Esses resultados necessitam ser buscados para que se possa realmente medir o benefício econômico de tal prática. No entanto, indispensável se torna mensurá-los igualmente quanto aos seus efeitos sobre a produtividade vegetal e animal.

O presente trabalho de dissertação apresenta, a seguir, algumas considerações sobre a importância da pastagem nativa melhorada e também com relação a recria de cordeiras e sua implicações na reprodução. Em seqüência, são apresentados a hipótese e os objetivos do estudo em questão. Nos capítulos posteriores (II e III), são abordados a dinâmica da pastagem nativa adubada e a produção animal, respectivamente. Finalmente, no capítulo IV, são apresentadas as conclusões gerais e considerações finais do trabalho.

1.2. PASTAGEM NATIVA MELHORADA

A área de solos cobertos pela pastagem nativa recobrem hoje menos de 40% da área total do Estado do Rio Grande do Sul embora já tenham ocupado cerca de 60% (IBGE, 1996). Também no Uruguai, segundo Berreta et al. (2000), a maior parte da produção pecuária se desenvolve sobre pastagens nativas, as quais ocupam cerca de 85% da área dedicada à exploração pecuária naquele país. Da mesma forma, grandes áreas do Centro Sul da Argentina são cobertas por pastagens nativas, utilizados em sua maior parte para produção animal. Os solos desta região normalmente são deficientes em fósforo, potássio e nitrogênio e em alguns microelementos (Pallarés & Pizzio, 1998). Tais níveis determinam baixa produtividade destas pastagens, o que se tem traduzido em menores índices de parição e de ganho de peso e, consequentemente, menor produção de carne por hectare nesta região. Igual situação se repete na maior parte das áreas de pastagens nativas do Uruguai e do Brasil (Berreta et al., 2000; Nabinger et al., 2000).

Embora seja o principal recurso alimentar que sustenta a pecuária gaúcha, a pastagem nativa diminuiu 27,5% em 25 anos. Em 1970 estas

ocupavam uma área de aproximadamente 14,5 milhões de hectares. Em 1996 esta área se encontrava em 10,5 milhões de hectares (Nabinger et al., 1999), representando uma taxa de desaparecimento de 134 mil hectares por ano, antes da pressão maior exercida pelos preços internacionais da soja e, mais recentemente, do florestamento. Desta forma, há uma gradual diminuição das áreas deste recurso natural em função desta pressão por novas áreas agrícolas, bem como pela ausência de práticas de manejo adequadas que fazem com que freqüente, e erroneamente, este recurso seja rotulado como um substrato pouco produtivo.

No mesmo período citado, referente à diminuição da área de pastagem nativa, ocorreu um aumento de mais de 50% no rebanho gaúcho (8,810 milhões de cabeças em 1970 versus 13,221 milhões em 1996) (Nabinger et al., 2000). Paralelamente a este aumento de rebanho não houve um aumento de mesma proporção em áreas de pastagem cultivadas. Podemos então inferir que, houve um aumento na carga animal sobre as áreas de pastagem nativa do Estado do Rio Grande do Sul sem ao menos uma melhoria nas práticas de manejo que possam sustentar uma carga animal superior.

A variação edafoclimática é uma das características das áreas de pastagem nativa, influindo na formação de comunidades vegetais totalmente diversas, em composição botânica, produtividade e valor forrageiro (Cruz, 1998; Boldrini, 1993). Em virtude disto, a produtividade dos campos é variável de região para região, aliada aos fatores climáticos regionais (Pallarés & Pizzio, 1998). Tal fato é destacado por Barreto & Boldrini (1990) os quais ressaltam as peculiaridades regionais relacionadas à vegetação das regiões da Depressão

Central, Litoral, Missões e Planalto do Rio Grande do Sul. Devido à variação regional, o manejo da pastagem nativa também deverá ser dirigido ao tipo de vegetação constituinte.

Os objetivos principais no manejo de pastagens nativas incluem mudanças favoráveis na composição botânica e aumento da produção de matéria seca com adequada qualidade de forragem, pois uma produção animal sustentável é dependente da composição de espécies com satisfatória densidade e produção. Portanto, produzir forragem com a maior qualidade possível é um princípio básico para se atingir o que pode ser chamado de bom manejo da pastagem (Smetham, 1981).

Desta forma, há a necessidade de se buscar alternativas de melhoramento das pastagens nativas. Melhoramento de pastagem nativa é definido por Booysen (1978) como construções, estruturas e práticas empregadas no manejo da pastagem nativa com o objetivo de maximizar a produtividade do sistema pelo provimento dos melhores recursos possíveis. A manipulação de fatores físicos, vegetação e animais na área são discutidos pelo autor numa perspectiva ecológica que garanta a sustentabilidade do sistema. Valentine (1974) o situa como tratamentos especiais desenvolvidos e estruturas usadas para melhorar as fontes de alimentação ou facilitar seu uso pelos animais.

O animal em pastejo deve consumir o que é produzido pela pastagem sem que haja prejuízos à estrutura da planta (Briske & Heischmidt, 1991). Kemp et al. (1996) destacam a pressão de pastejo como mecanismo

chave para manipular a dinâmica da pastagem, seguida por características de tolerância das espécies ao pastejo e pelo nível de fertilidade do solo.

Independente do sistema de pastejo deve-se ajustar a carga animal para a quantidade de forragem disponível (Maraschin, 1994; Setelich, 1994) de forma que o ajuste leve em consideração o período mais crítico para a produção de forragem na pastagem em questão.

Para explorar a pastagem nativa de forma sustentável devemos entender que um animal em pastejo é parte de um complexo sistema de produção envolvendo solo, planta, clima e outros componentes do ambiente, incluindo outros animais (Morley & Spedding, 1968). Tais componentes interagem e mudanças em um causam alterações no outro (Morley & Spedding, 1968), sendo eventos altamente interdependentes quanto à causa e efeito.

A pastagem nativa possui potencial de rendimento superior a 0,5 kg de ganho médio diário (GMD) e mais de 200 kg de peso vivo [PV]/ha (Setelich, 1994; Aguinaga, 2004, Soares et al., 2005), explorando exclusivamente a estação de crescimento da pastagem (primavera, verão e outono). Tal produtividade ocorre sem nenhuma entrada de insumos, apenas pela manipulação da oferta de forragem em amplitudes ótimas (oferta de forragem entre 11 -13%, kgMS/100kg PV/dia) que permitem potencializar tanto o rendimento animal como a produção de forragem (Moojen, 1991; Maraschin, 1994; Setelich, 1994; Aguinaga, 2004; Soares et al., 2005).

O controle da oferta de forragem sobre pastagem nativa é uma estratégia de manejo indubitavelmente consolidada por seus resultados

(Maraschin & Jacques, 1993). Utilizar a pastagem em sua capacidade de suporte é o passo inicial para o aumento da produtividade animal em pastejo. Entretanto, a adubação se faz necessária a partir do momento em que a produtividade por unidade de área seja aumentada, em virtude da maior extração de nutrientes via produto animal.

Para agregarmos mais rendimento animal aos sistemas de produção sobre pastagem nativa não devemos nos ater apenas ao controle da oferta de forragem, é imprescindível a adoção da entrada de insumos. Barcellos et al. (1987) apresentaram os resultados de adubação fosfatada sobre pastagem nativa realizados na década de 60 em sistemas de pastejo rotativo e contínuo. Tais resultados apresentaram um cenário favorável à fertilização da pastagem nativa sobre o rendimento animal, lotação e composição florística. Os efeitos residuais perduraram por um período de sete anos, sem que a produção fosse reduzida aos níveis anteriores à adubação.

Um dos elementos mais limitantes é o nitrogênio (N), sendo indispensável a qualquer tentativa de aumentar o fluxo de energia, de forma mais importante, neste ecossistema. A adubação é uma das formas de aumentar este fluxo e intensificar a produção do sistema. No entanto, intensificar não quer dizer adubar, mas principalmente manejar, como bem demonstram os resultados de Bertol et al. (1998), os quais registraram substanciais melhorias nos principais atributos de fertilidade do solo em pastagem nativa apenas com a adequação da carga animal.

No tocante a adubação, seu principal objetivo é corrigir um fator limitante para o aumento da produção animal em pastejo que é a limitada

produção de forragem para nutrir adequadamente os animais, particularmente aqueles em produção (Sartini, 1975).

A adubação em pastagem nativa tem efeito positivo como em qualquer outro tipo de pastagem. A adubação nitrogenada sobre pastagem nativa proporciona aumentos nos níveis de produção de forragem e de PB; sendo que a adubação com N melhora a produtividade, qualidade e distribuição estacional da forragem, além da maior participação de espécies de valor forrageiro superior (Bemhaja et al. 1998).

Para a pastagem nativa, que é um recurso natural e prontamente disponível, deve-se avançar no conhecimento dos efeitos benéficos da adubação, e em particular a nitrogenada, sobre sua dinâmica produtiva, já que tal elemento é determinante para aumentos de produção sobre pastagens naturais (Bemhaja, 1994). Segundo Zamaldive (1998) a quantidade de N total em pastagem nativa é elevada. O autor destaca que os valores podem oscilar entre 10 a 15 ton/ha em solos naturalmente mais férteis e 5 ton/ha em solos de baixa fertilidade natural. A quantidade de N mineralizada anualmente em pastagem nativa varia de 30 a 60 kg/ha/ano entre solos menos férteis a mais férteis, respectivamente (Zamaldive, 1998). Estes dados podem nos auxiliar a realizar algumas inferências. O rendimento animal obtido anualmente sobre a pastagem nativa nas condições de campo gira em torno de 50 kg de PV/ha/ano, ou seja, podemos inferir na ordem de 1 kg de PV para cada kg de N mineralizado anualmente. Se os princípios de manejo sustentável da pastagem nativa forem empregados, ou seja, apenas o ajuste da carga animal sobre este substrato, podemos elevar a produção animal em cerca de quatro vezes

chegando a superar 200 kg PV/ha/ano e inferir 4 kg de PV para cada kg de N que entra no sistema. Desta forma a superlotação está desperdiçando N naturalmente adicionado, sem nenhum custo ao sistema de produção.

O N é o nutriente mais importante e relativamente mais caro aos sistemas agrícolas e pastoris do mundo. O N pode ser obtido principalmente pela fixação simbiótica (geralmente leguminosas) ou por meio de adubos nitrogenados (Jarvis et al., 1996). Dentro dos limites impostos pelo clima, solo e sistemas de produção, o N exerce um papel fundamental no controle da produção de forragem e cultivos por todo mundo (Bemhaja, 1994).

As plantas possuem estruturas químicas altamente dependentes do N já que desde os aminoácidos até as enzimas relacionadas ao processo fotossintético têm no N seu constituinte principal (Salisbury, 1992). A deficiência de N reduz a habilidade das plantas em formar órgãos culminando com a diminuição no desenvolvimento pleno da planta (Lawlor, 1993). Existe uma estreita relação entre fotossíntese líquida, N e conteúdo de proteína das folhas (Lawlor, 1993). Sanderson et al. (1997) definem que a deficiência em N reduz a fotossíntese e o crescimento da planta. Estes autores destacaram o efeito da deficiência do N na redução do tamanho, volume e conteúdo de proteínas da célula e a redução no tamanho e número de cloroplastos.

As gramíneas são plantas que possuem alta demanda por N já que, ao contrário das leguminosas, a associação com bactérias é bastante baixa e na maioria das vezes ausente (Döbereiner, 1992; Brasil et al., 2005). Estas plantas exigem o mineral para produzir proteína e clorofila para o crescimento e desenvolvimento dos tecidos (Lawlor, 1993; Sulisbury & Ross, 1994; Bemhaja

et al., 1998), o que se traduz em aumento das taxas de aparecimento e alongamento foliar (Mazzanti & Lemaire, 1994), produção de raízes e taxa de perfilhamento (Gomide, 1989; Mazzanti & Lemaire, 1994), assim como sobre a reprodução (Bemhaja et al., 1998).

Quando usamos a adubação como provedora de N, este elemento pode seguir várias rotas podendo ser lixiviado, absorvido, volatilizado ou imobilizado (Power, 1972). As aplicações de altas doses anuais de adubação nitrogenada em sistemas pastoris resultam em saturação da capacidade do sistema solo-planta em imobilizar o N. Desta forma, o sistema pode então ser mantido em uma condição de saturação de N através de aplicações de doses anuais menores.

Em todo o mundo, os solos, principalmente de vegetação natural, tendem a possuir quantidades variáveis de N disponível no solo, já que cerca de 97 a 99 % do N está contido na forma de matéria orgânica e apenas o restante (1 a 3%) está na forma mineral, prontamente disponível na forma de nitrato (Jarvis et al., 1996).

Além do aumento na produção de forragem, existe o efeito do N sobre algumas características da planta como produção de sementes e níveis de carboidratos de reserva (Lemaire & Millard, 1999). A folha é o órgão mais importante da planta do ponto de vista fotossintético. Sem a suficiente presença do N a duração de vida das folhas pode ser reduzida já que este nutriente, sendo móvel na planta, é translocado das folhas mais velhas para as mais novas provocando senescênciam precoce nas primeiras (Nabinger & Pontes, 2001). Porém, vale ressaltar que as lâminas foliares também são os

componentes mais removidos no processo de pastejo (L'Huiller & Poppi, 1984). Podemos considerar o pastejo como uma forma constante de remoção de camadas fotossinteticamente ativas da planta (Briske, 1991) e, por esta razão, uma rápida resposta em termos de aumentos nas taxas de extensão foliar torna-se imprescindível para a reposição do tecido fotossintético removido (Mazzanti & Lemaire, 1994).

Quando trabalhamos com sistemas de elevada produção animal em pastejo, é evidente que altas taxas de absorção de N são exigidas, seja na forma de fixação simbiótica e/ou fertilização nitrogenada (Bemhaja et al., 1998). O teor de N no solo é um dos mais importantes fatores limitantes ao crescimento das pastagens nos trópicos e subtrópicos (Teitzel et al., 1991).

Nos meses de estação quente, quando a temperatura elevada favorece o rápido crescimento das espécies forrageiras tropicais e subtropicais, o rendimento da pastagem é relacionado ao teor de umidade e suprimento de N no solo que é absorvido via solução do solo (Teitzel et al., 1991), podendo haver variações na disponibilidade do N em virtude dos tipos e formas de aplicação do fertilizante nitrogenado, teor de matéria orgânica nos solos, relação C/N, temperatura e umidade (Brady, 1989).

Corsi (1974) comenta que os adubos nitrogenados, devido ao seu alto preço e ao rápido aumento na produção de biomassa, exigem uma intensificação e tecnificação no seu uso em pastagens.

A introdução de leguminosas em nossos sistemas de produção ainda é lenta e pouco difundida devido a fatores estritamente técnicos (Barcelos & Villela, 1994). A adubação nitrogenada proporciona uma estratégia

de manejo onde se pode manipular com maior rapidez aumentos na produção de forragem.

Os sistemas agrícolas do mundo todo, e em especial os do primeiro mundo, concordam que sem o N a produção das culturas é limitada, porém, altos níveis de aplicação de N têm provocado altos níveis de contaminação ambiental (Mazzanti & Lemaire, 1994). As pastagens seguem este quadro, pelo menos nos países desenvolvidos e, deste modo, os novos enfoques de pesquisa em sistemas pastoris têm evoluído para a diminuição nos níveis de aplicação de N, seja pelo uso de sistemas mais extensivos com a utilização de leguminosas como principais agentes provedores de N (Gordon & Lascano, 1993), seja pela diminuição direta dos níveis de aplicação de N. Apesar da relevância do assunto, nos países em desenvolvimento este problema está longe de preocupar, pelos baixíssimos níveis de N utilizados nas culturas e níveis ainda mais exígios em pastagens.

Em plantas forrageiras, buscam-se espécies adaptadas a condições de baixa fertilidade. Entretanto, é difícil pensar em plantas adaptadas a situações de baixos teores de minerais nos solos e que ainda exibam altas produções e com qualidade (Briske & Heitschmidt, 1991). Sem que haja nutrientes suficientes nos solos não há como esperar elevadas produções de forragem e com qualidade. Este fato pode ser observado nas pesquisas feitas por centros de pesquisas no Brasil (Euclides, 1995; Euclides & Euclides Filho, 1997) onde em seus experimentos as capacidades de suporte das pastagens são geralmente baixas, reflexo direto da baixa oferta de N ou mesmo ausência deste elemento em seus programas de avaliação de forrageiras.

As pesquisas quanto ao potencial de utilização de N para pastagem nativa ainda são raras. Estudos de adubação vêm sendo realizados a alguns anos no Uruguai apresentando dados promissores (Bemhaja, 1994). Também pastagens nativas em outras regiões do mundo, como nos Estados Unidos, vêm a décadas tendo suas respostas à adubação avaliadas (Power, 1972), já que o aumento na produção e qualidade de forragem é tido como principal meta para elevar os níveis de produção animal sob pastejo.

O período de melhor produção e qualidade de forragem da pastagem nativa é durante a primavera, sendo que no verão a produção também pode ser elevada, mas de menor qualidade (Setelich, 1994). Ayala & Carámbula (1994) destacam que a adubação nitrogenada intensifica a estacionalidade de produção da pastagem, do período quente em relação ao período frio. Ao mesmo tempo, salientam que os melhores resultados em melhor aproveitamento da adubação, com ganhos substanciais em produtividade, estão no parcelamento das doses de N quando estas forem superiores a 80 kg/ha/ano. Segundo os autores, no inverno a eficiência de utilização de N (EUN) está em torno de 1,5 kg MS/kg de N aplicado. No verão isto se altera drasticamente onde a EUN se eleva para 14 kg MS/kg de N aplicado, valores semelhantes aos demonstrados por Santos et al. (2004), onde com a aplicação de 100 e 200 kg/ha/ano de N obtiveram na primavera 6,1 e 14,2 kg MS/kg de N. O inverno contribui pouco para o rendimento anual mesmo quando a pastagem nativa é fertilizada. No entanto, com a introdução de espécies hibernais pode-se melhorar a utilização do N, e consequentemente

diminuir a estacionalidade de produção da pastagem e melhorar o padrão anual de pastejo.

O problema quanto à utilização de N para qualquer tipo de planta é a dependência do efeito deste elemento em relação aos teores de umidade do solo (Holmes, 1968) e temperatura ambiente (Pavan & Parra, 1995). Desta forma, aplicações superficiais de N podem ser ineficazes para a produção de forragem em condições de reduzida umidade ou onde o ambiente é propício à secas estacionais sendo uns dos sérios empecilhos quando se almeja obtenção de altos rendimentos de MS (Pavan & Parra, 1995).

O potencial de resposta de pastagens nativas a adubação é um fato já determinado, sendo que como qualquer outra planta forrageira as plantas nativas necessitam de iguais condições de ambiente. Entretanto, adubações pesadas também são avaliadas como forma de testar máximos potenciais de resposta e encontrar alguns valores referentes aos efeitos de altas doses de N sobre a concentração de nitrato na MS. Com relação a este fato, Baldwin et al. (1974) avaliaram o efeito de elevadas doses de adubação nitrogenada sobre alguns aspectos do rendimento da forragem de uma pastagem nativa sob pastejo. A adubação com N proporcionou aumentos significativos na produção de forragem. As doses não elevadas de N proporcionaram aumentos consideráveis no rendimento de forragem, prolongaram o crescimento vegetativo e mantiveram os níveis de nitrato na forragem abaixo dos níveis tóxicos.

O rendimento da pastagem expresso em kg de ganho de PV/ha é um reflexo da qualidade da forragem (GMD) multiplicado pela sua quantidade

(animais.dia/ha) (Mott & Lucas, 1952; Mott, 1960; Maraschin, 1994). A quantidade é dependente da carga animal imposta o que também favorece a qualidade (Setelich, 1994). Além disto, existe o efeito do aumento da qualidade, onde existe a preferência pelas lâminas em relação a colmos (Almeida et al., 1997) e forragem verde em relação a material morto (Gomes, 1999). Quando há o interesse de maior capacidade de suporte da pastagem exige-se mais forragem disponível e de qualidade. Um efetivo aumento é dependente dos nutrientes disponíveis no solo, clima e potencial de cada planta forrageira em acumular massa. A massa acumulada deve ser colhida e convertida em produto animal. Portanto, todo sistema de produção animal em pastagens é quantificado pela sua capacidade em transformar a forragem colhida em carne, leite, lã, etc., que são os produtos realmente comercializáveis, já que a pastagem somente não tem valor até que seja convertida em produto animal (Morley & Spedding, 1968). Porém, com a pretensão de aumento na produtividade animal provavelmente se espera uma extração também superior de nutrientes, principalmente N.

O N, pelo seu efeito direto sobre a produção e qualidade da forragem (Mazzanti & Lemaire, 1994), pode proporcionar aportes substanciais de forragem sob pastejo. Entretanto, não apenas isto é importante para a produção animal. Toda qualidade e produtividade superior da forragem devem ser colhida e convertida em produto animal de uma maneira eficiente (Briske & Heistchmidit, 1991).

Risso et al. (1998) avaliaram o efeito da adubação com N e P sobre a produtividade animal de uma pastagem nativa na região do basalto, no

Uruguai. Houve um efeito do N e P sobre o aumento no rendimento animal por área, porém, sem elevados efeitos sobre o GMD, concordando com Mott & Lucas (1952). Entretanto, é notável o efeito do N sobre a quantidade de forragem, já que isto pode ser expresso pelo ganho por hectare alcançado, embora estes estejam no mesmo patamar daqueles encontrados por Setelich (1994) para pastagem nativa sem aporte algum de insumos, apenas o controle da oferta de forragem. Segundo Risso et al. (1998) houve um limitado potencial do ambiente avaliado em função do baixo nível de fertilidade do solo em estudo. Somente o controle da oferta já proporcionou aumentos significativos na produção. Entretanto, a adição de N pode elevar ainda mais estes resultados, pelo seu efeito sobre a produção da pastagem (Bemhaja, 1994).

Nas pastagens nativas do Rio Grande do Sul ainda há demanda em informações sobre a dinâmica da vegetação e produção animal em função da aplicação de nitrogênio e também quanto às respostas biológicas e econômicas da aplicação de diferentes níveis de fertilização nitrogenada.

1.3. RECRIA DE CORDEIRAS

A ovinocultura pode permitir o aumento da escala de produção e agregar valor ao produto comercializado viabilizando investimentos com práticas de melhoria da pastagem à adubação.

A idade que apresentam ao atingir a puberdade e a capacidade de se reproduzir são fatores que afetam a produtividade de uma ovelha ao longo de sua vida. Quanto mais precocemente estas características forem atingidas, a fêmea ovina emprenha com menor idade e um cordeiro a mais pode ser produzido na vida deste animal, determinando uma contribuição potencial para aumentar o desempenho individual da ovelha e, consequentemente, a produção de cordeiros no rebanho.

As ovelhas são consideradas poliéstricas estacionais por apresentarem ciclos estrais em uma determinada época do ano. O comportamento estral é observado quando ocorre redução da luminosidade, mais precisamente no final do verão, outono e início do inverno; por isso as ovelhas são também chamadas de animais de dia curto (Nugent III et al., 1988b e Sweeney & Callaghan, 1996). A estacionalidade da reprodução é um

processo fisiológico de adaptação, utilizado pelos animais para equilibrar as mudanças estacionais da temperatura com a disponibilidade de alimentos e a exigência nutricional (Malpaux et al., 1996a). A estacionalidade é um importante fator que afeta a puberdade em cordeiras, existindo uma inter-relação entre a data de nascimento e a idade ao primeiro estro. Portanto, não há uma idade fixa ou um peso corporal ou um período do ano no qual as cordeiras apresentem o seu primeiro cio, mas sim uma complexa inter-relação entre estes fatores e a época de nascimento.

A eficiência da produção de ovinos pode ser aumentada com um maior número de cordeiros nascidos por ovelha e por ano. Tal aumento pode ser obtido através da elevação do número de cordeiros nascidos vivos e desmamados, por ovelha parida; pelo aumento do número de parições das ovelhas por ano ou pela combinação das duas técnicas (Roda et al., 1993). Para se ter um aumento do número de parições das ovelhas por ano, é necessário diminuir-se o intervalo entre partos, aumentando assim, a freqüência de parição (Roda et al., 1993; Lewis et al., 1996 e Powell et al., 1996).

O modelo reprodutivo estacional dos ovinos está relacionado principalmente com a latitude e a raça e, em menor extensão, com outros fatores tais como a altitude, linhagem, idade e nutrição (Wheaton et al., 1990). A maior amplitude de atividade sexual de algumas raças durante o ano pode permitir que se consiga o acasalamento a cada 8 meses, possibilitando três parições a cada dois anos (Roda et al., 1993), sem o uso de terapia hormonal (Fogarty et al., 1992). Portanto, a duração da estação reprodutiva e do anestro

sazonal, é um fator importante que afeta a escolha de uma determinada raça a ser utilizada em um programa acelerado de parição (Quirke et al., 1988; Aboul Naga et al., 1991).

Normalmente as cordeiras são encarneiradas somente quando atingem 18-20 meses de idade, mas as fêmeas ovinas já podem se reproduzir ao atingir a puberdade, quando os primeiros cios começam a aparecer, entretanto, nesta fase, a maturidade sexual ainda não foi atingida, já que o animal não expressa sua ótima performance reprodutiva. A decisão de colocar um animal jovem em reprodução tem uma grande importância, por afetar o seu desempenho reprodutivo futuro (Sá et al., 1999).

A subfertilidade em cordeiras é uma das principais causas que contribuem para reduzir a produtividade de um rebanho ovino. Embora a taxa de fertilidade sofra influência de vários fatores, em torno de 20 a 40% das cordeiras falham em produzir o seu primeiro cordeiro (Davies & Beck, 1993; Beck & Davies, 1994; Beck et al., 1996).

Os sinais comportamentais do cio em cordeiras são usualmente fracos e a intensidade é menos marcante do que em ovelhas adultas. Além disso, a duração do cio é normalmente mais curta em cordeiras do que em ovelhas. O número de ciclos estrais pode variar de um a onze durante a estação de monta, dependendo da raça, meio ambiente e desenvolvimento sexual das cordeiras. As ovelhas adultas apresentam em média 6 a 11 cios durante a época de reprodução e as cordeiras 2 a 6 (Sá & Sá, 2000). Os ciclos estrais são menos regulares e a incidência de cio silencioso é mais freqüente, principalmente em cordeiras com uma taxa de crescimento baixa. Além disso, a

taxa de ovulação é menor e a taxa de mortalidade embrionária mais elevada em cordeiras do que em ovelhas. Aparentemente, a baixa taxa de ovulação e os altos índices de mortalidade embrionária em cordeiras estão relacionados com uma deficiente produção de hormônios. O desenvolvimento sexual é afetado pela genética, por fatores ambientais e pela interação entre eles.

Embora a atividade reprodutiva em ovelhas seja influenciada pela introdução do carneiro, o efeito macho para induzir o cio da puberdade é pouco estudado. A introdução de carneiros em rebanho de cordeiras durante a transição do período não reprodutivo para o reprodutivo pode resultar em uma significativa sincronização dos cios e das primeiras coberturas (Martin et al., 1986; Moraes, 1991).

O peso vivo médio na puberdade, expresso como uma percentagem do peso adulto, não é constante. Em muitos casos, o primeiro cio das cordeiras é atingido quando elas apresentam em torno de 50 a 70% do peso corporal adulto ou em torno de 30 a 50 Kg. Existe uma larga variação entre as diferentes regiões do mundo, influenciada pelas diferentes raças e dentro de uma mesma raça, afetando o peso e a idade em que as cordeiras atingem a puberdade, sendo difícil a comparação devido às grandes diferenças ambientais. Assim como o peso, a idade que uma fêmea ovina apresenta ao atingir a puberdade também é extremamente variável. A idade ao primeiro cio varia de 5 a 18 meses (Sá & Sá, 2000).

O fato das cordeiras estarem apresentando cios não quer dizer que estão aptas para a reprodução. Recomenda-se colocar com os reprodutores, somente as cordeiras que já tenham atingido 60% do peso adulto das ovelhas

do rebanho. Além disso, elas devem receber uma boa alimentação para que sejam capazes de manter a gestação e continuar se desenvolvendo (Sá & Sá, 2000).

Em condições de subnutrição, os animais imaturos apresentam um crescimento retardado que prejudica seriamente o desenvolvimento sexual e a entrada precoce na puberdade. Por outro lado, animais bem nutridos adiantam a idade à puberdade. Cordeiras que apresentam uma rápida taxa de crescimento vão exibir o primeiro cio e provavelmente a primeira gestação com uma idade menor e um peso corporal maior do que cordeiras com baixas taxas de crescimento. Cordeiras que nasceram de parto gemelar tendem a apresentar o primeiro cio com uma idade mais avançada e um peso corporal menor. É o padrão de crescimento inicial das cordeiras que pode afetar o potencial reprodutivo (Sá & Sá, 2000).

1.4. HIPÓTESE E OBJETIVOS

O presente trabalho aborda a hipótese de que a fertilização nitrogenada durante a estação de crescimento da pastagem nativa exerce influência sobre seu rendimento forrageiro e animal, sobretudo no que se refere à produção por unidade de área. E, ainda, que esta prática de melhoramento pode representar alternativa geradora de escala de produção e contribuir para maior viabilidade da produção ovina em pastagem nativa no Sul do Brasil.

Objetivos gerais:

- Fomentar, potencializar e aperfeiçoar a utilização sustentável das pastagens nativas do Rio Grande do Sul.
- Compreender os fenômenos básicos de funcionamento do processo de pastejo em Ecossistemas heterogêneos, modificados pela fertilização.
- Contribuir para a solução a alguns pontos de estrangulamento da cadeia de produção ovina do Rio Grande do Sul.

Objetivos específicos:

- Definir o potencial da pastagem nativa adubada, para a produção ovina.
- Avaliar a resposta quantitativa e qualitativa da pastagem nativa à disponibilidade de nitrogênio.
- Avaliar a resposta animal em relação aos diferentes níveis de fertilização da pastagem nativa, tanto em termos de desempenho produtivo como reprodutivo.

2. CAPITULO II

**Recria de Cordeiras em Pastagem Nativa Melhorada, submetida à
Fertilização Nitrogenada. 1. Dinâmica da Pastagem¹**

¹ Elaborado de acordo com as normas da Revista Brasileira de Zootecnia (Apêndice 1).

Recria de Cordeiras em Pastagem Nativa Melhorada, submetida à Fertilização Nitrogenada. 1. Dinâmica da Pastagem¹

Igor Justin Carassai², Carlos Nabinger³, Paulo César de Faccio Carvalho⁴, David Teixeira dos Santos⁵, Fabiana Kellermann de Freitas⁵, Edna Nunes Gonçalves⁵, Carlos Eduardo Gonçalves da Silva⁶

RESUMO – Num delineamento em blocos ao acaso com duas repetições avaliou-se o efeito de três doses de nitrogênio (zero, 100 e 200 kg/ha de N) sobre as variáveis produtivas de uma pastagem nativa melhorada utilizada em lotação contínua e carga variável por cordeiras. A pastagem foi adubada com 250 kg/ha da fórmula 5-20-20 na primavera e as doses de N (uréia) foram aplicadas, durante o período experimental (verão-outono de 2005). A oferta de forragem total e a taxa de desaparecimento não diferiram entre os tratamentos e ao longo do período experimental. A massa de forragem total (MF) diminuiu significativamente com o tempo e teve efeito das doses devido ao acúmulo anterior ao período experimental. As demais variáveis estudadas não mostraram efeito dos tratamentos, devido ao déficit hídrico ocorrido. Não houve acúmulo de forragem durante a primeira metade do período experimental e a taxa de acúmulo somente tornou-se positiva na metade final e ainda assim com valores muito baixos. Em consequência, a altura do pasto (ALT) e a MF diminuíram significativamente ao longo da avaliação. A massa de forragem verde apresentou comportamento inverso ao do material morto (resposta quadrática) aumentando inicialmente e diminuindo após, com o restabelecimento da condição hídrica. Desta forma, a oferta de forragem verde foi muito baixa e apresentou interação dose e época. A densidade volumétrica apresentou valores mais baixos do que os reportados para este tipo de pastagem, mas houve tendência de aumento da densidade em termos de material verde ao final do período de observações. A ALT e a MF apresentaram alta correlação ($r=0,87$), demonstrando que, nesta condição, a ALT pode ser usada para estimar a massa. Sob condições de déficit hídrico a aplicação de nitrogênio não contribui para a expressão de respostas mais intensas das variáveis estudadas.

¹ Parte do trabalho de dissertação do primeiro autor, como requisito para obtenção do título de Mestre em Zootecnia, área de Concentração Plantas Forrageiras, UFRGS.

² Engenheiro Agrônomo, Mestrando em Zootecnia, Área de Concentração Plantas Forrageiras, Universidade Federal do Rio Grande do Sul (UFRGS), bolsista CNPq. E-mail: ijc@pop.com.br

³ Engenheiro Agrônomo, Dr., Professor do Departamento de Plantas Forrageiras e Agrometeorologia, UFRGS.

⁴ Zootecnista, Dr., Professor do Departamento de Plantas Forrageiras e Agrometeorologia, UFRGS.

⁵ Aluno do PPG-Zootecnia – UFRGS, bolsista CNPq.

⁶ Aluno do curso de Graduação em Agronomia – UFRGS, bolsista CNPq.

1 Palavras-chave: adubação, altura do pasto, densidade volumétrica, massa de forragem,
2 oferta de forragem, pastejo contínuo

3

4 **Rearing of Lambs in Improved Native Pasture submitted to Nitrogen Fertilization.**

5 **1. Pasture Dynamic**

6

7 **ABSTRACT** – The effect of nitrogen fertilization (zero, 100, 200 kg/ha of N) on
8 the components of forage production of an improved native pasture was studied in a
9 complete block design with two replications. Paddocks were grazed by lambs in a
10 continuous grazing with variable stocking rate. In spring, pasture was uniformly
11 fertilized with 250 kg/ha of 5-20-20 and N doses were applied during experimental
12 period (summer-autumn, 2005). Total forage on offer and rate of forage disappearance
13 were not affected by treatments nor during the experimental period. Total forage mass
14 (FM) diminished significantly with time and was affected by N doses as function of the
15 accumulation verified prior to the experimental period. All other variable studied didn't
16 shown significant effect of N in consequence of occurred water deficit. There wasn't
17 forage accumulation during the first part of experimental period and accumulation rate
18 only becomes positive in the last half period, but the observed values were very low. As
19 consequence, pasture height (HEI) and FM diminished significantly with time. Green
20 forage mass showed inverse behavoir in relation to dead material percentage. The
21 quadratic response of this later component was initially characterized by high values
22 that diminished by the final period with the reestablishment of normal rainfall. By this
23 reason, the green forage allowance was very low and interacted in time with N doses.
24 Volumetric density presented low values when compared to values previously observed
25 in this kind of pasture. However, a tendency for higher values was verified at the end of
26 the observations period. HEI and FM presented high correlation ($r=0.87$) providing that
27 HEI can be a good estimator of FM, in this conditions. In the situation of water deficit,
28 nitrogen fertilization doesn't contribute to the expression of more intense responses of
29 the studied variables.

30

31 Key words: fertilization, grass height, volumetric density, forage mass, forage
32 allowance, continuous grazing

1

Introdução

2 As condições de clima e de solo da maior parte do Sul do Brasil, Uruguai, Leste
3 da Argentina e Sul do Paraguai, permitem o desenvolvimento de vegetações herbáceas e
4 arbustivas, que, em quase sua totalidade, são utilizadas como pastagem (Berreta, 1996;
5 Berreta et al., 2000; Nabinger et al., 2000). Por esta razão, o maior suporte alimentar
6 para a pecuária gaúcha são as pastagens nativas.

7 A importância ambiental deste ecossistema é inestimável, pois possui 400
8 espécies de gramíneas e 150 espécies de leguminosas, permitindo uma alta capacidade
9 de adaptação às variadas condições edafoclimáticas (Boldrini, 1997) e de manejo que
10 predominam na região. Na pastagem nativa convivem espécies do grupo fotossintético
11 C₃ e C₄, o que constitui uma de suas fortes características (Nabinger et al., 2000). Isto
12 permite explorar ao máximo a diversidade em termos de manejo durante praticamente
13 todas as estações do ano.

14 A produção animal em pastagens nativas é uma atividade sustentável sob o ponto
15 de vista ecológico e, atualmente, existe uma pressão sócio-econômica para que se
16 elevem os índices de produção animal em função dos bons rendimentos obtidos com a
17 produção de grãos nestas áreas. Neste contexto, a pastagem nativa é, freqüente e
18 erroneamente, rotulada como um substrato pouco produtivo e vem perdendo espaço
19 para lavouras anuais, pastagens cultivadas e silvicultura.

20 Os principais fatores responsáveis pela limitação da produção da pastagem nativa
21 têm sido as altas cargas animais utilizadas, aliadas a diminuição dos nutrientes
22 disponíveis no solo. O aumento na intensidade de pastejo diminui a eficiência de
23 captura da energia solar, aumentando a eficiência de colheita da forragem, porém,
24 diminuindo a eficiência de conversão de forragem em produto animal (Briske &
25 Heitschmidt, 1991). Tanto a produção quanto a qualidade da pastagem nativa estão

1 limitadas pela baixa disponibilidade de nutrientes com evidentes consequências sobre o
2 desempenho dos animais. Esta limitada produção é resultado muitas vezes de longo
3 período de extração de nutrientes via produto animal e de outras perdas inerentes ao
4 sistema, com reposição exígua ou até mesmo ausente, aliada ao mau manejo da
5 desfolha. Dentre os vários nutrientes, o nitrogênio (N) é um dos elementos mais
6 limitantes, sendo indispensável a qualquer tentativa de aumentar o fluxo de energia, de
7 forma mais importante, neste ecossistema. A adubação é, portanto, uma das formas de
8 aumentar este fluxo e intensificar a produção do sistema. No entanto, intensificar não
9 quer dizer adubar, mas principalmente manejar, como bem demonstram os resultados de
10 Bertol et al. (1998), os quais registraram substanciais melhorias nos principais atributos
11 de fertilidade do solo em pastagem nativa apenas com a adequação da carga animal.

12 A adubação em pastagem nativa tem efeito positivo como em qualquer outro tipo
13 de pastagem. A adubação nitrogenada proporciona aumentos nos níveis de produção de
14 forragem, qualidade e distribuição estacional da forragem, além da maior participação
15 de espécies de valor forrageiro superior (Barcellos et al., 1987; Bemhaja et al., 1998;
16 Gomes 2000; Boggiano, 2000, Boggiano et al., 2000; Guma, 2005).

17 A ovinocultura pode permitir o aumento da escala de produção e agregar valor ao
18 produto comercializado viabilizando investimentos como a adubação. Além disso, pode
19 ser apresentada como uma das alternativas de viabilização sócio-econômica da pequena
20 e média propriedade rural, onde a mão-de-obra geralmente vem da própria família, que
21 não consegue se capitalizar com outras atividades pecuárias que exigem maior
22 mobilização de recursos financeiros e agrários. Isso vai ao encontro a uma nova
23 estrutura agrária existente no Estado Rio Grande do Sul.

24 Precisa-se definir o potencial de produção da pastagem nativa utilizada com
25 ovinos e entender as interações entre esta categoria de pastagem e aquele tipo de animal.

1 Um dos impactos importantes que advém desta interação pastagem nativa/ovinos é
2 aquele relacionado ao desempenho animal, sobretudo animais jovens, tendo em vista o
3 baixo desempenho desta categoria no rebanho gaúcho. Para explorar a pastagem nativa
4 de forma sustentável devemos entender que um animal em pastejo é parte de um
5 complexo sistema de produção envolvendo solo, planta, clima e outros componentes do
6 ambiente, incluindo outros animais (Morley & Spedding, 1968). Tais componentes
7 interagem e mudanças em um causam alterações no outro (Morley & Spedding, 1968),
8 sendo eventos altamente interdependentes quanto à causa e o efeito.

9 O presente trabalho teve como objetivo avaliar a influência de níveis de nitrogênio
10 no verão, aplicados na forma de uréia, nas características produtivas da pastagem nativa
11 adubada pastejada por cordeiras.

12 **Material e Métodos**

13 O experimento foi conduzido em uma área de pastagem nativa melhorada da
14 Estação Experimental Agronômica (EEA) da Universidade Federal do Rio Grande do
15 Sul (UFRGS), situada no km 146 da BR – 290, município de Eldorado do Sul – RS
16 (30°05'52'' S, 51°39'08'' W e altitude média de 46 metros) compreendendo a região
17 fisiográfica da Depressão Central. De acordo com a Classificação de Solos
18 (EMBRAPA, 1999), o solo é classificado como Argissolo Vermelho Distrófico. São
19 solos profundos, bem drenados, de textura arenosa a franco argilosa. O clima
20 característico da região é o Cfa (subtropical úmido) com verão quente, segundo a
21 classificação de Köppen (Moreno, 1961). De acordo com Bergamaschi et al. (2003), a
22 precipitação total média anual na EEA da UFRGS situa-se em torno de 1.440 mm, com
23 média mensal de 120 mm. Os dados meteorológicos durante o período experimental
24 (Figuras 1 e 2) foram obtidos na Estação Meteorológica do Departamento de Plantas

1 Forrageiras e Agrometeorologia/UFRGS, localizada a cerca de 400 m da área
2 experimental.

3 A pastagem nativa sobre o qual foi realizado o experimento é caracterizada como
4 de sucessão secundária, uma vez que foi lavrada em 1978 e substituída por uma
5 consorciação de *Paspalum guenoarum* e *Desmodium intortum* (Mella, 1980) após
6 correção do solo. Estas espécies não persistiram e houve o retorno da vegetação nativa
7 (sucessão secundária) a qual foi caracterizada por Rosito (1983). Em 1996, a área foi
8 redimensionada, o solo foi novamente corrigido (3 t/ha calcário e 500 kg/ha 5-20-20) e
9 iniciaram-se uma série de trabalhos com bovinos em pastejo (Boggiano, 2000; Gomes,
10 2000; Guma, 2005) onde foram aplicados tratamentos de doses anuais de nitrogênio
11 (zero, 100 e 200 kg/ha de N).

12 Foi realizada amostragem de solo em 26 de agosto de 2004, e a análise revelou os
13 valores apresentados na Tabela 1. A área experimental foi composta por seis piquetes
14 (unidades experimentais) com área média de 0,52 ha, totalizando 3,12 ha. A área foi
15 roçada em dois momentos, em 31 de agosto e 29 de novembro de 2004. A pastagem foi
16 adubada em dez de novembro de 2004, utilizando-se 250 kg/ha de adubo mineral de
17 fórmula 5-20-20. Os tratamentos testados foram três doses de nitrogênios (N) (zero, 100
18 e 200 kg/ha de N na forma de uréia, em cobertura) fracionados em duas vezes: 70% e
19 30%, em 3 de fevereiro e 17 de março de 2005, respectivamente. O período de avaliação
20 foi de 21/01/2005 a 11/05/2005, totalizando 110 dias.

1

Tabela 1- Características do solo (0-10 cm) da área experimental, média dos tratamentos antes da fertilização

Table 1- *Soil characteristics (0-10 cm) of experimental area, average of treatment before fertilization*

Argila Clay %	pH – H ₂ O <i>pH – H₂O</i>	Índice SMP <i>SMP index</i>	P <i>P</i>	K <i>K</i>	MO <i>OM</i> %
17,2	5,5	6,1	5,0	117,0	2,6
A1 <i>Al</i>	Ca <i>Ca</i>	Mg <i>Mg</i> Cmol/L	Al+H <i>Al+H</i>	CTC <i>CTC</i>	Saturação Bases <i>Base Saturation</i> %
0,2	2,4	1,2	4,5	8,4	48

2

3 O pastejo foi conduzido com lotação contínua e carga variável por intermédio da
 4 técnica ‘put-and-take’ (Mott & Lucas, 1952), usando nove animais teste e número
 5 variável de reguladores por piquete. A oferta de forragem total de matéria seca (OF)
 6 pretendida foi de 16% (16 kg MS/100 kg peso vivo [PV]/dia).

7 Foram utilizadas cordeiras da raça Suffolk, apresentando idade inicial de seis
 8 meses e peso médio de 38,4 kg em janeiro de 2005. As pesagens foram realizadas em
 9 intervalos de 28 dias, respeitando-se um jejum prévio de 12 horas.

10 A massa de forragem instantânea (MF, em kg/ha de MS) foi avaliada a cada 28
 11 dias, usando-se o método comparativo (Haydock & Shaw, 1975) empregando a “dupla
 12 amostragem”. A comparação foi realizada usando como referência cinco padrões
 13 previamente marcados, com os extremos de disponibilidade, baixa e alta, recebendo as
 14 notas 1 e 5 respectivamente. Após o estabelecimento dos padrões, foi realizada a
 15 calibração para relacionar as notas atribuídas, com a massa total de forragem por área
 16 (kg/ha de MS) (Santillan et al., 1979). Esta calibração foi estabelecida através de uma
 17 regressão linear entre a nota atribuída e a massa de forragem presente ($MF = a + Nota.x$)
 18 em 12 amostras dirigidas, mais os cortes de fora de gaiola (18) e os padrões, contidas
 19 em uma área de 0,25 m². Na mesma ocasião, em cada piquete (unidade experimental),
 20 foram realizadas 30 estimativas visuais, as quais foram tomadas em uma área de 0,25

1 m² sobre a vegetação sistematicamente, seguindo transectas que cobriam toda a possível
2 variabilidade existente.

3 Com o objetivo de obter-se uma relação entre altura e massa da pastagem,
4 também na mesma ocasião e nas mesmas amostras acima descritas, mediu-se a altura do
5 pasto (ALT, em cm) com um bastão graduado (Sward stick), cujo marcador corre por
6 uma “réguia” até tocar a primeira lâmina foliar, procedendo-se então a leitura da altura
7 (Bircham, 1981). A forragem proveniente de cada amostra cortada (fora de gaiola) foi
8 homogeneizada e dela foram retiradas duas sub-amostras para separação do material
9 morto (MM, em %) e o restante para determinação do teor de matéria seca (%MS). Para
10 a determinação do MM, foram separados manualmente o material verde e morto,
11 pesados e secos a 65°C em estufa de ar forçado, até peso constante. Através da
12 subtração do MM da MF obteve-se a massa de forragem verde (MFV, em kg/ha de
13 MSV). Com a MF, MFV e a carga animal (CA, em kg PV/ha/dia) utilizada em cada
14 período de avaliação, calculou-se a oferta de forragem total (OF) e oferta de forragem
15 verde de MS (OFV, em kg MSV/100kgPV/dia).

16 Para a avaliação da taxa de acúmulo diário de MS (TAD, em kg/ha/dia de MS)
17 utilizou-se a técnica do triplo emparelhamento (Moraes et al., 1990), na qual, antes de
18 proceder o corte de fora da gaiola alocado na avaliação anterior, procura-se duas áreas
19 de vegetação semelhante àquela e entre si. Foram utilizadas três gaiolas de exclusão por
20 unidade experimental (piquete), as quais serviram para proteger do pastejo áreas
21 demarcadas na pastagem. A TAD foi obtida pela diferença entre a massa de forragem de
22 dentro da gaiola na medição i e a massa de forragem de fora da gaiola da medição i - 1.
23 A taxa de desaparecimento diário de MS (TDD, em kg/ha/dia de MS) foi obtida pela
24 diferença entre a massa de forragem de dentro da gaiola e a massa de forragem de fora
25 da gaiola da mesma avaliação. Para a obtenção da densidade volumétrica do pasto (DV,

1 em kg/ha/cm de MS) dividiu-se a MF pela ALT, já para a densidade volumétrica em
2 matéria seca verde (DVV, em kg/ha/cm de MSV) dividiu-se a MFV pela ALT.

3 O delineamento experimental foi de blocos completos casualizados com duas
4 repetições. Os resultados foram submetidos à análise de variância e teste F ao nível de
5 significância de 10%, e as médias comparadas pelo teste de Tukey ao mesmo nível.
6 Também foram realizadas análise de regressão até terceira ordem entre doses de
7 nitrogênio e período de avaliação, considerando-se, para cada período, o número de dias
8 decorridos desde o início do experimento ($x =$ dia 1 a 110) e análise de correlação. As
9 análises foram realizadas através do aplicativo computacional SAS (1997). A variável
10 TAD sofreu a adição de uma constante devido à presença de valores negativos, para fins
11 de ajuste do coeficiente de variação (CV) dos dados para a execução do programa
12 estatístico.

13 O modelo matemático geral referente à análise das variáveis estudadas foi
14 representado por:

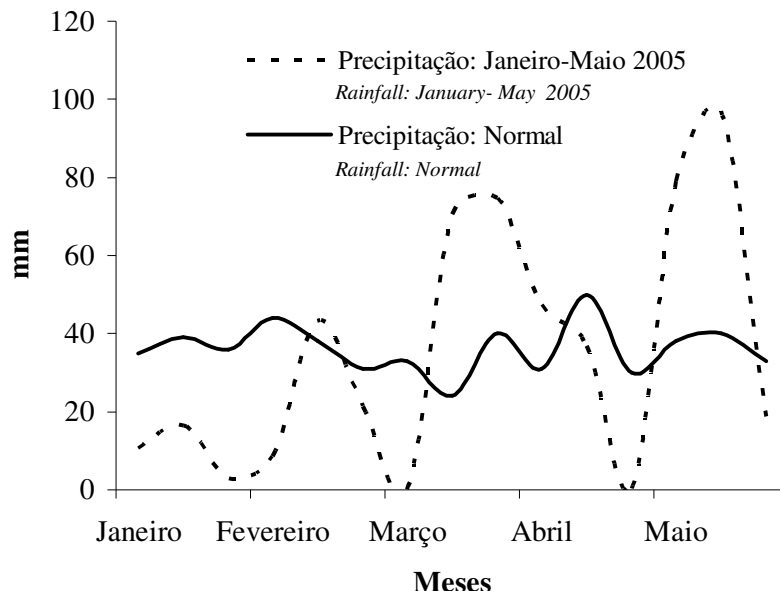
15
$$Y_{ikj} = \mu + B_i + T_i + P_k + T_{Pik} + E_{ij}$$

16 Pelo modelo, Y_{ikj} = variáveis dependentes; μ = média de todas as observações; B_i
17 = efeito do bloco i ; T_i = efeito do tratamento i ; P_k = efeito do período k ; T_{Pik} =
18 interação entre tratamento i e período k ; E_{ij} = erro aleatório associado a cada
19 observação j .

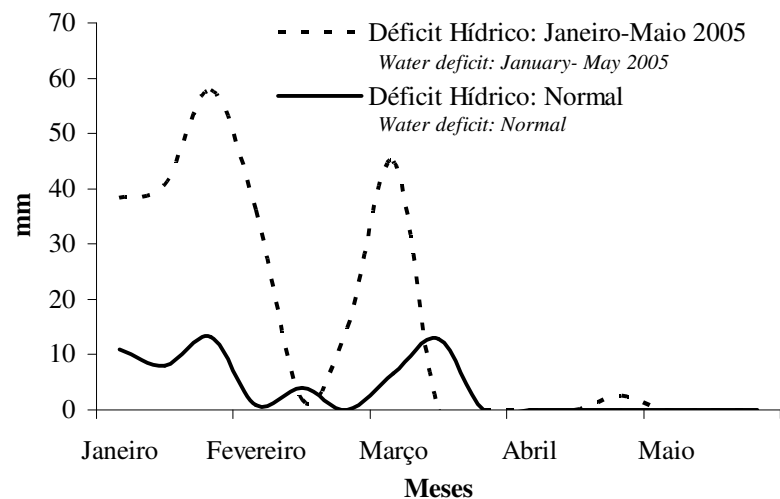
20 **Resultados e Discussão**

21 Na Figura 1 são apresentados os dados de precipitação (mm) no período de
22 janeiro a maio de 2005 e também da precipitação normal 1969-1999. Nos meses de
23 janeiro a março de 2005 a precipitação ocorrida foi muito inferior à média histórica,
24 causando assim déficit hídrico em grande parte do período de avaliação (Figura 2). O
25 déficit hídrico acumulado durante o período experimental foi de 237,5 mm, enquanto

1 que o esperado de acordo com a média histórica seria apenas 56,5 mm. Assim durante
 2 três meses a pastagem estava sob condições extremamente limitantes para o seu
 3 desenvolvimento devido à drástica falta de água.



4 Figura 1- Médias mensais de precipitação normal e ocorrida durante o período
 5 experimental. Eldorado do Sul, 2005
Figure 1- Monthly average of normal and actual rainfall during experimental period. Eldorado do Sul, 2005



5 Figura 2- Médias mensais de déficit hídrico normal e ocorrido durante o período
 6 experimental. Eldorado do Sul, 2005
Figure 2- Monthly average of normal and actual water deficit during experimental period. Eldorado do Sul, 2005

1 Na Tabela 2 encontram-se os valores médios de massa de forragem (MF), massa
 2 de forragem verde (MFV), taxa de acúmulo diário de MS (TAD), altura do pasto (ALT)
 3 e teor de MS (%MS) para as diferentes doses de N.

4 Os valores de massa de forragem ao início do período experimental para os
 5 tratamentos zero, 100 e 200 kg/ha de N foram, respectivamente, de 3.499, 3.811 e 4.361
 6 kg/ha de MS. As diferenças iniciais devem-se ao efeito residual das adubações dos
 7 experimentos anteriores. Esta tendência manteve-se durante o período experimental,
 8 sendo que a massa de forragem final teve comportamento semelhante. Na média de todo
 9 o período experimental, a MF foi superior ($P=0,0026$) nos tratamentos que receberam
 10 adubação nitrogenada, 100 e 200 kg/ha de N, com estes não diferindo entre si.

11 Segundo Risso et al (1998) a manutenção de uma massa de forragem residual em
 12 pastagem nativa, ou qualquer outro tipo de pastagem é indispensável para assegurar
 13 uma estrutura mínima de planta com área foliar residual para rápida rebrota do pasto de
 14 modo a sustentar taxas de acúmulo de forragem adequadas e condizentes com as taxas
 15 de consumo de forragem pelos animais.

Tabela 2- Massa de forragem (MF, kg/ha de MS), massa de forragem verde (MFV, kg/ha de MSV), taxa de acúmulo diário de MS (TAD, kg/ha/dia de MS), altura do pasto (ALT, cm) e teor de MS (%MS) da pastagem nativa submetida à adubação nitrogenada e utilizada por cordeiras

Table 2- Forage mass (FM, kg/ha of DM), green forage mass (GFM, kg/ha of GDM), accumulation daily rate of DM (ADR, kg/ha/day of DM), grass height (HEI, cm) and dry matter content (%DM) in native pasture submitted to nitrogen fertilization and used by lambs

kg/ha de N kg/ha of N	MF FM	MFV GFM	TAD ADR	ALT HEI	%MS %DM
Zero	2.678 b	905	1,0	8,1	66 a
100	3.018 a	1.083	-1,6	9,0	62 ab
200	3.220 a	1.118	-3,2	9,6	59 b
Média <i>Mean</i>	2.972	1.035	-1,3	8,9	62,5
CV (%) <i>CV</i>	7,96	18,19	18,01	19,32	7,57
P <i>P</i>	0,0026	0,0942	0,8955	0,2539	0,0476

16 a, b: Médias seguidas de letras diferentes na coluna diferem ($P<0,1$) entre si pelo teste de Tukey
 17 *a, b: Means followed by different letters, in the same column, differ ($P<0,1$) by Tukey test*

18

O comportamento da MF foi o mesmo em todos os tratamentos ao longo do período de avaliação, havendo diferença ($P<0,0001$) entre períodos na média das três doses de N, com o primeiro período apresentando maiores valores de MF (3.515 kg/ha de MS) devido à área experimental estar excluída de pastejo antes do início das avaliações e existir efeito residual de anos anteriores (Figura 3). Os dados ajustaram-se ao modelo de regressão linear, mostrando que a MF teve um decréscimo de 12,6 kg/ha de MS para cada dia de pastejo, o que é explicado pelo consumo dos animais e pela senescência. Ocorreu longo período de estiagem e as taxas de acúmulo não foram as esperadas e os animais passaram a consumir a forragem acumulada anteriormente, diminuindo assim, a quantidade de forragem existente nos piquetes.

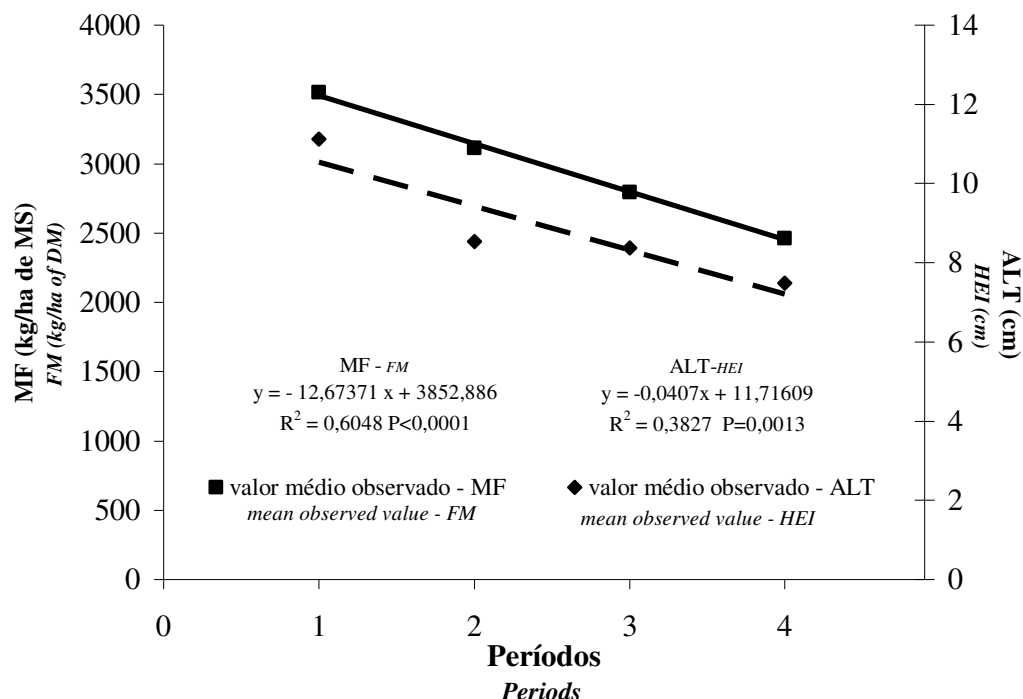


Figura 3- Massa de forragem (MF, kg/ha de MS) e altura do pasto (ALT, cm) da pastagem nativa submetida à adubação nitrogenada e utilizada por cordeiras

Figure 3- Forage mass (FM, kg/ha of DM) and grass height (HEI, cm) in native pasture submitted to nitrogen fertilization and used by lambs

A TAD média não diferiu ($P=0,8955$) entre as doses de N, devido basicamente ao déficit hídrico que perdurou por quase todo o período experimental (Figuras 1 e 2).

1 Nesta condição as plantas utilizam mecanismos de escape à falta de água através da
2 diminuição da área foliar. A limitação na área foliar pode ser considerada como uma
3 primeira reação das plantas em relação ao déficit hídrico (Taiz & Zeiger, 1991). Esta
4 ocorre via aumento na taxa de senescência, diminuição da taxa de perfilhamento e
5 redução do tamanho da folha (Lawlor, 1993; Morales et al., 1998), reduzindo a
6 evapotranspiração (Sanderson et al., 1997). Isto traz consequências imediatas sobre a
7 capacidade de assimilação de nutrientes, em especial o N, que é absorvido pela planta
8 por fluxo de massa via solução do solo, o qual é altamente dependente das condições de
9 umidade (Sanderson et al., 1997).

10 Na Figura 4 é apresentada a variação nas TAD que diferiram ($P=0,0613$) entre os
11 períodos de avaliação, explicado pela falta de água nos períodos iniciais onde se
12 encontram valores negativos, devido ao não crescimento do pasto aliado a altas taxas de
13 senescência. A TAD ajustou-se ao modelo de regressão linear, aumentando ao decorrer
14 do tempo em função da relativa diminuição do déficit hídrico. Em média, a cada dia do
15 período de avaliação, a pastagem apresentou um acréscimo de 0,37 kg/ha de MS no
16 acúmulo diário de MS. Berreta et al. (1998) chegaram a valores de TAD durante a
17 primavera de 35 kg/ha/dia de MS e no verão de até 61 kg/ha/dia de MS com uma
18 fertilização de 92 kg/ha de N. Dados semelhantes foram obtidos por Guma (2005), nesta
19 mesma área, de 83,7 kg/ha/dia de MS na média de todos os tratamentos de N, no
20 período de abril a maio.

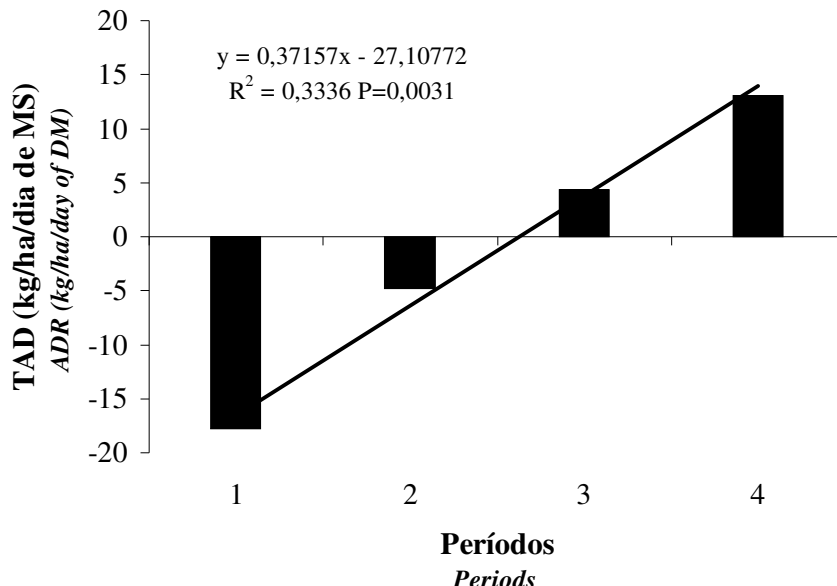


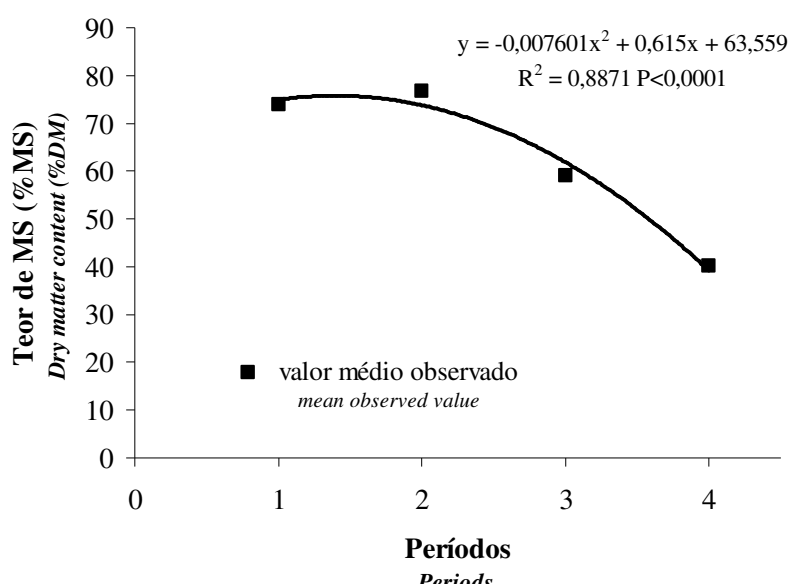
Figura 4- Taxa de acúmulo diário de MS (TAD, kg/ha/dia de MS) da pastagem nativa submetida à adubação nitrogenada e utilizada por cordeiras

Figure 4- Accumulation daily rate of DM (ADR, kg/ha/day of DM) in native pasture submitted to nitrogen fertilization and used by lambs

A taxa média de desaparecimento diário de MS (TDD, em kg/ha/dia de MS) não diferiu ($P=0,5539$) entre as doses de N, sendo na média das três doses igual a 23 kg/ha/dia de MS. Estes valores são respostas da senescência mais o impacto total da presença dos animais em pastejo, em termos de “perdas” de forragem por vias como o próprio consumo, deposição de fezes, pisoteio, intempéries e consumo por outros herbívoros. Boggiano (2000) relata que as TDD tendem a serem maiores em altos níveis de N, isto ocorre devido ao aumento da densidade de perfilhos, determinando uma estrutura do pasto mais ereta, e expondo à desfolhação uma proporção maior das folhas. Esta diferença não foi observada neste experimento devido às condições meteorológicas desfavoráveis, que minimizaram os efeitos dos níveis de N. O déficit hídrico aumenta a senescência das folhas (Lawlor, 1993); isto ocorre porque o solo seco não pode fornecer N suficiente para suprir as necessidades de crescimento e o N do interior da planta é realocado das folhas mais velhas para os pontos de crescimento. Entretanto, a

1 intensidade da senescência depende da quantidade de N no solo, das reservas de N na
2 planta e da demanda de N dos pontos de crescimento (Wolfe et al., 1988).

3 O tratamento controle (zero kg/ha de N) apresentou a %MS média superior
4 ($P=0,0476$; Tabela 2) ao tratamento 200 kg/ha de N, enquanto a aplicação de 100 kg/ha
5 de N ficou em posição intermediária, não diferindo das demais. Esta diferença pode ser
6 explicada pela ocorrência de precipitações nos últimos períodos (Figura 1), com a maior
7 velocidade de rebrota do pasto nos tratamentos com fertilização N. A %MS apresentou
8 variações durante o período de avaliação ($P<0,0001$), e ajustou-se ao modelo de
9 regressão quadrático (Figura 5). Os valores médios para os períodos I, II, III e IV foram
10 de 74, 77, 59 e 40%, respectivamente, tendo valor médio de 62,5%. Este valor está
11 acima do esperado para pastagem nativa conforme se pode depreender dos valores
12 observados no último período, quando a disponibilidade hídrica se normalizou.



13

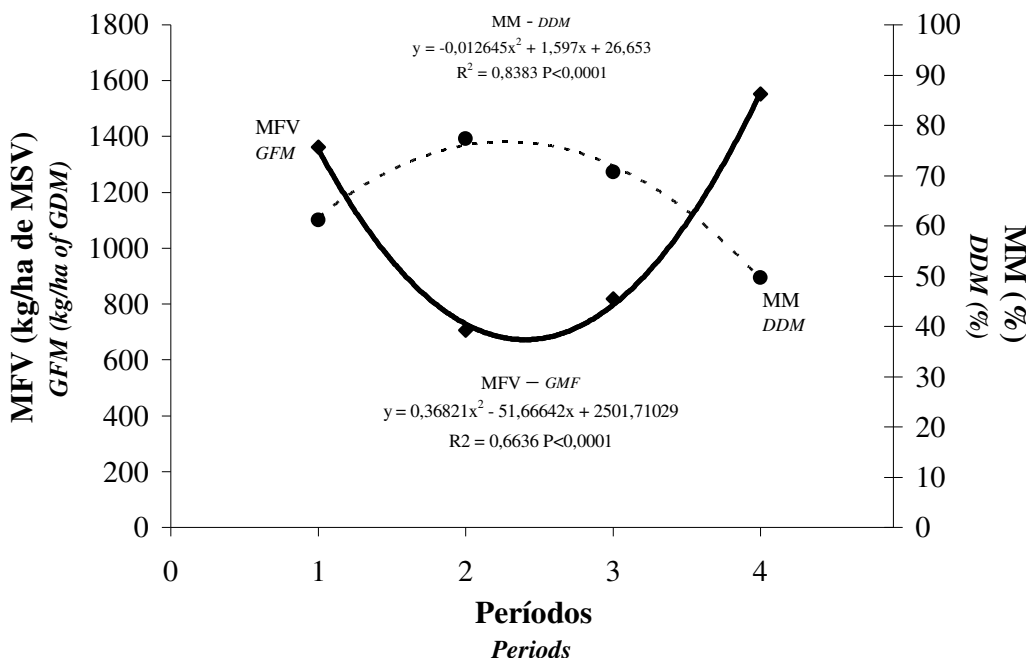
Figura 5- Teor de MS (%MS) da pastagem nativa submetida à adubação nitrogenada
e utilizada por cordeiras

Figure 5- Dry matter content (%DM) in native pasture submitted to nitrogen fertilization and used by lambs

14

15 A partir dos dados da separação dos componentes verde e morto do pasto, obteve-
16 se o percentual de material morto da MF (MM, em %), que não diferiu ($P=0,5690$) entre

1 as doses de N, sendo na média das três doses igual a 64,7%, valores elevados devido à
 2 escassez de chuva. Estes valores de MM em pastagem nativa podem variar de 15 a 35%
 3 (Setelich, 1994), sendo que Santos et al. (2004), nos mesmos tratamentos, relatam valor
 4 médio de 36,1%. O MM oscilou no decorrer do período de avaliação ($P<0,0001$) e foi
 5 melhor representado pelo modelo de regressão quadrático (Figura 6).



6

Figura 6- Massa de forragem verde (MFV, kg/ha de MSV) e percentagem de material morto da MF (MM, %) da pastagem nativa submetida à adubação nitrogenada e utilizada por cordeiras

Figure 6- Green forage mass (GFM, kg/ha of GDM) and percentage dead material (DDM, %) in native pasture submitted to nitrogen fertilization and used by lambs

7

8 A MFV não diferiu ($P>0,1$) entre as doses de N, sendo na média das três doses
 9 igual a 1.035 kg/ha de MS (Tabela 1). Esta variável oscilou no decorrer do período de
 10 avaliação ($P=0,0002$) e foi melhor representada por modelo de regressão quadrático.
 11 Devido ao déficit hídrico o MM foi elevado e consequentemente as quantidades de
 12 MFV nos períodos intermediários apresentaram seus menores valores, com 1.363, 706,
 13 820 e 1.552 kg/ha de MS, nos períodos I, II, III, e IV, respectivamente. Pode-se
 14 observar que os tratamentos com adubação N apresentaram tendência de resposta mais

1 ascendente nos últimos períodos (Figura 6). Isto foi decorrência de um maior nível de
2 reservas nitrogenadas nos tratamentos com N (Lemaire & Millard, 1999) e da segunda
3 aplicação de N ao início do terceiro período, aliado à redução do déficit hídrico.

4 A altura do pasto, a densidade volumétrica, o baixo teor de fibra das lâminas
5 foliares, a disposição espacial dos tecidos vegetais preferidos, a presença de barreiras à
6 desfolhação (bainhas e colmos), e o seu teor de matéria seca, são as características
7 associadas às plantas que afetam a facilidade de coleta de forragem pelo animal (Prache
8 & Peyraud, 1997).

9 A altura do pasto (ALT) não diferiu ($P=0,2539$) entre os tratamentos (Tabela 2),
10 sendo na média das três doses igual a 8,9 cm. O coeficiente de correlação de Pearson (r)
11 de 0,87 ($P<0,0001$) demonstra uma relação consistente entre ALT e MF, o que
12 normalmente somente é encontrada em pastagens cultivadas, mais homogêneas. Já com
13 relação à MFV, o coeficiente de correlação de Pearson (r) foi de 0,76 ($P<0,0001$),
14 similar ao valor de 0,70 apresentado por Santos et al. (2004). A ALT apresentou
15 comportamento linear (Figura 3), diminuindo ao decorrer do tempo, tendo
16 comportamento similar à MF. De acordo com o modelo de regressão linear, a
17 diminuição diária durante o período de avaliação foi de 0,04 cm.

18 No último período, com a ocorrência de precipitações, a ALT foi superior
19 ($P=0,0282$) nos tratamentos que receberam adubação nitrogenada, 100 e 200 kg/ha de
20 N, com estes não diferindo entre si. Os dados ajustaram-se ao modelo de regressão
21 linear ($y=1,725x+4,03333$; $R^2=0,8377$; $P=0,0105$). Para a transmissão de tecnologia a
22 ALT é um critério de manejo de mais fácil entendimento por parte do produtor (Santos
23 et al., 2003). Em pastagens nativas, a variabilidade do ambiente de pastejo, sobretudo a
24 variabilidade espacial, normalmente impede a obtenção de boas relações entre essas
25 variáveis (MF e ALT), mas através da realização de práticas de melhoramento da

1 pastagem como roçada e adubação aliadas à manutenção de OF semelhante entre os
 2 diferentes tratamentos e períodos se consegue obter relações satisfatórias entre estas
 3 variáveis.

4 A densidade volumétrica (DV, em kg /ha/cm de MS) não diferiu ($P=0,8757$) entre
 5 as doses de N, sendo na média das três doses igual a 320,6 kg /ha/cm de MS, e variou
 6 no decorrer do período de avaliação ($P=0,0794$) (Tabela 3). Santos et al. (2004)
 7 observaram valores de 246, 253 e 284 kg/ha/cm de MSV (densidade volumétrica verde
 8 [DVV]), para os tratamentos zero, 100 e 200 kg/ha de N, respectivamente e com MM
 9 médio de 36,1%. Calculando-se a DV a partir dos dados destes autores, temos 385, 393
 10 e 449 kg/ha/cm de MS, valores próximos aos encontrados. Quando se efetua a análise
 11 individual de cada período observa-se que nos períodos III e IV, a DV foi inferior
 12 ($P=0,0294$, III; $P=0,0582$, IV) nos tratamentos que receberam adubação nitrogenada,
 13 100 e 200 kg/ha de N, com estes não diferindo entre si. No período III a DV se adequou
 14 a um modelo de regressão linear ($y=-20,875x+342,98333$; $R^2=0,9506$; $P=0,0009$),
 15 devido aos tratamentos apresentarem MF semelhante, mas a ALT do tratamento
 16 testemunha ser menor. No período IV a DV ajustou-se a um modelo de regressão
 17 quadrático ($y=26,875x^2-132,175x+467,25$; $R^2=0,8693$; $P=0,0978$).

Tabela 3- Densidade volumétrica (DV, kg/ha/cm de MS) da pastagem nativa
 submetida à adubação nitrogenada e utilizada por cordeiras

Table 3- *Volumetric density (VD, kg/ha/cm of DM) in native pasture submitted to nitrogen fertilization and used by lambs*

kg/ha de N kg/ha of N	I	II	III	IV	Média Mean
Zero	267	356	322 a	362 a	327
100	304	361	301 b	310 b	319
200	308	363	281 b	313 b	316
Média Mean	293 B	360 A	301 AB	328 AB	P P 0,0794
P P	0,7804	0,9373	0,0294	0,0582	

18 a, b: Médias seguidas de letras diferentes na coluna diferem ($P<0,1$) entre si pelo teste de Tukey
 19 a, b: Means followed by different letters, in the same column, differ($P<0,1$) by Tukey test

20 A, B: Médias seguidas de letras diferentes na linha diferem ($P<0,1$) entre si pelo teste de Tukey
 21 A, B: Means followed by different letters, in the same row, differ($P<0,1$) by Tukey test

A densidade volumétrica verde (DVV, em kg/ha/cm de MSV) ajustou-se a um modelo de regressão quadrático, e apresentou diferença ($P<0,1$) entre os períodos de avaliação (Figura 7), aumentando nos últimos períodos devido à ocorrência de chuvas. Os valores médios foram 109, 118 e 119 kg /ha/cm de MSV para 0, 100 e 200 kg/ha de N, respectivamente. Estes valores são inferiores aos apresentados por Santos et al. (2004) principalmente pela alta quantidade de MM (62,5%) em decorrência do drástico déficit hídrico que ocorreu no verão de 2005. Devido à ocorrência de precipitações nos últimos períodos, a DVV teve aumento. Quando se analisou cada período individualmente, verificou-se que apenas no período IV houve resposta significativa ao N, sendo que os resultados ajustaram-se a um modelo de regressão linear ($y=22,85x+154,78333$; $R^2=0,5889$; $P=0,0749$).

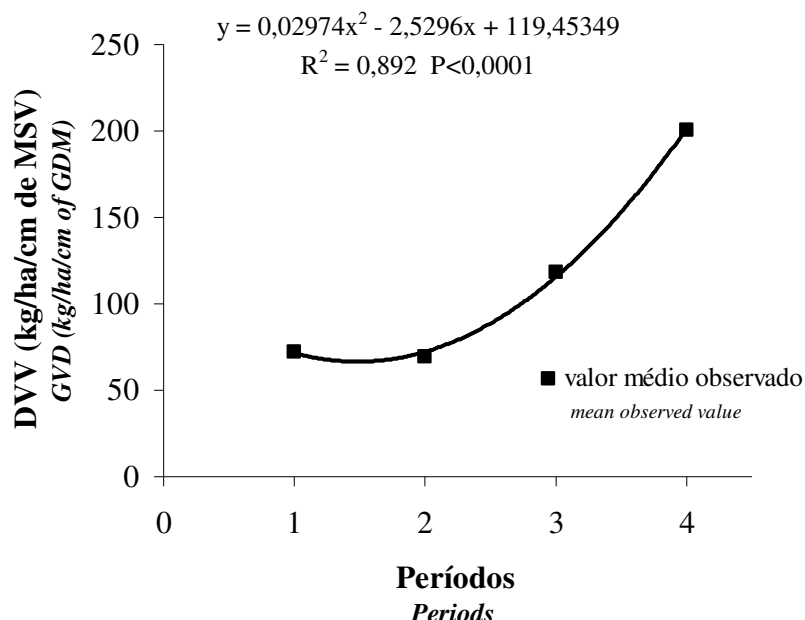


Figura 7- Densidade volumétrica verde (DDV, kg/ha/cm de MSV) da pastagem nativa submetida à adubação nitrogenada e utilizada por cordeiras

Figure 7- Green volumetric density (GVD, kg/ha/cm of GDM) in native pasture submitted to nitrogen fertilization and used by lambs

13

14 A oferta de forragem (OF, em kg MS/100kgPV/dia) ficou um pouco abaixo da
15 pretendida, porém foi possível um bom controle desta variável de forma a permitir que

1 fosse semelhante entre os tratamentos ($P=0,6726$) em todos os períodos ($P=0,2603$),
 2 sendo na média das três doses igual a 14,1%, A manutenção de OF semelhante entre os
 3 tratamentos é pré-requisito fundamental à quaisquer comparações a serem feitas entre os
 4 mesmos. O valor médio de OF obtido, em princípio, não representa limitação para o
 5 consumo dos animais.

6 A oferta de forragem verde (OFV, em kg MSV/100kgPV/dia) apresentou
 7 interação dose e período ($P=0,0613$) (Tabela 4). Observa-se os menores valores de OFV
 8 encontram-se nos períodos intermediários onde houve a maior incidência de déficit
 9 hídrico.

Tabela 4- Oferta de forragem verde (kg MSV/100kgPV/dia) da pastagem nativa
 submetida à adubação nitrogenada e utilizada por cordeiras

Table 4- *Green forage allowance (kg GDM/100kgLW/day) in native pasture submitted to nitrogen fertilization
 and used by lambs*

kg/ha de N kg/ha of N	I	II	III	IV	Média Mean
Zero	6,9 abc	4,3 bcde	3,3 cde	5,1 abcde	4,9
100	5,2 abcde	3,2 de	4,3 bcde	8,4 a	5,3
200	6,3 abcd	2,5 e	3,3 cde	7,4 ab	4,9
Média Mean	6,1	3,3	3,6	7,0	
CV (%) CV			20,46		
P P			0,0019		

10 a, b, c, d, e: Médias seguidas de letras diferentes diferem ($P<0,1$) entre si pelo teste de Tukey
 11 a, b, c, d, e: Means followed by different letters, differ ($P<0,1$) by Tukey test

12

13 Durante o período de estiagem a OFV esteve com valores muito baixos, o que
 14 pode ter afetado negativamente o consumo dos animais (Mott, 1960, Mott, 1980) e
 15 consequentemente seu desempenho, sobretudo por se tratar de uma categoria animal de
 16 elevado potencial de crescimento (cordeiras). Devido ao déficit hídrico nos períodos
 17 intermediários a OFV apresentou seus menores valores (Figura 8), em consequência de
 18 valores elevados de MM nestes períodos.

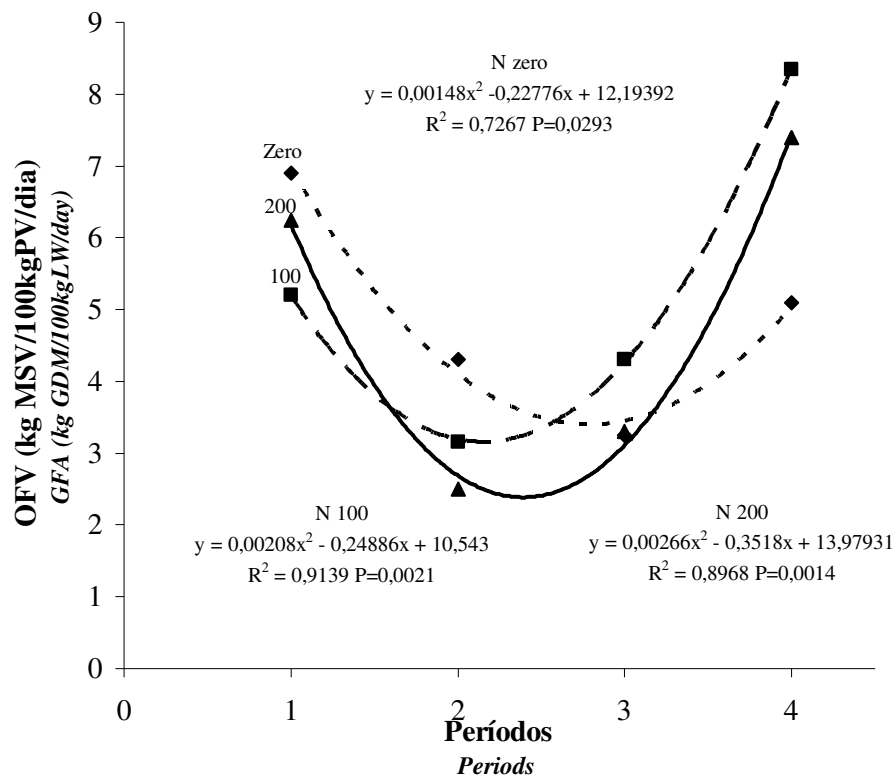


Figura 8- Oferta de forragem verde (kg MSV/100kgPV/dia) da pastagem nativa submetida à adubação nitrogenada e utilizada por cordeiras

Figure 8 *Green forage allowance (kg GDM/100kgLW/day) in native pasture submitted to nitrogen fertilization and used by lambs*

Cada tratamento ajustou-se a um modelo de regressão quadrático, podendo-se observar que os tratamentos com adubação nitrogenada apresentaram uma resposta mais ascendente que a dose sem N, nos últimos períodos, em consequência da MFV que apresentou a mesma tendência. Isto foi devido ao início da ocorrência de precipitações, que permitiram que os tratamentos com aplicação de N expressassem respostas mais intensas.

1

Conclusões

2 Em condições de déficit hídrico severo, a utilização de nitrogênio mineral em
3 pastagem nativa não contribui para respostas mais intensas das suas variáveis
4 produtivas, não se justificando sua aplicação.

5 A taxa de acúmulo de forragem é prejudicada pelas condições desfavoráveis de
6 falta de água, aumentando a quantidade de material morto da forragem e,
7 conseqüentemente, prejudicando as quantidades de massa de forragem verde, o que
8 afeta negativamente a oferta de forragem verde aos animais.

9 A utilização da oferta de massa total como critério de manejo se revela adequado
10 para os propósitos de manutenção de uma massa de forragem residual desejada.

11 A alta correlação entre altura e massa de forragem observada, indica a altura como
12 uma boa ferramenta para a estimativa da massa de forragem e manejo da pastagem
13 nativa.

Literatura Citada

- 2 BARCELLOS J.M.; SEVERO H.C.; ACEVEDO A.S. et al. Influência da adubação e
3 sistemas de pastejo na produção de pastagens naturais. Bagé: CNPO/EMBRAPA,
4 1987. p.11-16. (**Coletâneas das pesquisas forrageiras. V.1**).
5 BEMHAJA, M.; BERRETA, E.J.; BRITO, G. Respuesta a la fertilización nitrogenada
6 de campo natural en basalto profundo. In: REUNIÓN DEL GRUPO TÉCNICO
7 REGIONAL DEL CONE SUR EN MEJORAMIENTO Y UTILIZACIÓN DE LOS
8 RECURSOS FORRAJEROS DEL ÁREA TROPICAL Y SUBTROPICAL:
9 GRUPO CAMPOS, 14.,1994, Termas de Arapéy. **Anais...** Montevideo: INIA, 1998.
10 p.119-122. (Série Técnica, 94).
11 BERGAMASCHI, H.; GUADAGNIN, M.R.; CARDOSO, L.S. et al. **Clima da Estação**
12 **Experimental da: UFRGS (e Região de Abrangência)**. Porto Alegre, UFRGS,
13 2003. 78p.
14 BERRETA, E.J.; Campo Natural: Valor nutritivo y manejo. In: RISSO D. F.; Berreta E.
15 J.; Morón A. (Eds). **Producción y manejo de pasturas**. Montevideo: INIA, 1996.
16 p.113-127. (Série Técnica, 80).
17 BERRETA, E.J.; RISSO, D.F.; LEVRATTO, J.C. et al. Mejoramiento de Campo
18 Natural de basalto fertilizado com nitrógeno y fósforo. In: SEMINARIO DE
19 ACTUALIZACION EM TECNOLOGIAS PARA BASALTO, 1998, Tacuarembó.
20 **Anais...** Montevideo: INIA, 1998. p.63-73. (Serie Tecnica, 102).
21 BERRETA, E.J.; RISSO, D.F.; MONTOSSI, F. et al. Campos in Uruguay. In:
22 LEMAIRE, G.; HODGSON, J.; MORAES, A. et al. (Eds.) **Grassland**
23 **Ecophysiology and Grazing Ecology**. Wallingford: CABI Publishing, 2000. p.377-
24 394.
25 BERTOL, I.; GOMES, K.E.; DENARDIN, R.B.N. et al. Propriedades físicas do solo
26 relacionadas a diferentes níveis de oferta de forragem numa pastagem natural.
27 **Pesquisa Agropecuária Brasileira**, v.33, n.5, p.779-786, 1998.
28 BIRCHAM, J.S. **Herbage growth and utilization under continuous stocking**
29 **management**. Ph.D Thesis.University of Edinburgh. 1981.
30 BOGGIANO, P.R. **Dinâmica da produção primária as pastagem nativa em área de**
31 **fertilidade corrigida sob efeito de adubação nitrogenada e oferta de forragem**.
32 Porto Alegre: Universidade Federal do Rio Grande do Sul, 2000. 191p. Tese
33 (Doutorado em Zootecnia) - Universidade Federal do Rio Grande do Sul, 2000.
34 BOGGIANO, P.R.; MARASCHIN, G.E.; NABINGER, C. et al. Efeito da adubação
35 nitrogenada e oferta de forragem sobre as taxas de acúmulo de matéria seca numa
36 pastagem nativa do Rio Grande do Sul. In: REUNIÃO DO GRUPO TÉCNICO EM
37 FORRAGEIRAS DO CONE SUL – ZONA CAMPOS, 18., 2000, **Anais...**
38 Guarapuava, 2000. p.120-121.
39 BOLDRINI, I. I. Campos do Rio Grande do Sul: Caracterização fisionômica e
40 problemática ocupacional. **Boletim do Instituto de Biociências**, Porto Alegre, n 56,
41 1997.
42 BRISKE, D.; HEITSCHMIDT, R.K. An ecological perspective. In: HEITSCHMIDT,
43 R.K., STUTH, J.W. **Grazing management:** An ecological perspective. Oregon:
44 Timber Press, 1991. p.11-26.

- 1 EMPRESA BRASILEIRA DE PESQUISA AGROPECUÁRIA – EMBRAPA. Centro
2 Nacional de Pesquisa do Solo – CNPS. **Sistema Brasileiro de Classificação de**
3 **Solos.** Rio de Janeiro: Embrapa, 1999. 412 p.
- 4 GOMES, L.H. **Produtividade de um campo nativo melhorado submetido à**
5 **adubação nitrogenada.** Porto Alegre: Universidade Federal do Rio Grande do Sul,
6 2000. 124p. Dissertação (Mestrado em Zootecnia) - Universidade Federal do Rio
7 Grande do Sul, 2000.
- 8 GUMA, J.M.C.R. **Parâmetros da pastagem e produção animal em campo nativo**
9 **adubado e fertilizado com diferentes doses de nitrogênio, submetido ao**
10 **diferimento para utilização no outono-inverno.** Porto Alegre: Universidade
11 Federal do Rio Grande do Sul, 2005. 58p. Dissertação (Mestrado em Zootecnia) -
12 Universidade Federal do Rio Grande do Sul, 2005.
- 13 HANSON, C. L.; SHUMAKER, G. A.; ERICKSON, K. J. Influence of fertilization and
14 supplemental runoff on production and nitrogen content of western Wheatgrass and
15 Smooth brome. **Journal of Range Management**, v.29, n.5, 1976.
- 16 HAYDOCK, K.P.; SHAW, N.H. The comparative yield method for estimating dry
17 matter yield of pasture. **Australian Journal of Agriculture and Animal**
18 **Husbandry**, v.15, p.66-70, 1975.
- 19 LAWLOR, D.L. **Photosynthesis:** molecular, physiological and environmental process.
20 2. ed [S. I.]: Longman Group UK Limited, 1993. 317p.
- 21 LEMAIRE, G.; MILLARD, P. An ecophysiological approach to modeling resource
22 fluxes in competing plants. **Journal of Experimental Botany**, v.50, p.15-28, 1999.
- 23 MELLA, S.C. **Resposta de uma mistura de gramínea e leguminosa subtropicais a**
24 **diferentes sistemas de pastejo.** Porto Alegre: Universidade Federal do Rio Grande
25 do Sul, 1980. 166p. Dissertação (Mestrado em Zootecnia) - Universidade Federal do
26 Rio Grande do Sul, 1980.
- 27 MORAES, A.; MOOJEN, E.L.; MARASCHIN, G.E. Comparação de métodos de
28 estimativa de taxa de crescimento em uma pastagem submetida a diferentes pressões
29 de pastejo. In: REUNIÃO ANUAL DA SOCIEDADE BRASILEIRA DE
30 ZOOTECNIA, 27., 1990, Campinas. **Anais...** Piracicaba: FEALQ, 1990. p.332.
- 31 MORALES, A.; NABINGER, C.; MARASCHIN, G.E. Efeito da limitação hídrica
32 sobre a morfogênese e repartição de biomassa de *Lotus corniculatus* L. cv.São
33 Gabriel. In: REUNIÃO ANUAL DA SOCIEDADE BRASILEIRA DE
34 ZOOTECNIA, 35., 1998, Botucatu. **Anais...** Botucatu: Sociedade Brasileira de
35 Zootecnia, 1998. p.124-126.
- 36 MORENO, J.A. **Clima do Rio Grande do Sul.** Porto Alegre: Secretaria da Agricultura,
37 1961. 41p.
- 38 MORLEY, F.H.W.; SPEDDING, C.R.W. Agricultural systems and grazing
39 experiments. **Herbage Abstracts**, v.38, n. 4, p.279-287, 1968.
- 40 MOTT, G.O., LUCAS, H.L. The design conduct and interpretation of grazing trials on
41 cultivated and improved pastures. In: INTERNATIONAL GRASSLAND
42 CONGRESS, 6., 1952, Pennsylvania. **Proceedings...** Pennsylvania: State College
43 Press, 1952. p.1380-1395.

- 1 MOTT, G.O. Grazing pressure and the measurement of pasture production. In
 2 INTERNATIONAL GRASSLAND CONGRESS, 8., 1960, Reading.
 3 **Proceedings...** Reading: Alden Press, 1960. p.606-611.
- 4 MOTT, G.O. Measuring forage quantity and quality in grazing systems. In:
 5 SOUTHERN PASTURE AND FORAGE CROP IMPROVEMENT
 6 CONFERENCE, 1980, Nashville. **Proceedings...** Nashville-Tennessee:[S.n.], 1980.
 7 p.3-9.
- 8 NABINGER, C.; MORAES, A.; MARASCHIN, G.E. Campos in southern Brazil In:
 9 LEMAIRE, G.; HODGSON, J.; MORAES, A. et al. (Eds.) **Grassland**
 10 **Ecophysiology and Grazing Ecology**. Wallingford: CABI Publishing, 2000. p.355-
 11 376.
- 12 PRACHE, S.; PEYRAUD, J. Préhensibilité de l'herbe pâturee chez les bovines et les
 13 ovis. **Productions Animales**, v.10, p.377-390. 1997.
- 14 RISSO, E.J.; BERRETA; LEVRATTO, J. et al. Efecto de la fertilización de N y P y la
 15 carga animal sobre la produtividad de una Pastura Natural. In: SEMINÁRIO DE
 16 ACTUALIZACION EM TECNOLOGIAS PARA BASALTO, 1998, Tacuarembo.
 17 **Anais...** Montevideo: INIA, 1998. p.147-152. (Serie Tecnica, 102).
- 18 ROSITO, J.M. **Levantamento fitossociológico de uma pastagem perene de verão,**
 19 **submetida a diferentes sistemas de manejo**. Porto Alegre: Universidade Federal
 20 do Rio Grande do Sul, 1983. 181p. Dissertação (Mestrado em Zootecnia) -
 21 Universidade Federal do Rio Grande do Sul, 1983.
- 22 SANDERSON, M.A.; STAIR, D.W.; HUSSEY, M.A. Physiological and morphological
 23 responses of perennial forages to stress. **Advances in Agronomy**, v59, p.171-224,
 24 1997.
- 25 SANTILLAN, R.A.; OCUMPAUGH, W.R.; MOTT, G.O. Estimating forage yield with
 26 a disk meter. **Agronomy Journal**, v 71, p.71-74, 1979.
- 27 SANTOS, D.T.; ROCHA, M.G.; MONTAGNER, D.B. et al. Produção animal e retorno
 28 econômico em pastagem de milheto (*Pennisetum americanum* (L.) LEEKE)
 29 manejada sob diferentes alturas. In: REUNIÃO ANUAL DA SOCIEDADE
 30 BRASILEIRA DE ZOOTECNIA, 40., 2003, Santa Maria. **Anais...** Santa Maria:
 31 Sociedade Brasileira de Zootecnia/Macromedia, [2003]. CD-ROM. Forragicultura.
- 32 SANTOS, D.T.; CARVALHO, P.C.F.; FREITAS, F.K. et al. Adubação de pastagem
 33 natural no Sul do Brasil: 1. Efeito do Nitrogênio sobre a produção primária. In:
 34 GRASSLAND ECOPHYSIOLOGY AND GRAZING ECOLOGY, 2., 2004,
 35 Curitiba. **Proceedings...** Curitiba:UFPR:Macromedia, [2004]. CD-ROM.
- 36 SETELICH, E.A. **Potencial produtivo de uma pastagem natural do rio Grande do**
 37 **Sul, submetida a distintas ofertas de forragem**. Porto Alegre: Universidade
 38 Federal do Rio Grande do Sul, 1994. 169p. Dissertação (Mestrado em Zootecnia) -
 39 Universidade Federal do Rio Grande do Sul, 1994.
- 40 STATISTICAL ANALYSES SYSTEM - SAS. **SAS/STAT user's guide: statistics**.
 41 4.ed. Version 6, Cary: 1996, v.2. 943p.
- 42 TAIZ, L.; ZEIGER, E. **Plant Physiology**. California: The Benjamin/Cummings
 43 Publishing Company, Inc., Redwood City, 1991. 565p.

1 WOLFE,D.W.; HENDERSON, D.W.; HSIAO, T.C. et al. Interactive water and
2 nitrogen effects on senescence of maize: I. Leaf area duration, nitrogen distribution,
3 and yield **Agronomic Journal**, v.80, p.859-864, 1988.

3. CAPITULO III

**Recria de Cordeiras em Pastagem Nativa Melhorada, submetida à
Fertilização Nitrogenada. 2. Produção Animal¹**

¹ Elaborado de acordo com as normas da Revista Brasileira de Zootecnia (Apêndice 1).

Recria de Cordeiras em Pastagem Nativa Melhorada, submetida à Fertilização Nitrogenada. 2. Produção Animal¹

Igor Justin Carassai², Carlos Nabinger³, Paulo César de Faccio Carvalho⁴, Davi Teixeira dos Santos⁵, Fabiana Kellermann de Freitas⁵, Thais Devincenzi⁶, Raquel Rolim Cardoso⁶

RESUMO - Foi avaliado o desempenho de cordeiras de corte para o encarneiramento no outono em pastagem nativa melhorada, adubada com 250 kg/ha de adubo mineral de fórmula 5-20-20. Os tratamentos foram três doses de nitrogênio (N) (zero, 100 e 200 kg/ha de N na forma de uréia) fracionados em duas vezes 70% e 30%, em 3 de fevereiro e 17 de março de 2005, respectivamente. Os tratamentos foram distribuídos em blocos completos com duas repetições. O método de pastejo foi contínuo com lotação variável, procurando-se manter a oferta de forragem em 16% (16 kg MS/100kg peso vivo [PV]). O período de avaliação foi de 21 de janeiro a 31 de maio. As variáveis estudadas foram carga animal, desaparecimento de MS em %PV, ganho de peso médio diário, condição corporal, ganho de peso por área e porcentagem de prenhez. O desaparecimento de MS em %PV não diferiu entre tratamentos e períodos de avaliação, apresentando valores limitantes em relação ao provável consumo. A carga animal mostrou efeito positivo das doses de N e não diferiu no decorrer das avaliações. As demais variáveis (condição corporal, ganho de peso médio diário e ganho de peso por área) apresentaram variações significativas entre os períodos de avaliação devido à influência do déficit hídrico, que ocorreu durante o período experimental. A porcentagem de prenhez não mostrou efeito significativo das doses de N. Apesar do déficit hídrico ocorrido durante o período experimental que comprometeu negativamente as variáveis produtivas da pastagem e, por consequência, expressão da resposta animal às doses de nitrogênio aplicadas, a pastagem nativa melhorada por adubação é capaz de suportar elevadas cargas animais.

¹ Parte do trabalho de dissertação do primeiro autor, como requisito para obtenção do título de Mestre em Zootecnia, área de Concentração Plantas Forrageiras, UFRGS.

² Engenheiro Agrônomo, Mestrando em Zootecnia, Área de Concentração Plantas Forrageiras, Universidade Federal do Rio Grande do Sul (UFRGS), bolsista CNPq. E-mail: ijc@pop.com.br

³ Engenheiro Agrônomo, Dr., Professor do Departamento de Plantas Forrageiras e Agrometeorologia, UFRGS.

⁴ Zootecnista, Dr., Professor do Departamento de Plantas Forrageiras e Agrometeorologia, UFRGS.

⁵ Aluno do PPG-Zootecnia – UFRGS, bolsista CNPq.

⁶ Aluno do curso de Graduação em Agronomia – UFRGS, bolsista CNPq.

1 Palavras-chave: adubação, ganho de peso médio diário, ganho de peso por área, oferta
2 de forragem, pastejo contínuo, prenhez

3

4 **Rearing of Lambs in Improved Native Pasture submitted to Nitrogen Fertilization.**

5 **2. Animal Production**

6

7 **ABSTRACT** – The performance of lambs for the mating in the autumn in
8 improved native pasture fertilized with 250 kg/ha of mineral formula 5-20-20 was
9 evaluate. Three level of nitrogen (N) (zero, 100 and 200 kg/ha of N as urea) divided in
10 two times 70% and 30%, in February, 3 and March, 17, 2005, respectively, were tested
11 in a complete block design with two replications. Evaluation was done on continuous
12 grazing with variable stocking in order to maintain 16% of forage allowance (16 kg
13 DM/100kg live weight [LW]). The grazing period extended from January, 21 to May,
14 31. The studied variable were: stocking rate, DM disappearance in % of LW, average
15 daily gain, body condition, weight gain per area and pregnancy rate. The DM
16 disappearance didn't differ between treatments and periods of evaluation, presenting
17 limited values in relation to the intake. The stocking rate showed positive effect of the
18 level of N and didn't differ in elapsing of the evaluations. The other studied variables
19 (body condition, average daily gain and per area weight gain) presented significant
20 variations between the periods of evaluation due to influence of the water deficit that
21 occurred during the experimental period. The pregnancy rate did not show significant
22 effect of the level of N. Instead of the water deficit occurred during the experimental
23 period that compromised the attended performance of the pasture variables and, by
24 consequence, animal response to nitrogen fertilization, the native pasture improved by
25 fertilization is capable to support high stocking rates.

26

27 Key words: fertilization, average daily gain, live weight gain per area, forage allowance,
28 continuous grazing, pregnancy

1

Introdução

2 O quadro mundial de competitividade econômica tem exercido fortes pressões, e
3 conduzido à diminuição da área de pastagens nativas, substituída por culturas de maior
4 retorno financeiro em curto prazo. Este quadro só será revertido aumentando a
5 rentabilidade do produtor rural, tornando as pastagens nativas recursos mais
6 competitivos. Isto pode ser atingido através da maior produtividade animal e,
7 principalmente, buscando tecnologias que sejam sustentáveis e de fácil aplicação pelos
8 produtores.

9 A reconhecida limitação que a fertilidade da maioria dos solos impõe à expressão
10 do potencial das pastagens nativas torna necessária a busca pelo conhecimento das
11 respostas destas pastagens à fertilização. Estas respondem à adubação como qualquer
12 outro tipo de pastagem, conforme atestam diversos autores (Barcellos et al., 1987;
13 Bemhaja et al., 1998; Boggiano et al., 2000; Gomes, 2000; Guma, 2005).

14 A ovinocultura pode proporcionar aumento da escala de produção e de agregação
15 de valor ao produto comercializado. Entretanto, há necessidade de estudos que
16 intensifiquem a exploração de forma mais sustentável possível. Neste sentido, torna-se
17 fundamental definir o potencial de produção da pastagem nativa utilizada com ovinos e
18 entender as interações entre esta categoria de pastagem e aquele tipo de animal. Um dos
19 impactos importantes que advém desta interação pastagem nativa/ovinos é aquele
20 relacionado aos aspectos produtivos e reprodutivos do animal, sobretudo animais
21 jovens, tendo em vista o baixo desempenho desta categoria no rebanho gaúcho, que são
22 normalmente encarneiradas somente quando atingem 18-20 meses de idade.

23 A produtividade de uma ovelha ao longo de sua vida depende de vários fatores
24 tais como a idade que apresentam ao atingir a puberdade e a capacidade que elas têm de
25 reproduzir. Quanto mais precocemente estas características forem atingidas, a fêmea

1 ovina empreinha com menor idade e um cordeiro a mais pode ser produzido na vida
2 deste animal, determinando uma contribuição potencial para aumentar o desempenho
3 individual da ovelha e, consequentemente, a produção de cordeiros no rebanho.

4 A eficiência da produção de ovinos pode ser aumentada com um maior número de
5 cordeiros nascidos por ovelha e por ano. Tal aumento pode ser obtido através da
6 elevação do número de cordeiros nascidos vivos e desmamados, por ovelha parida; pelo
7 aumento do número de parições das ovelhas por ano ou pela combinação das duas
8 técnicas (Roda et al., 1993). Para se ter um aumento do número de parições das ovelhas
9 por ano, é necessário diminuir-se o intervalo entre partos, aumentando assim, a
10 freqüência de parição (Roda et al., 1993; Lewis et al., 1996 e Powell et al., 1996).

11 As fêmeas ovinas já podem se reproduzir ao atingir a puberdade, quando os
12 primeiros cios começam a aparecer, entretanto, nesta fase, a maturidade sexual ainda
13 não foi atingida, já que o animal não expressa sua ótima performance reprodutiva. A
14 decisão de colocar um animal jovem em reprodução tem uma grande importância, por
15 afetar o seu desempenho reprodutivo futuro (Sá et al, 1998).

16 A subfertilidade em cordeiras é uma das principais causas que contribuem para
17 reduzir a produtividade de um rebanho ovino. Embora a taxa de fertilidade sofra
18 influência de vários fatores, em torno de 20 a 40% das cordeiras falham em produzir o
19 seu primeiro cordeiro (Davies & Beck, 1993; Beck & Davies, 1994; Beck et al., 1996).

20 Embora se conheça a capacidade de resposta da pastagem nativa à correção do
21 solo e adubaçāo, sobretudo nitrogenada, não se avaliou ainda seus efeitos sobre o
22 comportamento reprodutivo de ovinos jovens e tampouco a real capacidade de suporte
23 com esta categoria animal. O presente trabalho objetivou avaliar estas respostas com
24 cordeiras destinadas à reprodução ao final do outono, em pastagem nativa melhorada
25 adubada com diferentes doses de nitrogênio.

1

Material e Métodos

2 O experimento foi desenvolvido em uma área de pastagem nativa melhorada da
3 Estação Experimental Agronômica (EEA) da Universidade Federal do Rio Grande do
4 Sul (UFRGS), situada no km 146 da BR – 290, município de Eldorado do Sul – RS
5 ($30^{\circ}05'52''$ S, $51^{\circ}39'08''$ W e altitude média de 46 metros) compreendendo a região
6 fisiográfica da Depressão Central. A área experimental apresenta solo classificado como
7 Argissolo Vermelho Distrófico (EMBRAPA, 1999), que se caracteriza por ser
8 profundo, bem drenado, de textura arenosa a franco argilosa. O clima da região é o Cfa
9 (subtropical úmido) com verão quente, segundo a classificação de Köppen (Moreno,
10 1961). De acordo com Bergamaschi et al. (2003), a precipitação total média anual na
11 EEA da UFRGS situa-se em torno de 1.440 mm, com média mensal de 120 mm. Os
12 eventos meteorológicos registrados durante o período experimental (Figura 1) foram
13 obtidos na Estação Meteorológica do Departamento de Plantas Forrageiras e
14 Agrometeorologia/UFRGS, localizada a cerca de 400 m da área experimental.

15 A pastagem nativa sobre o qual foi realizado o experimento é caracterizada como
16 de sucessão secundária. Mella (1980) realizou experimento de consorciação de
17 *Paspalum guenoarum* e *Desmodium intortum*, estas espécies não persistiram e houve o
18 retorno da vegetação natural (sucessão secundária) a qual foi caracterizada por Rosito
19 (1983). Em 1996 a área foi redimensionada, o solo foi novamente corrigido (3 t/ha
20 calcário e 500 kg/ha 5-20-20) e iniciaram-se série de trabalhos com bovinos em pastejo
21 (Boggiano, 2000; Gomes, 2000; Guma, 2005) onde foram aplicados tratamentos de
22 doses anuais de nitrogênio (zero, 100 e 200 kg/ha de N).

23 A área experimental foi composta por seis piquetes (unidades experimentais), com
24 área média de 0,52 ha, totalizando 3,12 ha. A área foi roçada em 31 de agosto e 29 de
25 novembro de 2004. A pastagem foi adubada em 10 de novembro, utilizando-se 250

1 kg/ha de adubo mineral de fórmula 5-20-20. Foi avaliado o desempenho produtivo e
2 reprodutivo de cordeiras em pastejo em resposta ao efeito da aplicação de três doses de
3 nitrogênio (N) (zero, 100 e 200 kg/ha de N, na forma de uréia) fracionado em duas
4 vezes: 70% em 3 de fevereiro e 30% em 17 de março de 2005.

5 O pastejo foi realizado em lotação contínua com carga variável, utilizando-se
6 nove animais teste por unidade experimental e um número variável de animais
7 reguladores (Mott & Lucas, 1952). A oferta de forragem total (OF) pretendida foi de
8 16% (16 kg MS/100 kg peso vivo [PV]/dia) em todos os tratamentos. O período de
9 avaliação foi de 21/01/2005 a 31/05/2005, totalizando 131 dias (110 dias no pré-
10 encarneiramento, 6 dias de preparo para o encarneiramento e 15 dias de
11 encarneiramento). Foram utilizadas cordeiras da raça Suffolk com seis meses de idade e
12 peso médio inicial de 38,4 kg. As pesagens dos animais foram realizadas em intervalo
13 de 28 dias, respeitando-se jejum prévio de 12 horas em todas as pesagens. Por ocasião
14 de cada pesagem, avaliou-se também a condição corporal (CC) de cada animal através
15 da técnica descrita por Russel (1991), que consiste em palpar a rugosidade dos
16 processos transversos e dorsais das vértebras lombares avaliando a deposição de
17 gordura e desenvolvimento muscular, conferindo escores que variam de 1 (muito
18 magro) a 5 (muito gordo).

19 O controle de endoparasitas foi realizado através de dosificações dos animais com
20 nitroxinil e moxidectina, quando estes apresentavam infestação acima de 500 ovos por
21 grama de fezes. Os animais receberam sal mineral à vontade, e tinham acesso à abrigos
22 para sombra.

23 A massa de forragem instantânea (MF, em kg/ha de MS) foi avaliada a cada 28
24 dias, usando-se o método comparativo (Haydock & Shaw, 1975) empregando a “dupla
25 amostragem” realizando-se 30 estimativas visuais por piquete (unidade experimental).

1 Para a determinação do material morto (MM, em %) foram separados manualmente o
2 material verde e morto dos cortes de fora de gaiola. Através da subtração do material
3 morto (MM) da MF obteve-se a massa de forragem verde (MFV, em kg/ha de MSV).
4 Com a MF, MFV e a carga animal (CA, em kg PV/ha/dia) utilizada em cada período de
5 avaliação, calcularam-se a oferta de forragem total (OF) e oferta de forragem verde de
6 MS (OFV, em kg MSV/100kgPV/dia).

7 Para a avaliação da taxa de acúmulo diário de MS (TAD, em kg/ha/dia de MS)
8 utilizou-se a técnica do triplo emparelhamento (Moraes et al., 1990). Foram utilizadas
9 três gaiolas de exclusão ao pastejo por piquete (repetição). A TAD foi obtida pela
10 diferença entre a massa de forragem de dentro da gaiola na medição i e a massa de
11 forragem de fora da gaiola da medição i - 1. A taxa de desaparecimento diário de MS
12 (TDD, em kg/ha/dia de MS) foi obtida pela diferença entre a massa de forragem de
13 dentro da gaiola e a massa de forragem de fora da gaiola da mesma avaliação.

14 O ganho médio diário (GMD, em kg/animal/dia) dos animais foi obtido pela
15 diferença entre os pesos final e inicial dos animais teste, em cada período experimental,
16 dividida pelo número de dias do período. A carga animal média (CA, em kg PV/ha) foi
17 calculada, para cada unidade experimental, pela adição do peso médio dos animais teste,
18 com o peso médio de cada animal regulador, multiplicado pelo número de dias que este
19 permaneceu na pastagem, dividido pelo número total de dias de pastejo. O ganho de
20 peso total por hectare (GPA, em kg PV/ha) foi obtido pela multiplicação da taxa de
21 lotação média (LOT, em animais/ha) pelo GMD dos animais teste e pelo número de dias
22 de pastejo. O desaparecimento de MS em %PV (DPV, em % do PV) foi obtido
23 dividindo-se TDD pela LOT e depois o resultado dividido pelo peso médio dos animais
24 teste.

1 As cordeiras foram encarneiradas a partir da segunda quinzena de maio, por 15
2 dias e através de monta natural. A porcentagem de carneiros no período de monta foi
3 semelhante entre os tratamentos ($P=0,0919$) sendo na média dos tratamentos 10%, valor
4 recomendado quando se utiliza a técnica de sincronização de estro (Moraes et al., 2002).

5 Foram utilizados carneiros da raça Suffolk com dois dentes permanentes e peso
6 médio de 67 kg, previamente submetidos a exame clínico. O exame andrológico não foi
7 realizado e, devido a isto, realizou-se um rodízio dos carneiros dentro de cada bloco
8 experimental, trocando-os de piquete a cada dois dias na tentativa de eliminar qualquer
9 efeito negativo que algum reprodutor poderia proporcionar. Utilizou-se a técnica de
10 sincronização de estros com prostaglandina ($PG_{2\alpha}$, Dinoprost Trometamina), realizando-
11 se o seguinte protocolo: dia 1 – entrada dos carneiros nos piquetes; dia 2 – 1º
12 sincronização; dias 3, 4, 5, 6, 7 e 8 – observação de estro; dia 9 – 2º sincronização; dias
13 10, 11, 12, 13, 14 e 15 – observação de estro. A observação de estro consistia em
14 verificar as cordeiras montadas (marcadas com tinta na região da garupa) a cada dia da
15 estação de encarneiramento. Para isto, utilizou-se uma mistura de tinta e graxa, que foi
16 aplicada no peito dos carneiros quando de sua entrada nos piquetes. Apenas foram
17 sincronizadas as cordeiras que ainda não tinham sido montadas.

18 Aproximadamente aos 50 dias após a retirada dos carneiros, foi realizado o
19 diagnóstico de gestação, por ultra-sonografia utilizando-se um aparelho VetScan 2,
20 equipado com transdutor setorial de 3,5 Mhz. As cordeiras foram examinadas sem
21 jejum prévio, usando-se um brete a 40 cm do solo, sendo o exame realizado na região
22 inguinal direita do animal. A porcentagem de prenhez (PP, em %) foi calculada
23 conforme descrito em Ribeiro et al. (2002).

24 O delineamento experimental foi de blocos completos casualizados com duas
25 repetições. Os resultados foram submetidos à análise de variância e teste F ao nível de

1 significância de 10%, e as médias comparadas pelo teste de Tukey ao mesmo nível.
2 Também foram realizadas análise de regressão até terceira ordem entre doses de
3 nitrogênio e período de avaliação, considerando-se, para cada período, o número de
4 dias decorridos desde o início do experimento ($x =$ dia 1 a 110). As variáveis
5 reprodutivas (sincronização e PP) foram submetidas ao teste do Qui-quadrado (χ^2)
6 ($P < 0,10$). As análises foram realizadas através do aplicativo computacional SAS (1997).
7 As variáveis TAD, GMD e GPA sofreram a adição de uma constante devido à presença
8 de valores negativos para fins de ajuste do coeficiente de variação (CV) dos dados para
9 a execução do programa estatístico.

10 O modelo matemático geral referente à análise das variáveis estudadas foi
11 representado por:

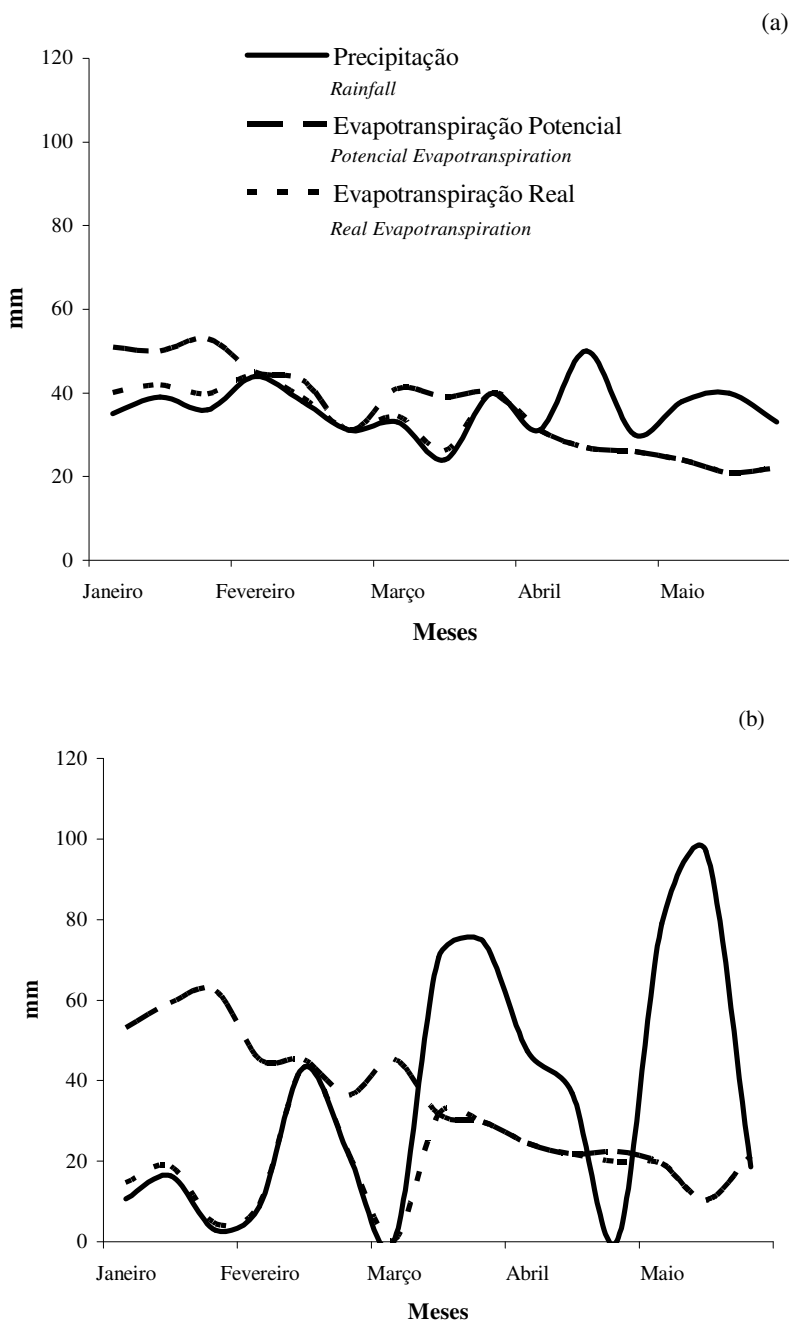
12
$$Y_{ikj} = \mu + B_i + T_i + P_k + TP_{ik} + E_{ij}$$

13 Pelo modelo, Y_{ikj} = variáveis dependentes; μ = média de todas as observações; B_i
14 = efeito do bloco i ; T_i = efeito do tratamento i ; P_k = efeito do período k ; TP_{ik} =
15 interação entre tratamento i e período k ; E_{ij} = erro aleatório associado a cada
16 observação j .

17 **Resultados e Discussão**

18 Na Figura 1 são apresentados os dados do balanço hídrico climático da série
19 histórica 1969-1999, e do período experimental, calculado pelo método de Thornthwaite
20 e Mather, para 75 mm de capacidade de campo. Nos meses de janeiro a março de 2005
21 a precipitação ocorrida foi muito inferior à média histórica, causando assim déficit
22 hídrico em grande parte do período de avaliação. O déficit hídrico acumulado durante o
23 período experimental foi de 237,5 mm, enquanto que o esperado de acordo com a média
24 histórica seria apenas 56,5 mm. Assim, durante três meses a pastagem estava sob

1 condições extremamente limitantes para o seu desenvolvimento devido à drástica falta
 2 de água.
 3



4

5

Figura 1- Balanço hídrico climatológico, da Normal-1969-1999 (a), e do período experimental-2005 (b) na EEA-UFRGS, Eldorado do Sul, RS
Figure 1- Climatic water balance, Expected-1969-1999 (a),and experimental period-2005 (b) at EEA-UFRGS, Eldorado do Sul, RS

6

1 *Período de pré-encarneiramento*

2 Na Tabela 1 encontram-se os valores médios de massa de forragem (MF), massa
 3 de forragem verde (MFV), e oferta de forragem total (OF) para os diferentes períodos.
 4 Os dados de MF ajustaram-se ao modelo de regressão linear ($y=-12,67371x+3.852,886$;
 5 $R^2=0,6048$; $P<0,0001$), ocorrendo um decréscimo de 12,6 kg/ha de MS para cada dia de
 6 pastejo. Os maiores valores de MF (3.515 kg/ha de MS) no primeiro período são devido
 7 à área estar excluída do pastejo antes do início das avaliações. Os valores médios para
 8 os tratamentos zero, 100 e 200 kg/ha de N foram, respectivamente, 2.678, 3.018 e 3.220
 9 kg/ha de MS, sendo superior ($P=0,0026$) nos tratamentos que receberam adubação
 10 nitrogenada, 100 e 200 kg/ha de N, com estes não diferindo entre si. O valor médio de
 11 MF ao longo do período experimental (2.972 kg/ha de MS) não indica limitação de
 12 consumo para os animais. No entanto, em consequência do déficit hídrico, a massa de
 13 forragem verde tornou-se muito baixa nos períodos intermediários, sendo
 14 significativamente inferiores aos períodos inicial e final.

Tabela 1- Massa de forragem (MF, kg/ha de MS), massa de forragem verde (MFV, kg/ha de MSV), e oferta de forragem (OF, kg MS/100kgPV/dia) da pastagem nativa submetida à adubação nitrogenada e utilizada por cordeiras
Table 1- Forage mass (FM, kg/ha of DM), green forage mass (GFM, kg/ha of GDM) and, forage allowance (FA, kg DM/100 kg LW/day) in native pasture submitted to nitrogen fertilization and used by lambs

Período <i>Period</i>	MF <i>FM</i>	MFV <i>GFM</i>	OF <i>FA</i>
21/01 - 16/02	3.515 a	1.363 a	15,8
17/02 - 16/03	3.114 b	706 b	14,6
17/03 - 13/04	2.795 bc	820 b	12,3
14/04 - 10/05	2.464 c	1.552 a	13,7
Média <i>Mean</i>	2.972	1.035	14,1
CV (%) <i>CV</i>	7,96	18,19	20,28
P <i>P</i>	<0,0001	0,0002	0,2603

15 a, b, c: Médias seguidas de letras diferentes na coluna diferem ($P<0,1$) entre si pelo teste de Tukey
 16 a, b, c: Means followed by different letters, in the same column, differ ($P<0,1$) by Tukey test
 17

18 Devido ao déficit hídrico a MFV apresentou nos períodos intermediários seus
 19 menores valores ($P=0,0002$) onde houve provável limitação para o consumo, sendo

1 melhor representada pelo modelo de regressão quadrático ($y=0,36821x^2 -51,66642x$
2 $+2.501,71029$; $R^2=0,6636$; $P<0,0001$), pois a quantidade de material morto foi elevada,
3 sendo na média das três doses igual a 64,7%. A OF ficou um pouco abaixo da
4 pretendida, porém foi possível um bom controle desta variável de forma a permitir que
5 fosse semelhante entre os tratamentos ($P=0,6726$) em todos os períodos ($P=0,2603$),
6 sendo na média das três doses igual a 14,1 %, não limitando, em tese, o consumo dos
7 animais. No entanto, a oferta de forragem verde (OFV, em kg MSV/100kgPV/dia)
8 apresentou interação das variáveis dose e período ($P=0,0613$). Devido ao déficit hídrico
9 nos períodos intermediários a OFV apresentou seus menores valores (Figura 2), em
10 consequência de valores elevados de material morto, o que limitou a obtenção pelos
11 animais de uma dieta de qualidade, pois a apreensão de material verde na massa de
12 forragem total foi provavelmente prejudicada. A estrutura da pastagem exerce um
13 importante papel no comportamento do animal em pastejo e consequentemente nas
14 taxas de ganhos animais (Carvalho, 1997). Segundo Poppi et al. (1987), as mudanças na
15 estrutura alteram o tamanho do bocado e este, por sua vez, é positivamente relacionado
16 com a MS representada pela porção de folhas verdes.

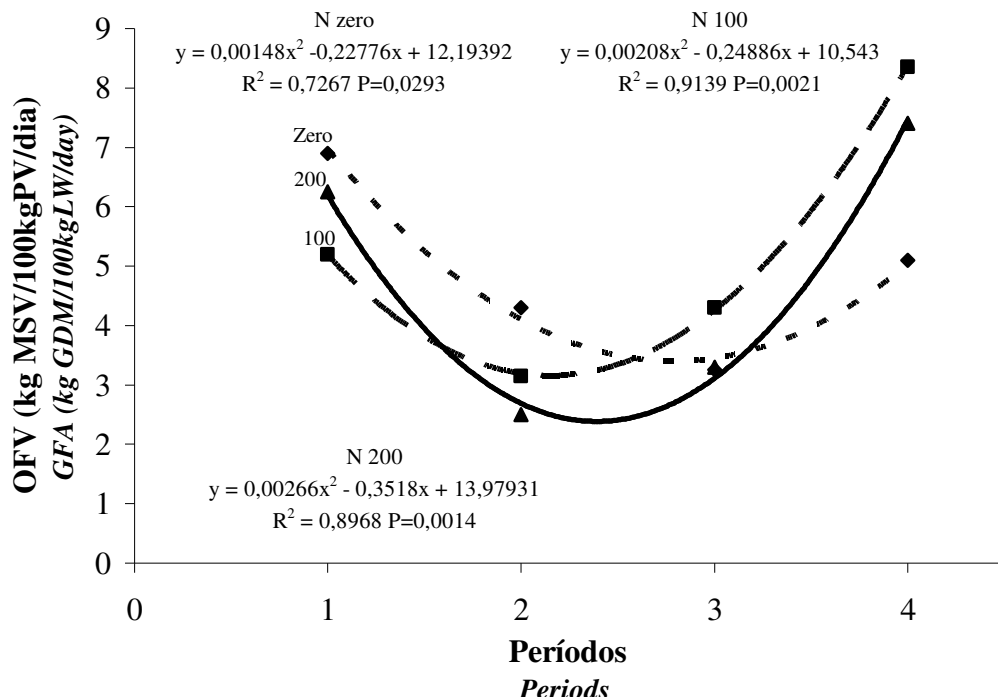


Figura 2- Oferta de forragem verde (kg MSV/100kgPV/dia) da pastagem nativa submetida à adubação nitrogenada e utilizada por cordeiras

Figure 2 *Green forage allowance (kg GDM/100kgLW/day) in native pasture submitted to nitrogen fertilization and used by lambs*

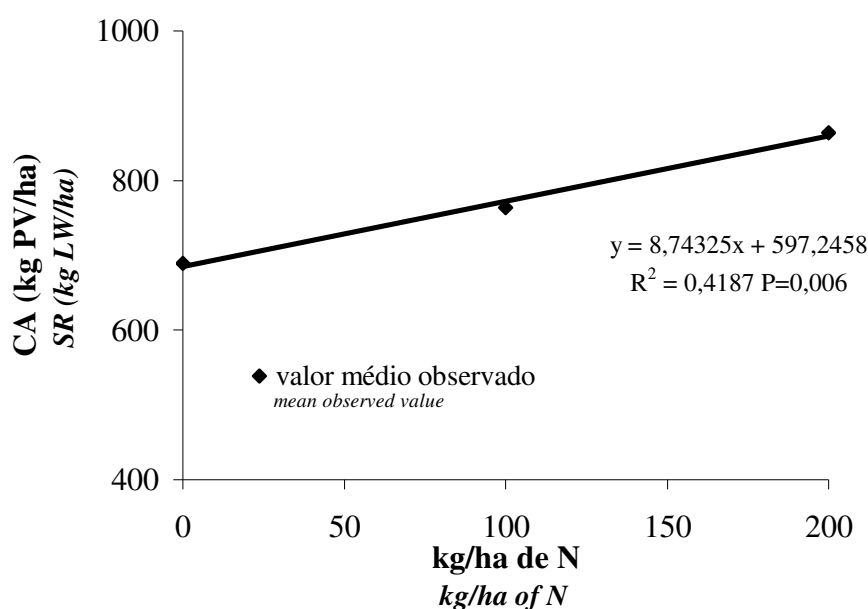
Na Tabela 2 encontram-se os valores médios de carga animal (CA), condição corporal (CC), ganho médio diário (GMD) e ganho por área (GPA). O tratamento 200 kg/ha de N apresentou a CA superior ($P=0,0077$) ao tratamento zero kg/ha de N, enquanto a aplicação de 100 kg/ha de N ficou em posição intermediária, não diferindo das demais. A variável ajustou-se a um modelo de regressão linear em resposta às doses de N (Figura 3), onde cada 100 kg/ha de N proporciona o aumento de carga de 87,4 kg PV/ha, isto é um indicador do efeito positivo do N na pastagem nativa. A CA não diferiu entre os períodos de avaliação ($P=0,1238$), mostrando que, mesmo em condições totalmente desfavoráveis em consequência do déficit hídrico a pastagem nativa melhorada, teve a capacidade de manter altas cargas animais. Isto só foi possível devido a adaptação das espécies nativas às condições edafoclimáticas, o que provavelmente não

1 seria possível com espécies cultivadas exóticas, as quais não têm este potencial de
2 adaptação.

Tabela 2- Carga animal (CA, kg PV/ha), condição corporal (CC, 1-5), ganho médio
diário (GMD, kg/animal/dia) e ganho por área (GPA, kg de PV/ha) de
cordeiras em pastagem nativa submetida à adubação nitrogenada
Table 2- Stocking rate (SR, kg LW/ha/day), body condition (BC, 1-5), average daily gain (ADG,
kg/animal/day) and live weight gain per area (LWG, kg LW/ha) of lambs in native pasture
submitted to nitrogen fertilization

kg/ha de N <i>kg/ha of N</i>	CA <i>SR</i>	CC <i>BC</i>	GMD <i>ADG</i>	GPA <i>AWG</i>
Zero	689 b	2,2	0,025	44,9
100	764 ab	2,1	0,024	51,4
200	864 a	2,1	0,021	41,3
Média <i>Mean</i>	772	2,15	0,023	45,9
CV (%) <i>CV</i>	11,50	5,95	10,65	16,73
P <i>P</i>	0,0077	0,4805	0,9755	0,9628

3 a, b: Médias seguidas de letras diferentes na coluna diferem ($P<0,1$) entre si pelo teste de Tukey
4 a, b: Means followed by different letters, in the same column, differ($P<0,1$) by Tukey test
5



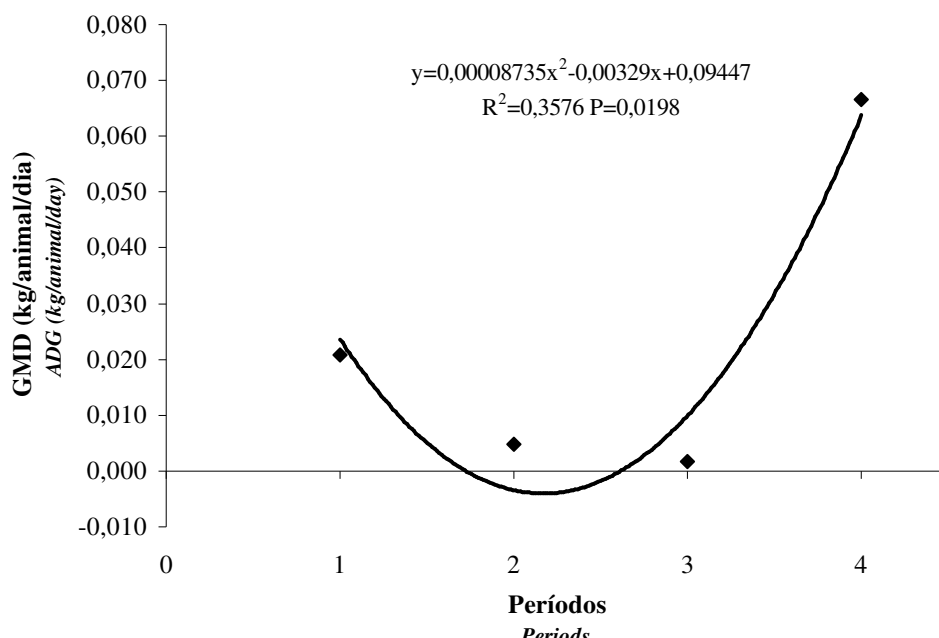
6 Figura 3- Carga animal (CA, kg PV/ha) suportada pela pastagem nativa submetida à
adubação nitrogenada e utilizada por cordeiras
7 Figure 3- Stocking rate (SR, kg LW/ha) supported by native pasture submitted nitrogen fertilization used by
lambs

8 O desaparecimento de MS (DPV, em % do PV) não diferiu entre os tratamentos
9 ($P=0,8649$) em todos os períodos ($P=0,4184$), sendo na média das três doses igual a
10 2,9%. Em baixos valores de OF o DPV corresponde ao que foi consumido pelos

1 animais, mas, na medida em que a OF aumenta, a fração consumida se diferencia mais
2 do desaparecimento, já que a fração perdida por senescência e pisoteio aumenta
3 (Boggiano, 2000). O potencial de consumo destes animais é de 3,5%PV (NRC, 1985), e
4 o valor de DPV foi inferior, sendo que esta variável contempla consumo, senescência e
5 outras “perdas”, indicando assim que os animais tiveram restrição de consumo de
6 forragem. Conforme estudos de Gibb e Treacher (1976), para que a ingestão de MS não
7 esteja limitada, deve-se ofertar três vezes o potencial de consumo. Possíveis restrições,
8 neste caso, devem estar relacionadas à disponibilidade de material verde na pastagem, e
9 não à quantidade de forragem residual total.

10 Em consequência do acima exposto, o GMD não diferiu ($P=0,9755$) entre as doses
11 de N, sendo na média dos tratamentos igual a 0,023 kg/animal/dia (Tabela 2). Os
12 valores desta variável oscilaram no decorrer do período de avaliação ($P=0,0268$) e este
13 comportamento, na média das dose de N foi melhor representado por modelo de
14 regressão quadrático. Conforme se observa na Figura 4 esta variável apresenta o mesmo
15 comportamento da OFV (Figura 2), pelo que, pode-se atribuir os baixos desempenhos
16 individuais à qualidade da forragem disponível consumida, tendo em vista que a OFV
17 média situou-se em 5%. O coeficiente de correlação de Pearson (r) de 0,65 ($P=0,0006$)
18 demonstra uma relação consistente entre OFV e GMD. Além do mais, estes ganhos
19 ficaram bem abaixo da expectativa, provavelmente por se estar trabalhando com uma
20 categoria animal muito exigente, com forte demanda para o crescimento e também pelas
21 condições climáticas não satisfatórias. Apesar de não ter ocorrido diferenças
22 significativas entre os tratamentos nos diferentes períodos, o tratamento zero kg/ha de N
23 no primeiro período apresentou maiores GMD, o que é explicado pelo maior valor de
24 OFV deste tratamento neste período. No entanto, no último período os tratamentos com
25 fertilização de N apresentaram a tendência de maiores GMD, justificado pelos maiores

1 valores de OFV, em consequência da maior taxa de acúmulo de forragem. Isto decorre
 2 de um maior nível de reservas nitrogenadas nos tratamentos com N (Lemaire & Millard,
 3 1999) e da segunda aplicação de N ao início do terceiro período, conjuntamente à
 4 ocorrência de precipitações.

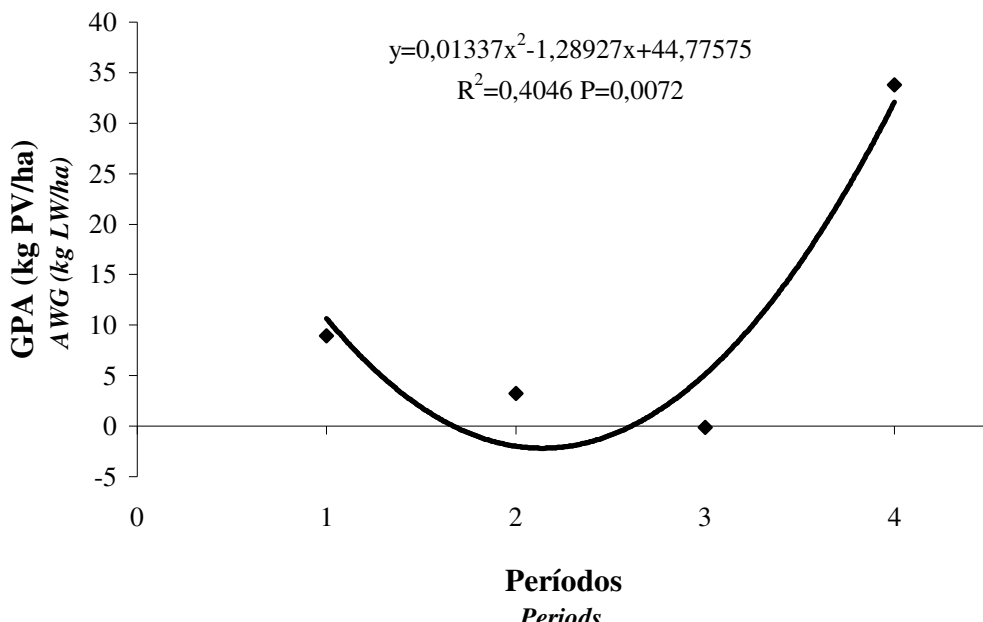


5 Figura 4- Ganho médio diário (GMD, kg/animal/dia) realizado por cordeiras em
 6 pastagem nativa submetida à adubação nitrogenada
Figure 4- Average daily gain (ADG, kg/animal/day) realized by lambs of native pasture fertilized with
nitrogen

7 A CC não diferiu ($P=0,4805$) entre as doses de N (Tabela 2), e ajustou-se ao
 8 modelo de regressão quadrático ($y=0,0001481x^2-0,02371x+2,94719$; $R^2=0,6518$;
 9 $P=0,0001$), apresentando pequena variação durante os períodos de avaliação
 10 ($P=0,0010$), tendo os seguintes valores médios 2,4, 2,1, 2,0 e 2,2 nos períodos de
 11 avaliação I, II, III e IV, respectivamente. Embora a CC tenha apresentado baixa
 12 variação, apresenta comportamento semelhante à OFV e GMD. Estes valores baixos são
 13 decorrência do déficit hídrico, que causou OFV limitante para o consumo dos animais
 14 (Figura 2). Pereira Neto (2004) indica que a CC para o período de encarneiramento seja
 15 3,0-3,5, mas Gunn et al. (1984) indica 2,5 como crítico mínimo para se obter taxas de

1 ovulação satisfatórias. Os animais apresentaram CC abaixo do recomendado para o
2 período de reprodução, pois mesmo com a ocorrência de precipitações nos últimos
3 períodos, não houve tempo suficiente para os animais melhorarem as suas CC.

4 O GPA não diferiu ($P=0,9628$) entre as doses de N, sendo na média das três
5 tratamentos igual a 45,9 kg de PV/ha (Tabela 2), esta variável oscilou no decorrer do
6 período de avaliação ($P=0,0361$) e ajustou-se a um modelo de regressão quadrático. Em
7 consequência dos menores GMD nos períodos de maior déficit hídrico explicado
8 anteriormente, o GPA apresentou resposta semelhante da OFV e do GMD, conforme a
9 Figura 5, com valores baixos, e até mesmo negativos nos períodos intermediários, onde
10 o déficit hídrico apresentou-se mais severo. Nesta variável assim com no GMD, a dose
11 zero kg/ha de N também apresentou tendência de possuir valores maiores quando
12 comparados com os tratamentos fertilizados com N no período inicial. Já no período
13 final, com o retorno das precipitações, verificou-se comportamento inverso, sendo as
14 doses 100 e 200 kg/ha de N com valores superiores. Isto se deve às maiores OFV que
15 proporcionaram aos animais selecionarem dietas de maiores valor nutritivo que nos
16 períodos anteriores, e apresentando como consequências maiores GMD e GPA
17 consequentemente, já que o GMD é uma das variáveis que compõem o GPA.



1 Figura 5- Ganho por área (GPA, kg de PV/ha) realizado por cordeiras em pastagem
 2 nativa submetida à adubação nitrogenada
 3 *Figure 5- Liveweight gain (LWG, kg LW/ha) realized by lambs on native pasture fertilized with nitrogen*

2

3 Período de encarneiramento

4 No período de encarneiramento a MF apresentou valor médio dos tratamentos de
 5 2.115 kg/ha de MS, inferior ($P=0,0008$) ao do pré-encarneiramento (2.972 kg/ha de
 6 MS), devido ao aumento da CA, que passou de 772 para 880 kg PV/ha/dia ($P=0,03$).
 7 Isto se explica pela entrada dos carneiros nos piquetes no período de monta. A MFV, no
 8 entanto, obteve resposta inversa em relação à MF, aumentando de 1.035 para 1.206
 9 kg/ha de MS no período de reprodução ($P<0,1$), que foi proporcionado pela não
 10 ocorrência de déficit hídrico neste período. Esta resposta influenciou diretamente a OFV
 11 que também apresentou resposta positiva aumentando de 5% para 8% ($P=0,0008$). A
 12 OF média das doses de N manteve-se semelhante ao período anterior ($P=0,7871$), com
 13 valor médio de 14,4%. Durante este período, os valores de GMD foram inferiores ao
 14 pré-encarneiramento ($P<0,0001$), apresentando na média das três doses de N, valor de -
 15 0,078 kg/animal/dia, provavelmente como decorrência do estresse do acasalamento.

1 Durante o período de encarneiramento utilizou-se a técnica de sincronização de
2 estro, que é importante e até indispensável quando são empregados sistemas intensivos
3 de reprodução, tais como parições em blocos, ou três partos a cada dois anos (Moraes et
4 al. 2002). A utilização de prostaglandina ($\text{PG}_2\alpha$, Dinoprost Trometamina) para
5 realização de sincronização de estros deve ser utilizada somente durante o período
6 reprodutivo, tendo como fator limitante que os animais estejam ciclando e apresentem
7 corpo lúteo funcional, ou seja, estejam entre os dias 5 a 14 do ciclo (Hoppe & Slyter,
8 1989).

9 A sincronização de estro não apresentou diferença entre os tratamentos
10 ($P=0,6247$). Na primeira sincronização 89,7% das cordeiras manifestaram estro, e a
11 média total de cada tratamento foi de 92,9, 92,3 e 100%, para zero, 100 e 200 kg/ha de
12 N, respectivamente. Tendo como média das três doses 94,9% de manifestação de estro.
13 A sincronização é uma técnica que ajuda na organização dos sistemas de produção
14 melhorando o rendimento do rebanho. No entanto, a técnica não aumenta a fertilidade
15 do rebanho, apenas organiza a produção das fêmeas, tornando possível incrementar a
16 produção por organizar o sistema de parição. As técnicas de sincronização de cio
17 sincronizam o período dos partos, permitindo oferecer melhores condições alimentares
18 quando as fêmeas requerem maior quantidade de alimento.

19 A porcentagem de prenhez (PP) apresentou resposta semelhante à sincronização
20 não havendo diferença entre os tratamentos ($P=0,6337$), tendo como média das três
21 diferentes doses de N 53,2%. Este valor moderado pode ser explicado pelo fato de, em
22 animais jovens, os sinais comportamentais do estro serem usualmente fracos com
23 intensidade menos marcante do que em ovelhas adultas. Além disso, a duração do estro
24 é mais curta e o número de ciclos estrais é menor do que ovelhas durante a estação
25 reprodutiva (Dyrmundsson & Hallgrásson, 1978).

1 Sá et al. (1998) acasalando cordeiras com idade, peso e CC médios de 8 meses,
2 37,4 Kg e 3,3 no início estação de monta, respectivamente, apresentaram taxa de
3 prenhez de 61,2%. Ducker & Boyd (1977) relatam que, ao mesmo peso corpóreo,
4 ovelhas de pequeno porte e alta CC possuem maior taxa de ovulação do que ovelhas
5 maiores com CC baixa. Isto justifica a importância da CC, que é reflexo do estado
6 nutricional dos animais e função direta do GMD. No início do período de
7 encarneiramento as cordeiras tinham em média 10 meses, 39,2kg de peso e 2,1 de CC.

8 Outro fator que influenciou o moderado desempenho reprodutivo foi a duração da
9 estação de monta, com duração de apenas 15 dias, pois não foi possível prolongar este
10 período devido ao aumento da carga animal com a inclusão dos carneiros e às condições
11 do pasto que não permitiram a continuidade das avaliações. Para que isto fosse possível
12 seria necessário diminuir o número de animais teste dos piquetes.

1

Conclusões

2 A diminuição da oferta de forragem verde da pastagem nativa a níveis limitantes
3 para o consumo, em condições de déficit hídrico, limita o desenvolvimento de cordeiras
4 e o seu posterior desempenho reprodutivo, sendo que a adubação nitrogenada não
5 contribui para atenuar estes efeitos.

6 Há efeito positivo da adubação nitrogenada sobre a carga animal, mas a resposta é
7 de baixa magnitude quando ocorre limitação hídrica.

8 A utilização da oferta de massa total como critério de manejo com vistas à
9 produção animal não se revela adequado quando a proporção de material morto é
10 elevada.

11 Não se justifica a aplicação de nitrogênio em condições ambientais desfavoráveis,
12 pois aumenta os custos de produção, e não proporciona vantagens ao sistema. Com a
13 intensificação, a interdependência entre o componente econômico e a resposta biológica
14 aumenta.

1

Literatura Citada

- 2 BARCELLOS J.M.; SEVERO H.C.; ACEVEDO A.S. et al. Influência da adubação e
3 sistemas de pastejo na produção de pastagens naturais. Bagé: CNPO/EMBRAPA,
4 1987. p.11-16. (**Coletâneas das pesquisas forrageiras. V.1**).
- 5 BECK, N.F.G.; DAVIES, M.C.G. The effect of stage of breeding season or pre-mating
6 oestrogen and progestagen therapy on fertility in ewe lambs. **Animal Production**,
7 v.59, p.429-434, 1994.
- 8 BECK, N.F.G.; DAVIES, M.C.G; DAVIES, B. A comparison of ovulation rate and late
9 embryonic mortality in ewe lambs and ewes and the role of late embryo loss in ewe
10 lamb subfertility. **Aimal Science**, v.62, p.79-83, 1996.
- 11 BEMHAJA, M.; BERRETA, E.J.; BRITO, G. Respuesta a la fertilización nitrogenada
12 de campo natural en basalto profundo. In: REUNIÓN DEL GRUPO TÉCNICO
13 REGIONAL DEL CONE SUR EN MEJORAMIENTO Y UTILIZACIÓN DE LOS
14 RECURSOS FORRAJEROS DEL ÁREA TROPICAL Y SUBTROPICAL:
15 GRUPO CAMPOS, 14.,1994, Termas de Arapay. **Anais...** Montevideo: INIA, 1998.
16 p.119-122. (Série Técnica, 94).
- 17 BERGAMASCHI, H.; GUADAGNIN, M.R.; CARDOSO, L.S. et al.. **Clima da**
18 **Estação Experimental da: UFRGS (e Região de Abrangência)**. Porto Alegre,
19 UFRGS, 2003. 78p.
- 20 BOGGIANO, P.R.; MARASCHIN, G.E.; NABINGER, C. et al. Efeito da adubação
21 nitrogenada e oferta de forragem sobre as taxas de acúmulo de matéria seca numa
22 pastagem nativa do Rio Grande do Sul. In: REUNIÃO DO GRUPO TÉCNICO EM
23 FORRAGEIRAS DO CONE SUL – ZONA CAMPOS, 18., 2000, **Anais...**
24 Guarapuava, 2000. p.120-121.
- 25 CARVALHO, P.C.F. A estrutura da pastagem e o comportamento ingestivo de
26 ruminantes em pastejo. In: SIMPÓSIO SOBRE AVALIAÇÃO DE PASTAGENS
27 COM ANIMAIS, 1997, Maringá. **Anais...** Maringá: UEM, 1997. p.25-52.
- 28 DAVIES, M.C.G.; BECK, N.F.G. A comparison of plasma prolactin, LH and
29 progesterone concentrations during oestrus and early pregnancy in ewe lambs and
30 ewes. **Animal Production**, v.57, p.281-286, 1993.
- 31 DUCKER, M.J.; BOYD, J.S. The effect of body size and body condition on the
32 ovulation rate of ewes. **Animal Production**, v.24, p.377-385, 1977.
- 33 DYRMUNDSSON, O.R.; HALLGRÄNSSON, S. Reproductive efficiency of Iceland
34 sheep. **Livestock Production Science**, v.5, p.231-234, 1978.
- 35 EMPRESA BRASILEIRA DE PESQUISA AGROPECUÁRIA – EMBRAPA. Centro
36 Nacional de Pesquisa do Solo – CNPS. **Sistema Brasileiro de Classificação de**
37 **Solos**. Rio de Janeiro: Embrapa, 1999. 412 p.
- 38 GIBB, M.J.; TREACHER T.T. The effect of herbage allowance on herbage intake and
39 performance of lambs grazing perennial ryegrass and red clover swards. **Journal of**
40 **Agricultural Science**, v.86, p.355-365, 1976.
- 41 GOMES, L.H. **Produtividade de um campo nativo melhorado submetido à**
42 **adubação nitrogenada**. Porto Alegre: Universidade Federal do Rio Grande do Sul,
43 2000. 124p. Dissertação (Mestrado em Zootecnia) - Universidade Federal do Rio
44 Grande do Sul, 2000.

- 1 GUMA, J.M.C.R. **Parâmetros da pastagem e produção animal em campo nativo**
 2 **adubado e fertilizado com diferentes doses de nitrogênio, submetido ao**
 3 **diferimento para utilização no outono-inverno.** Porto Alegre: Universidade
 4 Federal do Rio Grande do Sul, 2005. 58p. Dissertação (Mestrado em Zootecnia) -
 5 Universidade Federal do Rio Grande do Sul, 2005.
- 6 GUNN, R.G.; DONEY, J.M.; SMITH, W.F. The effect of level of pre-mating nutrition
 7 on ovulatory rate in Scottish blackface ewes in different body conditions at mating.
 8 **Animal Production**, v.39, p.235-239, 1984.
- 9 HAYDOCK, K.P.; SHAW, N.H. The comparative yield method for estimating dry
 10 matter yield of pasture. **Australian Journal of Agriculture and Animal**
 11 **Husbandry**, v.15, p.66-70, 1975.
- 12 HOPPE, K.F.; SLYTER, A.L. Effects of prostaglandin dosage on synchronizing ovine
 13 estrous using a modified single injection regimen. **Theriogenology**, v.31, p.1191-
 14 1200, 1989.
- 15 LEMAIRE, G.; MILLARD, P. An ecophysiological approach to modeling resource
 16 fluxes in competing plants. **Journal of Experimental Botany**, v.50, p.15-28, 1999.
- 17 LEWIS, R.M.; NOTTER, D.R.; HOGUE, D.E. et al. Ewe fertility in the STAR
 18 accelerated lambing system. **Journal of Animal Science**, v.74, p.1511-1522, 1996.
- 19 MORAES, A.; MOOJEN, E.L.; MARASCHIN, G.E. Comparação de métodos de
 20 estimativa de taxa de crescimento em uma pastagem submetida a diferentes pressões
 21 de pastejo. In: REUNIÃO ANUAL DA SOCIEDADE BRASILEIRA DE
 22 ZOOTECNIA, 27., 1990, Campinas. **Anais...** Piracicaba: FEALQ, 1990. p.332.
- 23 MORAES, J.C.F.; SOUZA, C.J.H.; GONÇALVES, P.B.D. Controle do Estro e da
 24 Ovulação em Bovinos e Ovinos. In: GONÇALVES, P.B.D.; FIGUEIREDO, J.R.;
 25 FREITAS, V.J.F. (Eds.) **Biotécnicas aplicadas à reprodução animal.** São Paulo:
 26 Varela Editora e Livraria Ltda. 2002. p.25-55.
- 27 MORENO, J.A. **Clima do Rio Grande do Sul.** Porto Alegre: Secretaria da Agricultura,
 28 1961. 41p.
- 29 MOTT, G.O., LUCAS, H.L. The design conduct and interpretation of grazing trials on
 30 cultivated and improved pastures. In: INTERNATIONAL GRASSLAND
 31 CONGRESS, 6., 1952. Pennsylvania. **Proceedings...** Pennsylvania: State College
 32 Press, 1952. p.1380-1395.
- 33 NATIONAL RESEARCH COUNCIL - NRC. **Nutrient requirements of sheep.** 6.ed.
 34 Washington D.C., 1985. 90p.
- 35 PEREIRA NETO, O.A. Escore de condição corporal. Instrumento de tomada de
 36 decisão. In: PEREIRA NETO, O.A.; MÓRLAN, J.B.; CARVALHO, P.C.F. et al.
 37 (Eds.) **Práticas em Ovinocultura – Ferramentas para o sucesso.** Porto Alegre:
 38 SENAR, 2004. p.67-78.
- 39 POPPI, D.P.; HUGHES, T.P.; L'HUILLIER, P.J. Intake of pasture by grazing
 40 ruminants. In: **Feeding livestock on pasture.** Hamilton, A.M. Nicol, 1987. p.55-63.
- 41 POWELL, M.R.; KAPS, M.; LAMBERSON, W.R. et al. Use of melengestrol acetate-
 42 based treatments to induce and synchronize estrus in seasonally anestrous ewes.
 43 **Journal of Animal Science**, v.74, p.2292-2302, 1996.

- 1 RIBEIRO, L.A.O.; GREGORY, R.M.; MATTOS, R.C. Prenhez em rebanhos ovinos do
2 Rio Grande do Sul. **Ciência Rural**, v.32, n.4, p.637-641, 2002.
- 3 RODA, D.S.; SANTOS, L.E.; CUNHA, E.A. et al Performance of ewes mated at
4 intervals of eight months. **Boletim da Industria Animal**, v.50, p.49-54, 1993.
- 5 ROSITO, J.M. **Levantamento fitossociológico de uma pastagem perene de verão,**
6 **submetida a diferentes sistemas de manejo.** Porto Alegre: Universidade Federal
7 do Rio Grande do Sul, 1983. 181p. Dissertação (Mestrado em Zootecnia) -
8 Universidade Federal do Rio Grande do Sul, 2000.
- 9 RUSSEL, A. Body condition scoring of sheep. In: BODEN, E. (Ed.) **Sheep and goat**
10 **practice.** London: Bailliere Tindall. p.3-10, 1991.
- 11 SA, J.L.; OTTO, C.; ANDRIGUETTO, J.L. et al. Efeito da antecipação reprodutiva no
12 desempenho de borregas. In: REUNIÃO ANUAL DA SOCIEDADE BRASILEIRA
13 DE ZOTECNIA, 35., 1998, Botucatu. **Anais...** Botucatu: Sociedade Brasileira de
14 Zootecnia, 1998. p.160-162.
- 15 STATISTICAL ANALYSES SYSTEM - SAS. **SAS/STAT user's guide:** statistics.
16 4.ed. Version 6, Cary: 1996, v.2. 943p.

4. CAPITULO IV
CONSIDERAÇÕES FINAIS

CONCLUSÕES GERAIS

Em condições de déficit hídrico severo, como pode ser visualizado no Apêndice 33, a utilização de nitrogênio mineral em pastagem nativa não contribui para respostas mais intensas das suas variáveis produtivas, não se justificando sua aplicação.

A taxa de acúmulo de forragem é prejudicada pelas condições desfavoráveis de falta de água, aumentando a quantidade de material morto da forragem e, consequentemente, prejudicando as quantidades de massa de forragem verde, o que afeta negativamente a oferta de forragem verde aos animais.

A utilização da oferta de massa total como critério de manejo se revela adequado para os propósitos de manutenção de uma massa de forragem residual desejada.

A alta correlação entre altura e massa de forragem observada, indica a altura como uma boa ferramenta para a estimativa da massa de forragem e manejo da pastagem nativa melhorada.

A diminuição da oferta de forragem verde da pastagem nativa a níveis limitantes para o consumo, em condições de déficit hídrico, limita o desenvolvimento de cordeiras e o seu posterior desempenho reprodutivo, sendo que a adubação nitrogenada não contribui para atenuar estes efeitos.

Há efeito positivo da adubação nitrogenada sobre a carga animal, mas a resposta é de baixa magnitude quando ocorre limitação hídrica.

A utilização da oferta de massa total como critério de manejo com vistas à produção animal não se revela adequado quando a proporção de material morto é elevada.

Não se justifica a aplicação de nitrogênio em condições ambientais desfavoráveis, pois aumenta os custos de produção, e não proporciona vantagens ao sistema. Com a intensificação, a interdependência entre o componente econômico e a resposta biológica aumenta.

CONSIDERAÇÕES FINAIS

A pastagem nativa mesmo em condições totalmente desfavoráveis, em consequência do déficit hídrico, teve a capacidade de manter altas cargas animais. Isto só foi possível devido à adaptação das espécies nativas às condições edafoclimáticas, o que provavelmente não seria possível com a utilização de espécies cultivadas exóticas, as quais não tem este potencial de adaptação.

Durante o período de avaliações a massa de forragem não foi limitante para o consumo dos animais, mas as altas quantidades de material morto ocasionaram limitação para consumo dos animais, dificultando aos mesmos a obtenção de uma dieta de melhor qualidade. A suplementação protéica seria uma alternativa a ser testada nestas condições, pois o que limitava o desempenho animal era, provavelmente, a qualidade da forragem, limitando também o consumo.

A suplementação de animais em pastejo é feita com o objetivo principal de manter o desempenho animal quando a massa ou a qualidade da forragem torna-se limitante (Prache et al., 1990). Esta prática poderia ser uma

alternativa, sendo que alguns resultados de pesquisas indicam que os principais efeitos da suplementação protéica, em volumoso com baixa qualidade, estão relacionados com melhorias na eficiência da fermentação ruminal, velocidade de degradação ruminal da fibra e no consumo de volumoso (Köster et al., 1996; Mathis et al., 2000). Essas respostas podem ser maximizadas pela otimização da relação entre o consumo de proteína bruta degradável no rúmen e o consumo de matéria orgânica digestível na dieta consumida pelos animais (Bodine & Purvis, 2003).

A finalidade da suplementação protéica é fornecer nitrogênio degradável no rúmen para atender a exigência mínima de proteína bruta no rúmen (Van Soest, 1994), assim melhorar a digestibilidade da forragem (Heldt et al., 1999) e, consequentemente, proporcionar melhor desempenho para animais mantidos em pastagens em período onde a qualidade da forragem é limitante.

A baixa fertilidade natural dos solos é fator limitante da produtividade e sustentabilidade das pastagens nativas, assim como o mau manejo que também pode acentuar a deficiência de nutrientes, especialmente o nitrogênio. O aumento do suprimento de nitrogênio no solo, na melhoria da produtividade da pastagem, pode ser obtido pela aplicação de fertilizantes nitrogenados ou pelo uso de leguminosas em consorciação com gramíneas, devido a capacidade dessas plantas em fixar biologicamente o nitrogênio atmosférico (Giller & Cadisch, 1995). O nitrogênio fixado pelas leguminosas contribui para o sistema de produção, pois pode melhorar a qualidade da dieta (Costa, 1995) e aumentar a produção animal (Euclides et al., 1998). A contribuição é feita

indiretamente pela transferência do nitrogênio fixado para as gramíneas, o que aumenta a capacidade de suporte da pastagem e prolonga a sua capacidade produtiva (Cantarutti et al., 2002). Outra vantagem das leguminosas é a menor variação estacional no seu valor nutritivo, em comparação com as gramíneas forrageiras (Klusmann, 1988; Jingura et al., 2001). Desta forma, esta também é uma alternativa a ser testada num programa de pesquisa a longo prazo que objetive a valorização do recurso natural pastagem nativa.

Estudos de análise da vegetação envolvendo o levantamento da composição florística e sua dinâmica da pastagem natural também é outro aspecto que deve normalmente acompanhar estudos desta natureza no longo prazo e que merece consideração na continuação desta linha de pesquisa. A composição florística descreve o arranjo das espécies em determinada área, sendo considerada a melhor propriedade para identificar sítio ecológico; como medida dinâmica, é usada para detectar mudanças a eles impostas, visto que o inter-relacionamento das espécies depende do meio ambiente.

A composição botânica é expressa em termos florísticos, podendo ser medida, quantitativamente, por meio da freqüência de ocorrência (presença), do número (densidade), cobertura (área) e do peso, proporção das espécies, com base no peso, é, geralmente, a medida mais útil, visto que reflete a produção da pastagem, que está intimamente relacionada com a produtividade animal (Tohil, 1979). No entanto, a complexidade da obtenção das amostras para análise tem-se constituído num dos maiores problemas. Uma das maiores dificuldades enfrentadas pelos que trabalham com avaliação da pastagem nativas relacionam-se com a enorme variabilidade da vegetação.

A grande diversidade de espécies nos sistemas naturais de vegetação tropical e subtropical é uma rica fonte de variabilidade, onde em sua composição botânica, pode ocorrer mudanças dependendo do manejo a que são submetidas. É muito importante o conhecimento destas variações, de modo a desejar espécies dominantes, mantendo a composição botânica mais produtiva.

Trabalhos desta natureza necessitam um acompanhamento em longo prazo, para que se possa inferir sobre os efeitos na dinâmica da vegetação e sobre a economicidade dos tratamentos, pois este período experimental foi extremamente prejudicado pelas condições de déficit hídrico. Existe a necessidade de avaliar esses efeitos sobre o comportamento reprodutivo de ovinos jovens e também conhecer a real capacidade de suporte com esta categoria animal. Esses resultados necessitam ser buscados para que se possa realmente medir o benefício econômico, quando indispensável se torna mensurá-los quanto aos seus efeitos sobre a produtividade vegetal e o desempenho animal.

O número de repetições deste experimento é pequeno, com isto pode ser um fator limitante em relação a análise estatística. A repetição constitui um dos princípios básicos da experimentação científica, objetiva propiciar estimativas de erro experimental, e permitir a distribuição dos tratamentos em maior espaço do ambiente, com vistas a adequar a extração dos resultados obtidos. Quanto maior for o número de repetições, mais fidedigna será a estimativa do erro experimental, portanto, haverá mais segurança na aplicação dos testes estatísticos e maior confiabilidade nos

resultados obtidos. Embora se reconheça as dificuldades de ordem financeira e material para trabalhar com maior número de repetições, recomenda-se que a seqüência deste trabalho considere esta possibilidade.

5. REFERÊNCIAS BIBLIOGRÁFICAS

ABOUL NAGA, A.M.; MANSOUR, H.; ABOUL EIA, M.B. et al. Oestrous activity in three subtropical sheep breeds in Upper Egypt and response to long-day light treatment. **Journal of Agricultural Science**, Cambridge v.116, p.139-143, 1991.

AGUINAGA, A. J. Q.; **Manejo da oferta de forragem e seus efeitos na produção animal e na produtividade primária de uma pastagem natural na Depressão Central do Rio Grande do Sul.** 2004. 79 f. Dissertação (Mestrado) – Programa de Pós Graduação em Zootecnia, Faculdade de Agronomia, Universidade Federal do Rio Grande do Sul, Porto Alegre, 2004.

ALMEIDA, E. X.; SETELICH, E. A.; MARASCHIN, G. E. Ofertas de forragem e variáveis morfogênicas em capim elefante anão cv. Mott. In: REUNIÃO ANUAL DA SOCIEDADE BRASILEIRA DE ZOOTECNIA, 24., 1997, Juiz de Fora. **Anais...** Juiz de Fora: SBZ, 1997. p. 240-242.

AYALA, W.; CARAMBULA, M. Nitrógeno en campo natural. In: MORÓN, A.; RISSO D. F. (Eds.) **Nitrógeno en Pasturas.** Montevideo: INIA, 1994. p.33-42. (Série Técnica, 51).

BALDWIN, D. M.; HAWKINSON, N. W., ANDERSON, E. W. High-rate fertilization of native rangeland in Oregon. **Journal of Range Management**, Lakewood, v. 27, n. 3, p. 214-216, 1974.

BARCELOS A. O.; VILELA L. Avaliação de forrageiras e rendimento de pastagens com animais em pastejo. In: SIMPÓSIO INTERNACIONAL DE FORRAGICULTURA; REUNIÃO ANUAL DA SOCIEDADE BRASILEIRA DE ZOOTECNIA, 31., 1994, Maringá. **Anais...** Maringá: SBZ, 1994. p. 1-56.

BARRETO I. L.; BOLDIRINI, I. I. Aspectos físicos, vegetação e problemática das regiões do litoral, Depressão Central, Missões e Planalto do Rio Grande do Sul,

Brasil. In: INTRODUCIÓN, CONSERVACIÓN E EVALUACIÓN DE GEMOPLASMA FORRAJERO EN EL CONO SUR, 1990, [S. I.]. **Anais...** Porto Alegre: IICA, 1990. p.199-207.

BECK, N.F.G.; DAVIES, M.C.G. The effect of stage of breeding season or pre-mating oestrogen and progestagen therapy on fertility in ewe lambs. **Animal Production**, Peebles, v.59, p.429-434, 1994.

BECK, N.F.G.; DAVIES, M.C.G.; DAVIES, B. A comparison of ovulation rate and late embryonic mortality in ewe lambs and ewes and the role of late embryo loss in ewe lamb subfertility. **Animal Science**, Peebles, v.62, p.79-83, 1996.

BEMHAJA, M. Fertilización nitrogenada en sistemas ganaderos. In: MORÓN, A.; RISSO D. F. (Eds.) **Nitrógeno en Pasturas**. Montevideo: INIA, 1994. p.49-56. (Série Técnica, 51).

BEMHAJA, M.; BERRETA, E.J.; BRITO, G. Respuesta a la fertilización nitrogenada de campo natural en basalto profundo. In: REUNIÓN DEL GRUPO TÉCNICO REGIONAL DEL CONE SUR EN MEJORAMIENTO Y UTILIZACIÓN DE LOS RECURSOS FORRAJEROS DEL ÁREA TROPICAL Y SUBTROPICAL: GRUPO CAMPOS, 14.,1994, Termas de Arapay. **Anais...** Montevideo: INIA, 1998. p.119-122. (Série Técnica, 94).

BERRETA, E.J.; Campo Natural: Valor nutritivo y manejo. In: RISSO D. F.; BERRETA E. J.; MORÓN A. (Eds). **Producción y manejo de pasturas**. Montevideo: INIA, 1996. p.113-127. (Série Técnica, 80).

BERRETA, E.J.; RISSO, D.F.; LEVRATTO, J.C. et al. Mejoramiento de Campo Natural de basalto fertilizado com nitrógeno y fósforo. In: SEMINARIO DE ACTUALIZACION EM TECNOLOGIAS PARA BASALTO, 1998, Tacuarembo. **Anais...** Montevideo: INIA, 1998. p.63-73. (Serie Tecnica, 102).

BERRETA, E.J.; RISSO, D.F.; MONTOSSI, F. et al. Campos in Uruguay. In: LEMAIRE, G.; HODGSON, J.; MORAES, A et al. (Eds.) **Grassland Ecophysiology and Grazing Ecology**. Wallingford: CABI Publishing, 2000. p.377-394.

BERTOL, I.; GOMES, K.E.; DENARDIN, R.B.N. et al. Propriedades físicas do solo relacionadas a diferentes níveis de oferta de forragem numa pastagem natural. **Pesquisa Agropecuária Brasileira**, Brasília, v.33, n.5, p.779-786, 1998.

BODINE, T.N.; PURVIS, H.T. Effects of supplemental energy and/or degradable intake protein on performance, grazing behaviour, intake, digestibility, and fecal and blood indices by beef steers grazed on dormant native tallgrass prairie. **Journal of Animal Science**, Savoy, v.81, p.304-317, 2003.

BOLDRINI, I. I. **Dinâmica de vegetação de uma pastagem natural sob diferentes níveis de oferta de forragem e tipos de solo, Depressão Central, RS.** 1993. 262 f. Tese (Doutorado)-Programa de Pós-Graduação em Zootecnia, Faculdade de Agronomia, Universidade Federal do Rio Grande do Sul, Porto Alegre, 1993.

BOLDRINI, I. I. Campos do Rio Grande do Sul: Caracterização fisionômica e problemática ocupacional. **Boletim do Instituto de Biociências**, Porto Alegre, n 56, 1997.

BOOYSEN, P.V.; TAINTON, N.M.; SCOTT, J.D. Shoot-apex development in grasses and its importance in grassland management. **Herbage Abstract**, Farnham Royal, v.33, n.4, p.209-213, 1978.

BRADY, N. C. **Natureza e propriedade dos solos**. Rio de Janeiro-RJ: Freitas Bastos, 1989. 898 p.

BRASIL, M.S.; BALDANI,J.I.; BALDANI, V.L.D. Ocorrência e a diversidade de bactérias diazotróficas associadas a gramíneas forrageiras do Pantanal Sul Matogrossense. **Revista Brasileira de Ciência do Solo**, Viçosa, v.29, p.179-190, 2005.

BRISKE, D. D. Developmental morphology and physiology of grasses. In: HEITSCHMIDT, R.K.; STUTH J. W. **Grazing Management: An Ecological Perspective**. Oregon: Timber press, 1991. p. 85-108.

BRISKE, D.; HEITSCHMIDT, R.K. An ecological perspective. In: HEITSCHMIDT, R.K.; STUTH, J.W. **Grazing management: An ecological perspective**. Oregon: Timber Press, 1991. p.11-26.

CANTARUTTI, R.B.; TARRÉ, R.M.; MACEDO, R. et al. The effect of grazing intensity and the presence of a forage legume on nitrogen dynamics in *Brachiaria* pastures in the Atlantic forest region of the South of Bahia, Brazil. **Nutrient Cycling in Agroecosystem**, Dordrecht, v.64, p.257-271, 2002.

CARVALHO, P.C.F. A estrutura da pastagem e o comportamento ingestivo de ruminantes em pastejo. In: SIMPÓSIO SOBRE AVALIAÇÃO DE PASTAGENS COM ANIMAIS, 1997, Maringá. **Anais...** Maringá: UEM, 1997. p.25-52.

CARVALHO, P. C. F.; GENRO, T.C. M.; GONÇALVES, E.N. et al. A estrutura do pasto como conceito de manejo: reflexos sobre o consumo e a produtividade. In: SIMPÓSIO DE VOLUMOSOS NA PRODUÇÃO DE RUMINANTES, 2., 2005, Jaboticabal. **Anais...** Jaboticabal: Unesp, 2005. p. 107-124.

CORSI, M. Adubação nitrogenada das pastagens. In: SIMPÓSIO SOBRE MANEJO DA PASTAGEM, 2., 1974, Piracicaba. **Anais...** Piracicaba:FEALQ, 1974.p. 113-143.

COSTA, N.L. Adubação nitrogenada e consorciação de capim-elefante (*Pennisetum purpureum* cv. Cameroon) com leguminosas forrageiras tropicais. **Pesquisa Agropecuária Brasileira**, Brasília, v.30, p.401-408, 1995.

CRUZ, F. P. **Dinâmica de crescimento, desenvolvimento e desfolhação em *Andropogon lateralis* Ness.** 1998. 106 f. Dissertação (Mestrado)-Programa de Pós-Graduação em Zootecnia, Faculdade de Agronomia, Universidade Federal do Rio Grande do Sul, Porto Alegre, 1998.

DAVIES, M.C.G.; BECK, N.F.G. A comparison of plasma prolactin, LH and progesterone concentrations during oestrus and early pregnancy in ewe lambs and ewes. **Animal Production**, Peebles, v.57, p.281-286, 1993.

DÖBEREINER, J. Fixação de Nitrogênio em associação com Gramíneas. In: CARDOSO, E.J.N.; TSAI, S.M.; NEVES, M.C.P. (Coord.). **Microbiologia do Solo**. Campinas, SP, 1992. p. 173-179.

EUCLIDES, V. P. B. **Algumas considerações sobre manejo de pastagens.** Campo Grande: Embrapa. CNPGC, 1995. 31 p. (Documentos).

EUCLIDES, V. P. B.; EUCLIDES FILHO, K. Avaliação de forrageiras sob pastejo. In: SIMPÓSIO SOBRE AVALIAÇÃO DE PASTAGENS COM ANIMAIS, 1997, Maringá. **Anais...** Maringá:UEM, 1997. p. 85-111.

EUCLIDES, V.P.B.; MACEDO, M.C.M.; OLIVEIRA, M.P. Produção de bovinos em pastagens de *Brachiaria* spp. consorciadas com *Calopogonium mucunoides* nos cerrados. **Revista Brasileira de Zootecnia**, Viçosa, MG, v. 27, n. 2, p. 238-245, 1998.

FOGARTY, N.M.; HALL, D.G.; DAWE, S.T. et al. Management of highly fecund ewe types and their lambs for 8-monthly lambing. 1. Effect of lamb weaning age on ewe reproductive activity in spring. **Australian Journal of Experimental Agriculture**, Collingwood Victoria, v.32, p.421-428, 1992.

GILLER, K.; CADISCH, G. Future benefits from biological nitrogen fixation: an ecological approach to agriculture. **Plant and Soil**, Dordrecht, v. 174, p. 255-277, 1995.

GOMES, L. H. **Alguns aspectos relacionados ao padrão de seleção de forragem pelos ruminantes em pastejo.** Porto Alegre: Departamento de Plantas Forrageiras e Agrometeorologia da Universidade Federal do Rio Grande do Sul, 1999. 3 f.

GOMIDE, J. A. Aspectos biológicos e econômicos da adubação de pastagens. In: SIMPÓSIO SOBRE ECOSISTEMA DE PASTAGENS, 1989,Jaboticabal. **Anais...** Jaboticabal:FUNEP,1989. p. 237-270.

GORDON, I. J.; LASCANO, C. Foraging strategies of ruminant livestock in managed grassland: potential and constraints. In: INTERNATIONAL GRASSLAND CONGRESS, 17., 1993, Palmerston North. **Proceedings...** Palmerston North, 1993. p. 681-689.

HELDT, J.S.; COCHRAN, R.C.; STOKKA, G.L. et al. Effects of different supplemental sugars and starch fed in combination with degradable intake protein on low-quality forage use by beef steers. **Journal of Animal Science**, Savoy, v.77, n.10, p.2793-2802, 1999.

HOLMES, W. The use of nitrogen in the management of pasture for cattle. **Herbage Abstracts**, Slough, v. 38, n. 4, p. 265-277, 1968.

INSTITUTO BRASILEIRO DE GEOGRAFIA E ESTATÍSTICA - IBGE. **Anuário Estatístico do Brasil**, Rio de Janeiro, v. 56, 1996.

JARVIS, S. C.; STOCKDALE, E. A.; SHEPHERD, M. A. et al. Nitrogen mineralization in temperate agricultural soils: processes and measurement. **Advances in Agronomy**, San Diego, v. 57, p.187-235, 1996.

JINGURA, R.M.; SIBANDA, S.; HAMUDIKUWANDA, H. Yield and nutritive value of tropical forage legumes grown in semi-arid parts of Zimbabwe. **Tropical Grassland**, Indooppilly, v.35, p.168-174, 2001.

KEMP, D. R.; DOWLING, P. M.; MICHALK, D. L. Managing the composition of native and naturalised pastures with grazing. **New Zealand Journal of Agricultural Research**, Wellington, v. 39, p. 569-578, 1996.

KLUSMANN, C. Trees and shrubs for animal production in tropical and subtropical areas. **Plant Research and Development**, Tuebingen, v. 27, p. 92-104, 1988.

KÖSTER, H.H.; COCHRAN, R.C.; TITGEMEYER, E.C. Effect of increasing degradable intake protein on intake and digestion of low-quality, tallgrass-prairie forage by beef cows. **Journal of Animal Science**, Savoy, v.74, p.2473-2481, 1996.

L'HUILLER, P. J.; POPPI, D. P. Influence of green leaf distribution on diet selection by sheep and implications for animal performance. **Proceedings of the New Zealand Society of Animal Production**, Palmerston North, v. 44, p. 105-107, 1984.

LAWLOR, D.L. **Photosynthesis**: molecular, physiological and environmental process. 2. ed [S. l.]: Longman Group UK Limited, 1993. 317p.

LEMAIRE, G.; MILLARD, P. An ecophysiological approach to modeling resource fluxes in competing plants. **Journal of Experimental Botany**, Oxford, v.50, p.15-28, 1999.

LEWIS, R.M.; NOTTER, D.R.; HOGUE, D.E. et al. Ewe fertility in the STAR accelerated lambing system. **Journal of Animal Science**, Savoy, v.74, p.1511-1522, 1996.

MALPAUX, B.; VIGUIÉ, C.; SKINNER, D.C. et al. Seasonal breeding in sheep: Mechanism of action of melatonin. **Animal Reproduction Science**, Amsterdam, v.42, p.109-117, 1996a.

MALPAUX, B.; VIGUIÉ, C.; THIÉRY, J.C. et al. Photoperiodic control of reproduction. **Productions Animales**, Versailles, v.9, p.9-23, 1996b.

MARASCHIN, G. E.; JACQUES, A. V. A. Grassland opportunities in the subtropical region of South America. In: INTERNATIONAL GRASSLAND CONGRESS, 17., 1993, Palmerston North. **Proceedings...** Palmerston North:[S.n.], 1993. p.1977-1981.

MARASCHIN, G. E. Avaliação de forrageiras e rendimento de pastagens com animais em pastejo. In: SIMPÓSIO INTERNACIONAL DE FORRAGICULTURA; REUNIÃO DA ANUAL DA SOCIEDADE BRASILEIRA DE ZOOTECNIA, 31., 1994, Maringá. **Anais...** Maringá:SBZ, 1994. p. 65-98.

MARASCHIN, G. E. Utilização, manejo e produtividade das pastagens nativas da região sul do Brasil. In: CICLO DE PALESTRAS EM PRODUÇÃO E MANEJO DE BOVINOS DE CORTE, 3., 1998 **Anais...** Canoas: ULBRA, 1998. p.29-39.

MARTIN, G.B.; OLDHAM, C.M.; COGNIÉ, Y et al. The physiological responses of anovulatory ewes to the introduction of rams - a review. **Livestock Production Science**, Amsterdam, v.15, p.219-247, 1986.

MATHIS, C.P.; COCHRAN, R.C.; HELDT, J.S. et al. Effects of supplemental degradable intake protein on utilization of medium-to-low quality forages. **Journal of Animal Science**, Savoy, v.78, p.224-232, 2000.

MAZZANTI, A.; LEMAIRE, G. The effect of nitrogen fertilization upon the production of tall fescue swards continuously grazed with sheep. II. Consumption and efficiency of herbage utilization. **Grass and Forage Science**, Oxford, v. 49, p. 352-359, 1994.

MOOJEN, E. L. **Dinâmica e potencial produtivo de uma pastagem nativa do Rio Grande do Sul submetida a pressões de pastejo, épocas de diferimento e níveis de adubação**. 1991. 172 f. Tese (Doutorado)-Programa de Pós-Graduação em Zootecnia, Faculdade de Agronomia, Universidade Federal do Rio Grande do Sul, Porto Alegre, 1991.

MORAES, J.C.F. Emprego do "efeito macho" na indução e manipulação do ciclo estral em ovelhas durante o anestro. **A Hora Veterinária**, Porto Alegre, v.11, p.32-34, 1991.

MORLEY, F.H.W.; SPEDDING, C.R.W. Agricultural systems and grazing experiments. **Herbage Abstracts**, Slough, v.38, n. 4, p.279-287, 1968.

MOTT, G.O., LUCAS, H.L. The design conduct and interpretation of grazing trials on cultivated and improved pastures. In: INTERNATIONAL GRASSLAND CONGRESS, 6., 1952. Pennsylvania. **Proceedings...** Pennsylvania: State College Press, 1952. p.1380-1395.

MOTT, G.O. Grazing pressure and the measurement of pasture production. In INTERNATIONAL GRASSLAND CONGRESS, 8., 1960, Reading. **Proceedings...** Reading: Alden Press, 1960. p.606-611.

NABINGER, C. Aspectos ecofisiológicos do manejo de pastagem e utilização de modelos como ferramenta de diagnóstico e indicação de necessidade de pesquisa. In: REUNIÃO DO GRUPO TÉCNICO REGIONAL DO CONE SUL (ZONA CAMPOS) EM MELHORAMENTO E UTILIZAÇÃO DE RECURSOS FORRAGEIROS DAS ÁREAS TROPICAL E SUBTROPICAL, 16., 1996, Porto Alegre. **Anais...** Porto Alegre, 1996a. p. 17-61.

NABINGER, C. Princípios de exploração intensiva de pastagens. In: SIMPÓSIO SOBRE MANEJO DE PASTAGENS: PRODUÇÃO ANIMAL A PASTO, 8., 1996, Piracicaba. **Anais...** Piracicaba:FEALQ, 1996b. p. 275-301.

NABINGER, C.; MARASCHIN, G. E.; MORAES, A. Pasture related problems in beef cattle production in southern Brazil. In: GRASSLAND ECOPHYIOLOGY AND GRAZING ECOLOGY, 1999, Curitiba. **Proceedings...** Curitiba: UFPR, 1999. p.232-236.

NABINGER, C.; MORAES, A.; MARASCHIN, G.E. Campos in southern Brazil In: LEMAIRE, G.; HODGSON, J.; MORAES, A. et al. (Eds.) **Grassland Ecophysiology and Grazing Ecology**. Wallingford: CABI Publishing, 2000. p.355-376.

NABINGER, C.; PONTES, L. S. Morfogênese de plantas forrageiras e estrutura do pasto. In: MATTOS, W.R.S. (Org.). **A produção animal na visão dos brasileiros**. Piracicaba, SP: [sn], 2001. p. 755-771.

NUGENT III, R.A.; NOTTER, D.R.; McCLURE, W.H. Effects of ram preexposure and ram breed on fertility of ewes in summer breeding. **Journal of Animal Science**, Savoy, v.66, p.1622-1626, 1988.

PALLARÉS, O. R.; PIZZIO, R. M. Experiencias de fertilización de pasturas naturales en el centro-sur de Corrientes. In. REUNIÓN DEL GRUPO TÉCNICO REGIONAL DEL CONE SUR EN MEJORAMIENTO Y UTILIZACIÓN DE LOS

RECURSOS FORRAJEROS DEL ÁREA TROPICAL Y SUBTROPICAL: GRUPO CAMPOS, 14., 1994, Termas de Arapey. **Anais...** Montevideo:INIA, 1998. p.109-118. (Série Técnica 94),

PAVAN, M. A.; PARRA, M. S. Instruções para melhor uso da uréia como fertilizante. **IAPAR - Informe de Pesquisa**, Londrina, n. 116, 1995. 8 p.

POWELL, M.R.; KAPS, M.; LAMBERSON, W.R. et al. Use of melengestrol acetate-based treatments to induce and synchronize estrus in seasonally anestrous ewes. **Journal of Animal Science**, Savoy, v.74, p.2292-2302, 1996.

POWER, J. F. Fate of fertilizer nitrogen applied to a Northern Great Plains rangeland ecosystem. **Journal of Range Management**, Lakewood, v. 25, p.367-371, 1972.

PRACHE, S.; BECHET, G.; THERERIEZ, M. Effects of concentrate supplementation and herbage allowance on the performance of grazing suckling lambs. **Grass and Forage Science**, Oxford, v.45, p. 423-429, 1990.

QUIRKE, J.F.; STABENFELDT, G.H.; BRADFORD, G.E. Year and season effects on oestrus and ovarian activity in ewes of different breeds and crosses. **Animal Reproduction Science**, Amsterdam, v.16, p.39-52, 1988.

RISSO, E.J.; BERRETA; LEVRATTO, J. et al. Efecto de la fertilización de N y P y la carga animal sobre la productividad de una Pastura Natural. In: SEMINÁRIO DE ACTUALIZACION EM TECNOLOGIAS PARA BASALTO, 1998, Tacuarembo. **Anais...** Montevideo: INIA, 1998. p.147-152. (Serie Técnica, 102).

RODA, D.S.; SANTOS, L.E.; CUNHA, E.A. et al. Performance of ewes mated at intervals of eight months. **Boletim da Industria Animal**, Nova Odessa, v.50, p.49-54, 1993.

SÁ, C. O.; SA, J. L. **Idade à primeira cria de borregas**. 2000. Disponível em: <http://www.crisa.vet.br/exten_2001/borrega.htm>. Acesso em: 16 ago. 2004.

SALISBURY, F B. **Plant physiology**. Belmont: Wadsworth Publishing Company, 1992. 682p.

SANDERSON, M.A.; STAIR, D.W.; HUSSEY, M.A. Physiological and morphological responses of perennial forages to stress. **Advances in Agronomy**, San Diego, v59, p.171-224, 1997.

SANTOS, D.T.; CARVALHO, P.C.F.; FREITAS, F.K. et al. Adubação de pastagem natural no Sul do Brasil: 1. Efeito do Nitrogênio sobre a produção primária. In: GRASSLAND ECOPHYSIOLOGY AND GRAZING ECOLOGY, 2., 2004, Curitiba. **Proceedings...** Curitiba:UFPR: Macromedia, [2004]. CD-ROM.

SARTINI, H.J. Estudo comparativo entre quatro espécies de gramíneas de clima tropical com e sem fertilização nitrogenada, na produção de carne de bovinos. **Boletim da Indústria Animal**, Nova Odessa, v. 32, n. 1, p. 57-110, 1975.

SETELICH, E.A. **Potencial produtivo de uma pastagem natural do Rio Grande do Sul, submetida a distintas ofertas de forragem**. 1994. 169 f. Dissertação (Mestrado)-Programa de Pós-Graduação em Zootecnia, Faculdade de Agronomia, Universidade Federal do Rio Grande do Sul, Porto Alegre, 1994.

SMETHAM, M.L. Manejo del pastoreo. In: LANGER, R.H.M. **Las pasturas y sus plantas**. Montevideo: Hemisferio Sur, 1981.c.7. 23-38 p.

SOARES, A.B.; CARVALHO, P.C.F.; NABINGER, C. et al. Produção animal e de forragem em pastagem nativa submetida a distintas ofertas de forragem. **Ciência Rural**, Santa Maria, v.35, n.5, p.1148-1154, 2005.

SWEENEY, T.; CALLAGHAN, D. Breeding season and ovulation rate in ewes treated with long days in spring followed by a melatonin implant and exposure to a ram. **Animal Science**, Peebles, v.62, p.507-512, 1996.

TEITZEL, J. K.; GILBER, M. A.; COWAN, R. T. Sustaining productive pastures in the tropics 6. Nitrogen fertilized grass pastures. **Tropical Grasslands**, St. Lucia, v. 25, p. 111-118, 1991.

TOTHIL, J.C. **Regional course on measurement of grassland vegetation**. Santiago: FAO, 1979. 76 p.

VAN SOEST, P.J. **Nutritional ecology of the ruminant**. 2ed. New York: Cornell University Press, 1994. 476 p.

WHEATON, J.E.; POHL, H.A.; WINDELS, H.F. Effects of melatonin and progesterone administered to ewes in spring and summer. **Journal of Animal Science**, Savoy, v.68, p.923-930, 1990.

ZAMALVIDE, J. Fertilización de pasturas. In. REUNIÓN DEL GRUPO TÉCNICO REGIONAL DEL CONE SUR EN MEJORAMIENTO Y UTILIZACIÓN DE LOS RECURSOS FORRAJEROS DEL ÁREA TROPICAL Y SUBTROPICAL: GRUPO CAMPOS, 14., 1994, Termas de Arapéy. **Anais...** Montevideo:INIA, 1998. p.97-104. (Série Técnica 94).

6. APÊNDICES

Apêndice 1. Normas em que foram escritos os Capítulos II e III desta Dissertação

Normas para preparação de trabalhos científicos submetidos à publicação na Revista Brasileira de Zootecnia

A fim de prestigiar a comunidade científica nacional, é importante que os autores esgotem as informações disponíveis na literatura brasileira, principalmente aquelas já publicadas na Revista Brasileira de Zootecnia.

Instruções gerais

Os artigos científicos devem ser originais e submetidos em um arquivo doc identificado, juntamente com uma carta de encaminhamento, que deve conter e-mail, endereço e telefone do autor responsável e área selecionada de publicação (Aqüicultura, Forragicultura, Melhoramento, Genética e Reprodução, Monogástricos, Produção Animal e Ruminantes). Deve-se evitar o uso de termos regionais ao longo do texto. O pagamento da taxa de tramitação - pré-requisito para emissão do número de protocolo -, no valor de R\$25,00 (vinte e cinco reais), deverá ser efetuado na conta da Sociedade Brasileira de Zootecnia (ag: 1226-2; conta: 90854-1; Banco do Brasil). O comprovante poderá ser encaminhado por fax (31-38992270) ou endereço eletrônico (secretariarbz@ufv.br).

Uma vez aprovado o artigo, **no ato da publicação**, será cobrada uma taxa de publicação, que no ano de **2006** será de R\$150,00 (cento e cinqüenta reais para os artigos completos em inglês e de R\$75,00 (setenta e cinco reais) para os demais, além do pagamento de páginas editadas excedentes (a partir da nona). O Editor Chefe e o Conselho Científico, em casos especiais, têm o direito de decidir sobre a publicação do artigo.

Língua: português ou inglês

Formatação de texto: times new roman 12, espaço duplo (exceto Resumo, Abstract e Tabelas), margens superior, inferior, esquerda e direita de 2,5; 2,5; 3,5; e 2,5 cm, respectivamente. Pode conter até 25 páginas, numeradas sequencialmente em algarismos arábicos. As páginas devem apresentar linhas numeradas.

Estrutura do artigo

Geral: o artigo deve ser dividido em seções com cabeçalho centralizado, em negrito, na seguinte ordem: Resumo, Abstract, Introdução, Material e Métodos, Resultados e Discussão, Conclusões, Agradecimento e Literatura Citada. Cabeçalhos de 3^a ordem devem ser digitados em caixa baixa, parágrafo único e itálico. Os parágrafos devem iniciar a 1,0 cm da margem esquerda.

Título: deve ser preciso e informativo. Quinze palavras são o ideal e 25, o máximo. Digitá-lo em negrito e centralizado, segundo o exemplo: Valor nutritivo da cana-de-açúcar para bovinos em crescimento. Quando necessário, indicar a entidade financiadora da pesquisa, como primeira chamada de rodapé numerada.

Autores

Recomenda-se listar até **seis autores**. A primeira letra de cada nome/sobrenome deve ser maiúscula (Ex.: Anacleto José Benevenutto), centralizado e em negrito. Não listá-los apenas com as iniciais e o último sobrenome (Ex.: A.J. Benevenutto). Outras pessoas que auxiliaram na condução do experimento e/ou preparação/avaliação do manuscrito devem ser mencionadas em **Agradecimento**.

Digitá-los separados por vírgula, com chamadas de rodapé numeradas e em sobreescrito, que indicarão o vínculo profissional dos autores. Informar somente o endereço eletrônico do responsável pelo artigo.

Ato da publicação: todos os autores devem estar em dia com a anuidade da SBZ, exceto co-autores que não militam na área zootécnica, como estatísticos, químicos, biólogos, entre outros, desde que não sejam o primeiro autor.

Processo de tramitação: basta que um autor esteja quite com a anuidade do ano corrente.

Resumo: deve conter entre 150 e 300 palavras. O texto deve ser justificado e digitado em parágrafo único e espaço 1,5, começando por RESUMO, iniciado a 1,0 cm da margem esquerda.

Abstract: deve aparecer obrigatoriamente na segunda página. O texto deve ser justificado e digitado em espaço 1,5, começando por ABSTRACT, em parágrafo único, iniciado a 1,0 cm da margem esquerda. Deve ser redigido em inglês.

Palavras-chave e Key Words: apresentar até seis (6) palavras-chave e Key Words imediatamente após o RESUMO e ABSTRACT, em ordem alfabética. Devem ser elaboradas de modo que o trabalho seja rapidamente resgatado nas pesquisas bibliográficas. Não podem ser retiradas do título do artigo. Digitá-las em letras minúsculas, com alinhamento justificado e separado por vírgulas. Não devem conter ponto final.

Tabelas e Figuras: são expressas em forma bilíngüe (português e inglês), em que o correspondente expresso em inglês deve ser digitado em tamanho menor e italizado. Devem ser numeradas seqüencialmente em algarismos arábicos e apresentadas logo após a chamada no texto. O título de tabelas e figuras deve ser curto e informativo, devendo-se adotar as abreviaturas divulgadas oficialmente pela RBZ.

Citações no texto: as citações de autores no texto são em letras minúsculas, seguidas do ano de publicação. Quando houver dois autores, usar & (e comercial) e, no caso de três ou mais autores, citar apenas o sobrenome do primeiro, seguido de et al. **Estilo RBZ:** a equipe da RBZ, ao longo do tempo, vai

Apêndice 1. (continuação) Normas em que foram escritos os Capítulos II e III desta Dissertação

divulgar abreviaturas, dicas de redação, unidades e termos técnicos usualmente adotados, no intuito de uniformizar o texto científico.

Literatura Citada

Geral: é normalizada segundo a Associação Brasileira de Normas Técnicas – ABNT (NBR 6023), à exceção das exigências de local dos periódicos. Em obras com dois e três autores, mencionam-se os autores separados por ponto e vírgula e naquelas com mais de três autores, os três primeiros vêm seguidos de et al. O termo et al. não deve ser italicizado e nem precedido de vírgula. Deve ser redigida em página separada e ordenada alfabeticamente pelo(s) sobrenome(s) do(s) autor(es). Os destaques deverão ser em negrito e os nomes científicos, em itálico. Indica-se o(s) autor(es) com entrada pelo último sobrenome seguido do(s) prenome(s) abreviado (s), exceto para nomes de origem espanhola, em que entram os dois últimos sobrenomes. Digitá-las em espaço simples e formatá-las segundo as seguintes instruções: no menu FORMATAR, escolha a opção PARÁGRAFO... ESPAÇAMENTO...ANTES...6 pts.

Obras de responsabilidade de uma entidade coletiva (a entidade é tida como autora)

ASSOCIATION OF OFFICIAL ANALITICAL CHEMISTS - AOAC. **Official methods of analysis.** 12.ed. Washington, D.C.: 1975. 1094p.

Livros

NEWMANN, A.L.; SNAPP, R.R. **Beef cattle.** 7.ed. New York: John Wiley, 1997. 883p.

Teses e Dissertações

Deve-se evitar a citação de teses, procurando referenciar os artigos publicados na íntegra em periódicos indexados.

CASTRO, F.B. **Avaliação do processo de digestão do bagaço de cana-de-açúcar auto-hidrolisado em bovinos.** Piracicaba: Escola Superior de Agricultura Luiz de Queiroz, 1989. 123p. Dissertação (Mestrado em Zootecnia) - Escola Superior de Agricultura Luiz de Queiroz, 1989.

Boletins e Relatórios

BOWMAN, V.A. **Palatability of animal, vegetable and blended fats by equine.** (S.L.): Virgínia Polytechnic Institute and State University, 1979. p.133-141 (Research division report, 175).

Capítulos de livro

LINDHAL, I.L. Nutrición y alimentación de las cabras. In: CHURCH, D.C. (Ed.) **Fisiología digestiva y nutrición de los ruminantes.** 3.ed. Zaragoza: Acribia, 1974. p.425-434.

Periódicos

RESTLE, J.; VAZ, R.Z.; ALVES FILHO, D.C. et al. Desempenho de vacas Charolês e Nelore desterneiradas aos três ou sete meses. **Revista Brasileira de Zootecnia**, v.30, n.2, p.499-507, 2001.

Congressos, reuniões, seminários etc

CASACCIA, J.L.; PIRES, C.C.; RESTLE, J. Confinamento de bovinos inteiros ou castrados de diferentes grupos genéticos. In: REUNIÃO ANUAL DA SOCIEDADE BRASILEIRA DE ZOOTECNIA, 30., 1993, Rio de Janeiro. **Anais...** Rio de Janeiro: Sociedade Brasileira de Zootecnia, 1993. p.468.

Citar o mínimo de trabalhos publicados em forma de resumo, procurando sempre referenciar os artigos publicados na íntegra em periódicos indexados.

Citação de trabalhos publicados em CD ROM

EUCLIDES, V.P.B.; MACEDO, M.C.M.; OLIVEIRA, M.P. Avaliação de cultivares de *Panicum maximum* em pastojo. In: REUNIÃO ANUAL DA SOCIEDADE BRASILEIRA DE ZOOTECNIA, 36., 1999, Porto Alegre. **Anais...** São Paulo: Sociedade Brasileira de Zootecnia/Gmosis, [1999] 17par. CD-ROM. Forragicultura. Avaliação com animais. FOR-020.

Na citação de material bibliográfico obtido via internet, o autor deve procurar sempre usar artigos assinados, sendo também sua função decidir quais fontes têm realmente credibilidade e confiabilidade.

Citação de trabalhos em meios eletrônicos

Usenet News

Autor, < e-mail do autor, "Assunto", "Data da publicação", <newsgroup (data em que foi acessado)

E.mail

Autor, < e-mail do autor, "Assunto", Data de postagem, e-mail pessoal, (data da leitura)

Web Site

Autor [se conhecido], "Título"(título principal, se aplicável), última data da revisão [se conhecida], < URL (data em que foi acessado)

FTP

Autor [se conhecido] "Título do documento"(Data da publicação) [se disponível], Endereço FTP (data em que foi acessado)

Apêndice 2. Entrada de dados para análise estatística das variáveis massa de forragem inicial (MFI), massa de forragem final (MFF),massa de forragem (MF), massa de forragem verde (MFV), altura do pasto (ALT), taxa de acúmulo diário de MS (TAD) e taxa de desaparecimento diário de MS (TDD)

DOSE ¹	PER ²	BL ³	MFI	MFF	MF	MFV	ALT	TAD	TDD
1	1	1	3244,0	2959,6	3101,81	1085,63	8,2	-9,66	20,29
1	1	2	3754,2	2619,2	3186,74	1497,77	15,1	-19,59	12,11
2	1	1	4051,5	3751,9	3901,71	1482,65	10,2	-50,89	6,01
2	1	2	3570,9	2625,1	3098,02	1177,25	10,9	-12,62	15,71
3	1	1	4373,5	3716,7	4045,11	1618,04	11,7	-10,65	17,07
3	1	2	4348,7	3165,0	3756,88	1314,91	10,6	-3,20	20,98
1	2	1	2959,6	2693,9	2826,77	537,09	7,7	5,82	-0,50
1	2	2	2619,2	3157,5	2888,39	866,52	8,7	23,06	33,53
2	2	1	3751,9	3162,8	3457,38	760,62	8,4	-28,53	6,01
2	2	2	2625,1	2931,0	2778,05	583,39	8,5	16,50	25,18
3	2	1	3716,7	3115,4	3416,07	888,18	8,2	-30,07	11,16
3	2	2	3165,0	3468,4	3316,72	597,01	10,0	-15,49	27,61
1	3	1	2693,9	2303,7	2498,81	649,69	7,2	-1,98	34,03
1	3	2	3157,5	2238,8	2698,16	782,47	6,9	-5,53	16,59
2	3	1	3162,8	3005,8	3084,33	925,30	10,2	23,79	37,73
2	3	2	2931,0	2303,7	2617,36	942,25	7,5	-9,89	0,18
3	3	1	3115,4	2843,5	2979,45	923,63	10,1	23,01	40,67
3	3	2	3468,4	2320,0	2894,17	694,60	8,3	-3,50	45,72
1	4	1	2303,7	1912,4	2108,07	885,39	5,3	15,27	32,14
1	4	2	2238,8	1997,1	2117,96	931,90	5,5	0,29	-2,13
2	4	1	3005,8	2787,0	2896,44	1477,18	8,7	31,31	59,82
2	4	2	2303,7	2314,0	2308,85	1316,04	7,7	17,46	47,94
3	4	1	2843,5	2990,6	2917,03	1662,71	9,2	-6,24	21,36
3	4	2	2320,0	2550,5	2435,23	1241,97	8,5	20,53	24,35
1	5	1	1912,4	1762,6	1837,50	773,49	5,2	20,73	24,52
1	5	2	1997,1	1548,3	1772,70	851,75	4,7	3,74	25,93
2	5	1	2787,0	2130,0	2458,50	1261,86	5,3	52,01	46,15
2	5	2	2314,0	1538,1	1926,02	1396,59	4,5	21,18	17,36
3	5	1	2990,6	2211,6	2601,08	1384,12	5,4	52,07	38,34
3	5	2	2550,5	1640,1	2095,31	1569,28	6,2	8,42	22,49

¹ Doses: 1, 2 e 3 - zero, 100 e 200 kg/ha de N respectivamente. ²

Períodos de avaliação. ³ Bloco.

Apêndice 3. Entrada de dados para análise estatística das variáveis material morto (MM), teor de MS (%MS), oferta de forragem (OF), oferta de forragem verde (OFV), densidade volumétrica (DV) e densidade volumétrica verde (DVV)

DOSE ¹	PER ²	BL ³	MM	%MS	OF	OFV	DV	DVV
1	1	1	0,65	0,76	19,8	7,0	360,93	44,02
1	1	2	0,53	0,75	14,5	6,8	173,46	11,49
2	1	1	0,62	0,77	11,9	4,5	367,84	36,06
2	1	2	0,62	0,77	15,4	5,9	240,83	22,09
3	1	1	0,60	0,61	16,4	6,6	317,67	27,15
3	1	2	0,65	0,78	16,5	5,9	298,59	28,17
1	2	1	0,81	0,81	16,2	3,0	349,86	45,44
1	2	2	0,70	0,76	18,5	5,6	362,94	41,72
2	2	1	0,78	0,80	12,1	2,6	376,53	44,82
2	2	2	0,79	0,78	17,4	3,7	344,82	40,57
3	2	1	0,74	0,66	10,7	2,8	379,93	46,33
3	2	2	0,82	0,79	12,4	2,2	346,84	34,68
1	3	1	0,74	0,65	12,4	3,2	319,96	44,44
1	3	2	0,71	0,61	11,5	3,3	324,46	47,02
2	3	1	0,70	0,57	16,8	5,0	294,69	28,89
2	3	2	0,64	0,57	9,8	3,6	307,16	40,95
3	3	1	0,69	0,55	13,7	4,3	281,53	27,87
3	3	2	0,76	0,59	9,7	2,3	279,51	33,68
1	4	1	0,58	0,47	14,1	6,0	360,84	68,08
1	4	2	0,56	0,46	9,7	4,2	363,12	66,02
2	4	1	0,49	0,37	15,6	8,0	320,35	36,82
2	4	2	0,43	0,36	15,4	8,7	300,52	39,03
3	4	1	0,43	0,38	11,5	6,6	325,06	35,33
3	4	2	0,49	0,37	15,9	8,2	300,06	35,30
1	5	1	0,58	0,42	15,7	7,3	338,96	65,18
1	5	2	0,52	0,40	12,9	6,3	329,42	70,09
2	5	1	0,49	0,36	17,1	9,7	401,88	75,83
2	5	2	0,27	0,33	13,4	8,9	341,79	75,95
3	5	1	0,47	0,34	16,2	10,6	409,56	75,84
3	5	2	0,25	0,31	10,9	7,8	264,53	42,67

¹ Doses: 1, 2 e 3 - zero, 100 e 200 kg/ha de N respectivamente. ² Períodos de avaliação. ³ Bloco.

Apêndice 4. Entrada de dados para análise estatística das variáveis carga animal (CA), lotação (LOT), ganho médio diário (GMD), condição corporal (CC), ganho PV por área (GPA), desaparecimento em %PV (DPV) e peso médio (PM)

DOSE ¹	PER ²	BL ³	CA	LOT	GMD	CC	GPA	DPV	PM
1	1	1	531,39	14	0,066	2,25	24,69	3,82	39,32
1	1	2	676,96	18	0,027	2,58	12,78	1,79	38,14
2	1	1	788,02	21	-0,012	2,34	-6,44	0,76	39,16
2	1	2	664,59	17	0,025	2,28	11,94	2,36	38,34
3	1	1	850,25	22	-0,033	2,31	-19,75	2,01	38,17
3	1	2	821,60	21	0,052	2,50	30,42	2,55	39,21
1	2	1	657,73	17	0,003	2,14	1,22	-0,08	40,25
1	2	2	681,30	18	-0,008	2,25	-3,93	4,92	38,39
2	2	1	787,59	20	0,016	2,06	8,93	0,76	39,22
2	2	2	666,51	17	-0,013	2,03	-6,48	3,78	38,50
3	2	1	858,29	22	0,058	2,22	35,85	1,30	38,53
3	2	2	828,88	21	-0,027	2,08	-16,12	3,33	39,54
1	3	1	701,00	18	0,018	2,04	9,14	4,86	40,54
1	3	2	792,17	21	0,004	2,03	2,30	2,09	38,33
2	3	1	797,20	21	0,022	2,03	13,00	4,73	39,75
2	3	2	848,85	22	0,000	1,88	0,00	0,02	38,31
3	3	1	941,83	25	-0,004	2,00	-2,73	4,32	39,28
3	3	2	1027,31	27	-0,030	1,79	-22,33	4,45	38,75
1	4	1	660,80	17	0,045	2,04	20,04	4,86	41,39
1	4	2	810,00	20	0,043	2,31	23,61	-0,26	38,97
2	4	1	885,93	22	0,074	2,28	44,26	6,75	41,06
2	4	2	670,35	17	0,083	2,09	37,68	7,15	39,44
3	4	1	884,90	22	0,037	2,14	22,10	2,41	39,72
3	4	2	697,21	17	0,117	2,08	55,15	3,49	39,92
1	5	1	688,34	17	-0,078	1,96	-28,21	3,56	41,18
1	5	2	684,93	17	-0,085	2,25	-30,38	3,79	38,67
2	5	1	988,18	25	-0,065	2,16	-33,90	4,67	41,38
2	5	2	842,77	21	-0,083	1,91	-36,79	2,06	39,69
3	5	1	1082,89	27	-0,058	2,06	-33,02	3,54	39,61
3	5	2	993,53	25	-0,099	2,25	-51,64	2,26	40,46

¹ Doses: 1, 2 e 3 - zero, 100 e 200 kg/ha de N respectivamente. ² Períodos de avaliação. ³ Bloco.

Apêndice 5. Entrada de dados para análise estatística das variáveis reprodutivas, 1º Sincronização (Sinc 1), Sincronização Total (Sinc Total) e Prenhez

DOSE ¹	BL ²	³	Sinc 1	Sinc Total	Prenhez
			Número de animais		
1	1	0	0	0	2
1	1	1	7	7	5
1	2	0	1	1	5
1	2	1	6	6	4
2	1	0	2	0	4
2	1	1	4	6	4
2	2	0	1	1	5
2	2	1	6	6	3
3	1	0	0	0	5
3	1	1	9	9	4
3	2	0	0	0	1
3	2	1	3	3	5

¹ Doses: 1, 2 e 3 - zero, 100 e 200 kg/ha de N respectivamente. ² Bloco, ³: 0=não montada/vazia e 1=montada/prenhe

Apêndice 6. Entrada de dados para análise estatística da porcentagem de carneiros

DOSE ¹	BL ²	% Carneiro
1	1	10,0
1	2	11,1
2	1	7,7
2	2	10,0
3	1	10,0
3	2	11,1

¹ Doses: 1, 2 e 3 - zero, 100 e 200 kg/ha de N respectivamente. ² Bloco

Apêndice 7. Saída do SAS referente à variável massa de forragem (MF) no período de pré-encarneiramento

```
*****
          The GLM Procedure
          Class Level Information
          Class      Levels   Values
          DOSE       3        1 2 3
          PER        4        1 2 3 4
          BL         2        1 2
Number of observations 24
*****
          The GLM Procedure
Dependent Variable: MF
          Sum of
          Source DF      Squares   Mean Square   F Value   Pr > F
          Model 12      5366831.752   447235.979   7.97     0.0008
          Error  11      617076.271    56097.843
          Corrected Total 23      5983908.023

          R-Square   Coeff Var      Root MSE   MF Mean
          0.896877   7.969207     236.8498   2972.063

          Source DF      Type III SS   Mean Square   F Value   Pr > F
          DOSE   2       1199012.070   599506.035   10.69    0.0026
          PER    3       3626173.617   1208724.539   21.55    <.0001
          BL     1       409888.275   409888.275   7.31     0.0205
          DOSE*PER 6       131757.790   21959.632   0.39     0.8696

          The REG Procedure
          Model: MODEL1
          Analysis of Variance
          Sum of
          Source DF      Squares   Mean Square   F Value   Pr > F
          Model  1       1173945    1173945    5.37     0.0302
          Error  22      4809963    218635
          Corrected Total 23      5983908

          Root MSE   R-Square   Dependent Mean   Adj R-Sq
          467.58387 0.1962    2972.06292 0.1596
          Coeff Var  15.73264

          Parameter Estimates
          Standard
          Variable DF      Parameter Estimate   Error   t value   Pr > |t|   Type I SS
          Intercept 1      2430.31917   252.52415   9.62     <.0001   211995792
          DOSE      1      270.87188   116.89597   2.32     0.0302   1173945

          Model: MODEL2
          Analysis of Variance
          Sum of
          Source DF      Squares   Mean Square   F Value   Pr > F
          Model  2       1199012   599506    2.63     0.0956
          Error  21      4784896   227852
          Corrected Total 23      5983908
```

Apêndice 7. (continuação) Saída do SAS referente à variável massa de forragem (MF) no período de pré-encarneiramento

Root MSE Dependent Mean Coeff Var	477.33865 2972.06292 16.06085	R-Square Adj R-Sq	0.2004 0.1242			
Parameter Estimates						
Variable Intercept DOSE DOSE2	DF 1 1 1	Parameter Estimate 2201.79625 545.09938 -68.55688	Standard Error 735.62827 835.34264 206.69370	t value 2.99 0.65 -0.33	Pr > t 0.0069 0.5211 0.7434	Type I SS 211995792 1173945 25067
***** ***** 						
The REG Procedure Model: MODEL1 Analysis of Variance						
Source Model Error Corrected Total	DF 1 22 23	Sum of Squares 3618837 2365071 5983908	Mean Square 3618837 107503	F Value 33.66	Pr > F <.0001	
Root MSE Dependent Mean Coeff Var	327.87685 2972.06292 11.03196	R-Square Adj R-Sq	0.6048 0.5868			
***** ***** 						
Variable Intercept dia	DF 1 1	Parameter Estimate 3852.88607 -12.67371	Standard Error 165.91300 2.18439	t value 23.22 -5.80	Pr > t <.0001 <.0001	
Model: MODEL2 Analysis of Variance						
Source Model Error Corrected Total	DF 2 21 23	Sum of Squares 3621971 2361937 5983908	Mean Square 1810985 112473	F Value 16.10	Pr > F <.0001	
Root MSE Dependent Mean Coeff Var	335.37025 2972.06292 11.28409	R-Square Adj R-Sq	0.6053 0.5677			
***** ***** 						
Variable Intercept dia dia2	DF 1 1 1	Parameter Estimate 3911.52670 -14.79537 0.01540	Standard Error 390.15093 12.90546 0.09223	t value 10.03 -1.15 0.17	Pr > t <.0001 0.2645 0.8690	

Apêndice 7. (continuação) Saída do SAS referente à variável massa de forragem (MF) no período de pré-encarneiramento

Model: MODEL3					
Analysis of Variance					
Source	DF	Sum of Squares	Mean Square	F Value	Pr > F
Model	3	3626174	1208725	10.25	0.0003
Error	20	2357734	117887		
Corrected Total	23	5983908			
Root MSE		343.34636	R-Square	0.6060	
Dependent Mean		2972.06292	Adj R-Sq	0.5469	
Coeff Var		11.55246			
Parameter Estimates					
variable	DF	Parameter Estimate	Standard Error	t value	Pr > t
Intercept	1	4124.29689	1195.56247	3.45	0.0025
dia	1	-26.96884	65.81258	-0.41	0.6863
dia2	1	0.21274	1.04942	0.20	0.8414
dia3	1	-0.00095262	0.00505	-0.19	0.8521

Apêndice 8. Saída do SAS referente à variável massa de forragem inicial (MFI) no período de pré-encarneiramento

```
*****
          The GLM Procedure
          Class Level Information
          Class      Levels   Values
          DOSE       3        1 2 3
          PER        4        1 2 3 4
          BLOCO     2        1 2
Number of observations 24
*****
          The GLM Procedure
Dependent Variable: MFI
          Sum of
          Source    DF      Squares   Mean Square   F Value   Pr > F
          Model    12      7634343.755   636195.313   5.13      0.0054
          Error    11      1364924.965   124084.088
          Corrected Total 23      8999268.720

          R-Square   Coeff Var      Root MSE   mfi Mean
          0.848329   11.16429      352.2557   3155.200

          Source    DF      Type III SS   Mean Square   F Value   Pr > F
          DOSE      2       1204055.482   602027.741   4.85      0.0309
          PER       3       5827577.597   1942525.866   15.65     0.0003
          BLOCO     1       308221.335   308221.335   2.48      0.1433
          DOSE*PER  6       294489.341   49081.557   0.40      0.8670
*****
          The REG Procedure
          Model: MODEL1
          Analysis of Variance

          Sum of
          Source    DF      Squares   Mean Square   F Value   Pr > F
          Model    1       1199189   1199189   3.38      0.0794
          Error    22      7800079   354549
          Corrected Total 23      8999269

          Root MSE   R-Square   Dependent Mean   Adj R-Sq
          595.44023   0.1333   3155.20000   0.0939
          Coeff Var   18.87171

          Parameter Estimates
          Standard
          Variable  DF   Parameter Estimate   Error   t value   Pr > |t|   Type I SS
          Intercept 1   2607.66250   321.57448   8.11      <.0001   238926889
          DOSE      1   273.76875   148.86006   1.84      0.0794   1199189

          Model: MODEL2
          Analysis of Variance
          Sum of
          Source    DF      Squares   Mean Square   F Value   Pr > F
          Model    2       1204055   602028   1.62      0.2213
          Error    21      7795213   371201
          Corrected Total 23      8999269
```

Apêndice 8. (continuação) Saída do SAS referente à variável massa de forragem inicial (MFI) no período de pré-encarneiramento

Root MSE	609.26237	R-Square	0.1338			
Dependent Mean	3155.20000	Adj R-Sq	0.0513			
Coeff Var	19.30979					
Parameter Estimates						
		Standard				
Variable	DF	Parameter Estimate	Error	t value	Pr > t	Type I SS
Intercept	1	2506.97500	938.93636	2.67	0.0143	238926889
DOSE	1	394.59375	1066.20914	0.37	0.7150	1199189
DOSE2	1	-30.20625	263.81834	-0.11	0.9099	4866.22688

Apêndice 9. Saída do SAS referente à variável massa de forragem final (MFF) no período de pré-encarneiramento

```
*****
          The GLM Procedure
          Class Level Information
          Class      Levels   Values
          DOSE       3        1 2 3
          PER        4        1 2 3 4
          BLOCO     2        1 2
Number of observations 24
*****
          The GLM Procedure
Dependent Variable: MFF
          Sum of
          Source DF      Squares   Mean Square   F Value   Pr > F
          Model 12      4535697.692   377974.808   3.73     0.0185
          Error   11      1113502.088   101227.463
          Corrected Total 23      5649199.780

          R-Square   Coeff Var      Root MSE   mff Mean
          0.802892    11.40818      318.1626    2788.900

          Source DF      Type III SS   Mean Square   F Value   Pr > F
          DOSE    2       1210070.527   605035.264   5.98     0.0175
          PER     3       2560474.637   853491.546   8.43     0.0034
          BLOCO   1       525992.042   525992.042   5.20     0.0436
          DOSE*PER 6       239160.486   39860.081   0.39     0.8681
*****
```

```
          The REG Procedure
          Model: MODEL1
          Analysis of Variance
          Sum of           Mean
          Source DF      Squares   Square   F Value   Pr > F
          Model 1       1149130   1149130   5.62     0.0270
          Error  22      4500069   204549
          Corrected Total 23      5649200

          Root MSE   R-Square   Dependent Mean   Adj R-Sq
          452.27050  0.2034    2788.90000  0.1672
          Coeff Var   16.21681

          Parameter Estimates
          Standard
          Variable DF      Parameter Estimate   Error   t Value   Pr > |t|   Type I SS
          Intercept 1       Estimate       2252.91250  244.25399  9.22     <.0001   186671117
          DOSE      1       Estimate       267.99375  113.06763  2.37     0.0270   1149130

          Model: MODEL2
          Dependent Variable: mff
          Analysis of Variance
          Sum of           Mean
          Source DF      Squares   Square   F Value   Pr > F
          Model  2       1210071   605035   2.86     0.0796
          Error  21
          Corrected Total 23      5649200
```

Apêndice 9. (continuação) Saída do SAS referente à variável massa de forragem final (MFF) no período de pré-encarneiramento

Root MSE	459.76854	R-Square	0.2142
Dependent Mean	2788.90000	Adj R-Sq	0.1394
Coeff Var	16.48566		
Parameter Estimates			
Variable	DF	Parameter Estimate	Standard Error
Intercept	1	1896.60000	708.55090
DOSE	1	695.56875	804.59494
DOSE2	1	-106.89375	199.08562

			Type I SS
			186671117
			1149130
			60940

Apêndice 10. Saída do SAS referente à variável massa de forragem verde (MFV) no período de pré-encarneiramento

```
*****
          The GLM Procedure
          Class Level Information
          Class      Levels   Values
          DOSE       3        1 2 3
          PER        4        1 2 3 4
          BL         2        1 2
Number of observations 24
*****
Dependent Variable: MFV
          Source      DF   Sum of Squares   Mean Square   F Value   Pr > F
          Model       12   2340027.865   195002.322   5.50      0.0041
          Error       11   390042.401   35458.400
          Corrected Total 23   2730070.266

          R-Square   Coeff Var    Root MSE   MFV Mean
          0.857131   18.19209   188.3040   1035.088

          Source      DF   Type III SS   Mean Square   F Value   Pr > F
          DOSE        2    209216.117   104608.059   2.95      0.0942
          PER         3    1858055.105   619351.702   17.47     0.0002
          BL          1    37612.084    37612.084   1.06      0.3252
          DOSE*PER    6    235144.559    39190.760   1.11      0.4179

          The REG Procedure
          Model: MODEL1
          Analysis of Variance
          Sum of      Mean
          Source      DF   Squares   Square
          Model       1    181583   181583
          Error       22   2548488   115840
          Corrected Total 23   2730070

          Root MSE   R-Square   Dependent Mean
          340.35328   0.0665
          Dependent Mean   1035.08750   Adj R-Sq   0.0241
          Coeff Var    32.88159

          Parameter Estimates
          Standard
          Variable   DF   Parameter Estimate   Error   t value   Pr > |t|   Type I SS
          Intercept  1    822.02500
          DOSE       1    106.53125   183.81178   4.47      0.0002   25713747
                                         85.08832   1.25      0.2237   181583

          Model: MODEL2
          Analysis of Variance
          Sum of      Mean
          Source      DF   Squares   Square
          Model       2    209216   104608
          Error       21   2520854   120041
          Corrected Total 23   2730070

          Root MSE   R-Square   Dependent Mean
          346.46886   0.0766
          Dependent Mean   1035.08750   Adj R-Sq   -0.0113
          Coeff Var    33.47242
```

Apêndice 10. (continuação) Saída do SAS referente à variável massa de forragem verde (MFV) no período de pré-encarneiramento

Parameter Estimates						
Variable	DF	Parameter Estimate	Standard Error	t value	Pr > t	Type I SS
Intercept	1	582.08750	533.94438	1.09	0.2880	25713747
DOSE	1	394.45625	606.32051	0.65	0.5224	181583
DOSE2	1	-71.98125	150.02542	-0.48	0.6363	27634

The REG Procedure						
Model: MODEL1						
Analysis of Variance						
Source	DF	Sum of Squares	Mean Square	F Value	Pr > F	
Model	1	19166	19166	0.16	0.6971	
Error	22	2710904	123223			
Corrected Total	23	2730070				

Root MSE	351.03124	R-Square	0.0070
Dependent Mean	1035.08750	Adj R-Sq	-0.0381
Coeff Var	33.91319		

Parameter Estimates						
Variable	DF	Parameter Estimate	Standard Error	t value	Pr > t	
Intercept	1	1099.18899	177.62964	6.19	<.0001	
dia	1	-0.92232	2.33865	-0.39	0.6971	

Model: MODEL2						
Analysis of Variance						
Source	DF	Sum of Squares	Mean Square	F Value	Pr > F	
Model	2	1811791	905895	20.72	<.0001	
Error	21	918280	43728			
Corrected Total	23	2730070				

Root MSE	209.11145	R-Square	0.6636
Dependent Mean	1035.08750	Adj R-Sq	0.6316
Coeff Var	20.20230		

Parameter Estimates						
Variable	DF	Parameter Estimate	Standard Error	t value	Pr > t	
Intercept	1	2501.71029	243.26853	10.28	<.0001	
dia	1	-51.66642	8.04687	-6.42	<.0001	
dia2	1	0.36821	0.05751	6.40	<.0001	

Model: MODEL3						
Analysis of Variance						
Source	DF	Sum of Squares	Mean Square	F Value	Pr > F	
Model	3	1858055	619352	14.21	<.0001	
Error	20	872015	43601			
Corrected Total	23	2730070				

Apêndice 10. (continuação) Saída do SAS referente à variável massa de forragem verde (MFV) no período de pré-encarneiramento

	Root MSE	208.80795	R-Square	0.6806	
	Dependent Mean	1035.08750	Adj R-Sq	0.6327	
	Coeff Var	20.17298			
Parameter Estimates					
Variable	DF	Parameter Estimate	Standard Error	t value	Pr > t
Intercept	1	3207.64269	727.08779	4.41	0.0003
dia	1	-92.05577	40.02427	-2.30	0.0323
dia2	1	1.02296	0.63821	1.60	0.1246
dia3	1	-0.00316	0.00307	-1.03	0.3153

Apêndice 11. Saída do SAS referente à variável altura do pasto (ALT) no período de pré-encarneiramento

```
*****
          The GLM Procedure
          Class Level Information
          Class      Levels   Values
          DOSE       3        1 2 3
          PER        4        1 2 3 4
          BL         2        1 2
Number of observations 24
*****
          The GLM Procedure
Dependent Variable: ALT
          Sum of
          Source    DF     Squares   Mean Square   F Value   Pr > F
          Model    12    65.07166667  5.42263889  1.84      0.1615
          Error    11    32.45458333  2.95041667
          Corrected Total 23    97.52625000

          R-Square   Coeff Var   Root MSE   ALT Mean
          0.667222  19.32689   1.717678   8.887500

          Source    DF     Type III SS   Mean Square   F Value   Pr > F
          DOSE      2      9.18750000  4.59375000  1.56      0.2539
          PER       3      43.82791667 14.60930556  4.95      0.0205
          BL        1      0.40041667  0.40041667  0.14      0.7196
          DOSE*PER  6      11.65583333  1.94263889  0.66      0.6846

          The REG Procedure
          Model: MODEL1
          Analysis of Variance
          Sum of
          Source    DF     Squares   Mean Square   F Value   Pr > F
          Model    1      9.00000   9.00000   2.24      0.1490
          Error    22     88.52625   4.02392
          Corrected Total 23     97.52625

          Root MSE   R-Square   Dependent Mean   Adj R-Sq
          2.00597   0.0923   8.88750   0.0510
          Coeff Var  22.57070

          Parameter Estimates
          Standard
          Variable  DF   Parameter Estimate   Error   t value   Pr > |t|   Type I SS
          Intercept 1   Parameter Estimate   Error   t value   Pr > |t|   Type I SS
          DOSE      1   7.38750   0.75000   1.08335   6.82      <.0001   1895.70375
                                         0.50149   1.50      0.1490   9.00000

          Model: MODEL2
          Analysis of Variance
          Sum of
          Source    DF     Squares   Mean Square   F Value   Pr > F
          Model    2      9.18750   4.59375   1.09      0.3538
          Error    21     88.33875   4.20661
          Corrected Total 23     97.52625
```

Apêndice 11. (continuação) Saída do SAS referente à variável altura do pasto (ALT) no período de pré-encarneiramento

Root MSE	2.05100	R-Square	0.0942
Dependent Mean	8.88750	Adj R-Sq	0.0079
Coeff Var	23.07737		
Parameter Estimates			
Variable	DF	Parameter Estimate	Standard Error
Intercept	1	6.76250	3.16081
DOSE	1	1.50000	3.58925
DOSE2	1	-0.18750	0.88811

The REG Procedure			
Model: MODEL1			
Analysis of Variance			
Source	DF	Sum of Squares	Mean Square
Model	1	37.31901	37.31901
Error	22	60.20724	2.73669
Corrected Total	23	97.52625	
Root MSE	1.65430	R-Square	0.3827
Dependent Mean	8.88750	Adj R-Sq	0.3546
Coeff Var	18.61373		
Parameter Estimates			
Variable	DF	Parameter Estimate	Standard Error
Intercept	1	11.71609	0.83711
dia	1	-0.04070	0.01102
Model: MODEL2			
Analysis of Variance			
Source	DF	Sum of Squares	Mean Square
Model	2	41.17297	20.58648
Error	21	56.35328	2.68349
Corrected Total	23	97.52625	
Root MSE	1.63814	R-Square	0.4222
Dependent Mean	8.88750	Adj R-Sq	0.3671
Coeff Var	18.43191		
Parameter Estimates			
Variable	DF	Parameter Estimate	Standard Error
Intercept	1	13.77254	1.90572
dia	1	-0.11510	0.06304
dia2	1	0.00053989	0.00045050

Apêndice 11. (continuação) Saída do SAS referente à variável altura do pasto (ALT) no período de pré-encarneiramento

Model: MODEL3						
Analysis of Variance						
Source	DF	Sum of Squares	Mean Square	F Value	Pr > F	
Model	3	43.82792	14.60931	5.44	0.0067	
Error	20	53.69833	2.68492			
Corrected Total	23	97.52625				
Root MSE		1.63857	R-Square	0.4494		
Dependent Mean		8.88750	Adj R-Sq	0.3668		
Coeff Var		18.43681				
Parameter Estimates						
variable	DF	Parameter Estimate	Standard Error	t value	Pr > t	
Intercept	1	19.12024	5.70565	3.35	0.0032	
dia	1	-0.42107	0.31408	-1.34	0.1951	
dia2	1	0.00550	0.00501	1.10	0.2852	
dia3	1	-0.00002394	0.00002408	-0.99	0.3319	

Apêndice 12. Saída do SAS referente à variável taxa de acúmulo diário (TAD) e TAD somada à constante (TADT) no período de pré-encarneiramento

```
*****
          The GLM Procedure
          Class Level Information
          Class      Levels   Values
DOSE           3       1 2 3
PER            4       1 2 3 4
BL             2       1 2
Number of observations 24
*****
          The GLM Procedure
Dependent Variable: TAD
          Sum of
Source      DF    Squares   Mean Square   F Value   Pr > F
Model        12   5847.126800   487.260567   1.54     0.2409
Error         11   3477.971933   316.179267
Corrected Total 23   9325.098733

          R-Square   Coeff Var   Root MSE   TAD Mean
          0.627031  -1385.566   17.78143  -1.283333

          Source      DF    Type III SS   Mean Square   F Value   Pr > F
DOSE          2      70.534758   35.267379   0.11     0.8955
PER           3      3134.118433   1044.706144   3.30     0.0613
BL            1      91.416067   91.416067   0.29     0.6015
DOSE*PER      6      2551.057542   425.176257   1.34     0.3167

          The REG Procedure
          Model: MODEL1
          Analysis of Variance
          Sum of
Source      DF    Squares   Mean Square   F Value   Pr > F
Model        1      69.26401   69.26401   0.16     0.6888
Error         22   9255.83473   420.71976
Corrected Total 23   9325.09873

          Root MSE   R-Square   Dependent Mean   Adj R-Sq
          20.51145   0.0074   -1.28333   -0.0377
          Coeff Var   -1598.29515

          Parameter Estimates
          Standard
Variable      DF   Parameter Estimate   Error   t value   Pr > |t|   Type I SS
Intercept     1   Parameter Estimate   2.87792   11.07745   0.26   0.7974   39.52667
DOSE          1   Parameter Estimate   -2.08062   5.12786   -0.41   0.6888   69.26401

          Model: MODEL2
          Analysis of Variance
          Sum of
Source      DF    Squares   Mean Square   F Value   Pr > F
Model        2      70.53476   35.26738   0.08     0.9234
Error         21   9254.56398   440.69352
Corrected Total 23   9325.09873
```

Apêndice 12. (continuação) Saída do SAS referente à variável taxa de acúmulo diário (TAD) e TAD somada à constante (TADT) no período de pré-encarneiramento

	Root MSE	20.99270	R-Square	0.0076
	Dependent Mean	-1.28333	Adj R-Sq	-0.0870
	Coeff Var	-1635.79493		
Parameter Estimates				
	Variable	DF	Parameter Estimate	Standard Error
	Intercept	1	4.50500	32.35193
	DOSE	1	-4.03312	36.73723
	DOSE2	1	0.48812	9.09011
The REG Procedure				
Model: MODEL1				
Analysis of Variance				
Source	DF	Sum of Squares	Mean Square	F Value
Model	1	3110.65321	3110.65321	11.01
Error	22	6214.44552	282.47480	
Corrected Total	23	9325.09873		
Parameter Estimates				
	Variable	DF	Parameter Estimate	Standard Error
	Intercept	1	-27.10772	8.50471
	dia	1	0.37157	0.11197
Model: MODEL2				
Analysis of Variance				
Source	DF	Sum of Squares	Mean Square	F Value
Model	2	3129.04421	1564.52211	5.30
Error	21	6196.05452	295.05022	
Corrected Total	23	9325.09873		
Parameter Estimates				
	Variable	DF	Parameter Estimate	Standard Error
	Intercept	1	-31.60001	19.98279
	dia	1	0.53411	0.66099
	dia2	1	-0.00118	0.00472

Apêndice 12. (continuação) Saída do SAS referente à variável taxa de acúmulo diário (TAD) e TAD somada à constante (TADT) no período de pré-encarneiramento

```

Model: MODEL3
Analysis of Variance
Source      DF      Sum of Squares      Mean Square      F Value      Pr > F
Model       3       3134.11843     1044.70614      3.37      0.0387
Error      20      6190.98030     309.54901
Corrected Total 23      9325.09873

Root MSE      17.59401      R-Square      0.3361
Dependent Mean -1.28333      Adj R-Sq      0.2365
Coeff Var    -1370.96144

Parameter Estimates
Variable      DF      Parameter Estimate      Standard Error      t value      Pr > |t|
Intercept     1      -38.99307      61.26389      -0.64      0.5317
dia          1      0.95710      3.37242      0.28      0.7795
dia2         1      -0.00804      0.05378      -0.15      0.8827
dia3         1      0.00003310      0.00025853      0.13      0.8994
*****
The GLM Procedure
Class Level Information
Class      Levels      Values
DOSE      3      1 2 3
PER       4      1 2 3 4
BL        2      1 2

Number of observations      24
*****
The GLM Procedure
Dependent Variable: TADT
Source      DF      Sum of Squares      Mean Square      F Value      Pr > F
Model       12      5847.126800     487.260567      1.54      0.2409
Error      11      3477.971933     316.179267
Corrected Total 23      9325.098733

R-Square      0.627031      Coeff Var      18.01259      Root MSE      17.78143      TAD Mean      98.71667

Source      DF      Type III SS      Mean Square      F Value      Pr > F
DOSE       2      70.534758      35.267379      0.11      0.8955
PER        3      3134.118433     1044.706144      3.30      0.0613
BL         1      91.416067      91.416067      0.29      0.6015
DOSE*PER   6      2551.057542     425.176257      1.34      0.3167

The REG Procedure
Model: MODEL1
Analysis of Variance
Source      DF      Sum of Squares      Mean Square      F Value      Pr > F
Model       1       69.26401      69.26401      0.16      0.6888
Error      22      9255.83473     420.71976
Corrected Total 23      9325.09873

```

Apêndice 12. (continuação) Saída do SAS referente à variável taxa de acúmulo diário (TAD) e TAD somada à constante (TADT) no período de pré-encarneiramento

Root MSE Dependent Mean Coeff Var	20.51145 98.71667 20.77811	R-Square Adj R-Sq	0.0074 -0.0377
Parameter Estimates			
Variable Intercept DOSE	DF 1 1	Parameter Estimate 102.87792 -2.08063	Standard Error 11.07745 5.12786
		t value 9.29 -0.41	Pr > t <.0001 0.6888
			Type I SS 233880 69.26401
Model: MODEL2 Analysis of Variance			
Source Model Error Corrected Total	DF 2 21 23	Sum of Squares 70.53476 9254.56397 9325.09873	Mean Square 35.26738 440.69352
			F Value 0.08
			Pr > F 0.9234
Root MSE Dependent Mean Coeff Var	20.99270 98.71667 21.26561	R-Square Adj R-Sq	0.0076 -0.0870
Parameter Estimates			
Variable Intercept DOSE DOSE2	DF 1 1 1	Parameter Estimate 104.50500 -4.03313 0.48813	Standard Error 32.35193 36.73723 9.09011
		t value 3.23 -0.11 0.05	Pr > t 0.0040 0.9136 0.9577
			Type I SS 233880 69.26401 1.27075
The REG Procedure Model: MODEL1 Analysis of Variance			
Source Model Error Corrected Total	DF 1 22 23	Sum of Squares 3110.65321 6214.44552 9325.09873	Mean Square 3110.65321 282.47480
			F Value 11.01
			Pr > F 0.0031
Root MSE Dependent Mean Coeff Var	16.80699 98.71667 17.02548	R-Square Adj R-Sq	0.3336 0.3033
Parameter Estimates			
Variable Intercept dia	DF 1 1	Parameter Estimate 72.89228 0.37157	Standard Error 8.50471 0.11197
		t value 8.57 3.32	Pr > t <.0001 0.0031

Apêndice 12. (continuação) Saída do SAS referente à variável taxa de acúmulo diário (TAD) e TAD somada à constante (TADT) no período de pré-encarneiramento

Model: MODEL2						
Analysis of Variance						
Source	DF	Sum of Squares	Mean Square	F Value	Pr > F	
Model	2	3129.04421	1564.52211	5.30	0.0137	
Error	21	6196.05452	295.05022			
Corrected Total	23	9325.09873				
Root MSE		17.17703	R-Square	0.3356		
Dependent Mean		98.71667	Adj R-Sq	0.2723		
Coeff Var		17.40033				
Parameter Estimates						
Variable	DF	Parameter Estimate	Standard Error	t value	Pr > t	
Intercept	1	68.39999	19.98279	3.42	0.0026	
dia	1	0.53411	0.66099	0.81	0.4281	
dia2	1	-0.00118	0.00472	-0.25	0.8053	
Model: MODEL3						
Analysis of Variance						
Source	DF	Sum of Squares	Mean Square	F Value	Pr > F	
Model	3	3134.11843	1044.70614	3.37	0.0387	
Error	20	6190.98030	309.54901			
Corrected Total	23	9325.09873				
Root MSE		17.59401	R-Square	0.3361		
Dependent Mean		98.71667	Adj R-Sq	0.2365		
Coeff Var		17.82273				
Parameter Estimates						
Variable	DF	Parameter Estimate	Standard Error	t value	Pr > t	
Intercept	1	61.00693	61.26389	1.00	0.3312	
dia	1	0.95710	3.37242	0.28	0.7795	
dia2	1	-0.00804	0.05378	-0.15	0.8827	
dia3	1	0.00003310	0.00025853	0.13	0.8994	

Apêndice 13. Saída do SAS referente à variável taxa de desaparecimento diário (TDD) no período de pré-encarneiramento

```
*****
          The GLM Procedure
          Class Level Information
          Class      Levels   Values
          DOSE       3        1 2 3
          PER        4        1 2 3 4
          BL         2        1 2
Number of observations 24
*****
          The GLM Procedure
Dependent Variable: TDD
          Sum of
          Source DF     Squares   Mean Square   F Value   Pr > F
          Model  12    3546.287217  295.523935   1.30      0.3365
          Error   11    2504.764383  227.705853
          Corrected Total 23    6051.051600

          R-Square   Coeff Var   Root MSE   TDD Mean
          0.586061   65.42348   15.08993   23.06500

          Source DF     Type III SS   Mean Square   F Value   Pr > F
          DOSE    2      284.026900  142.013450   0.62      0.5539
          PER     3      1126.166233  375.388744   1.65      0.2350
          BL      1      13.530017   13.530017   0.06      0.8119
          DOSE*PER 6      2122.564067  353.760678   1.55      0.2490

          The REG Procedure
          Model: MODEL1
          Analysis of Variance
          Sum of
          Source DF     Squares   Mean Square   F Value   Pr > F
          Model   1      246.96122  246.96122   0.94      0.3438
          Error   22     5804.09037  263.82229
          Corrected Total 23    6051.05160

          Root MSE   R-Square   Dependent Mean   Adj R-Sq
          16.24261   0.0408   23.06500   -0.0028
          Coeff Var   Mean
          70.42102

          Parameter Estimates
          Standard
          Variable DF   Parameter Estimate   Error   t value   Pr > |t|   Type I SS
          Intercept 1   Parameter Estimate   15.20750   8.77201   1.73      0.0970   12768
          DOSE       1   Parameter Estimate   3.92875   4.06065   0.97      0.3438   246.96122

          Model: MODEL2
          Analysis of Variance
          Sum of
          Source DF     Squares   Mean Square   F Value   Pr > F
          Model   2      284.02690  142.01345   0.52      0.6036
          Error   21     5767.02470  274.62022
          Corrected Total 23    6051.05160
```

Apêndice 13. (continuação) Saída do SAS referente à variável taxa de desaparecimento diário (TDD) no período de pré-encarneiramento

Root MSE	16.57167	R-Square	0.0469
Dependent Mean	23.06500	Adj R-Sq	-0.0438
Coeff Var	71.84769		
Parameter Estimates			
		Standard	
Variable	DF	Parameter Estimate	Error
Intercept	1	6.42000	25.53866
DOSE	1	14.47375	29.00042
DOSE2	1	-2.63625	7.17574

The REG Procedure			
Model: MODEL1			
Analysis of Variance			
Source	DF	Sum of Squares	Mean Square
Model	1	1002.22696	1002.22696
Error	22	5048.82464	229.49203
Corrected Total	23	6051.05160	
		F Value	Pr > F
Root MSE		4.37	0.0484
Dependent Mean			
Coeff Var			
Parameter Estimates			
		Standard	
Variable	DF	Parameter Estimate	Error
Intercept	1	8.40658	7.66573
dia	1	0.21091	0.10093
Model: MODEL2			
Analysis of Variance			
Source	DF	Sum of Squares	Mean Square
Model	2	1002.34008	501.17004
Error	21	5048.71152	240.41483
Corrected Total	23	6051.05160	
		F Value	Pr > F
Root MSE		2.08	0.1493
Dependent Mean			
Coeff Var			
Parameter Estimates			
		Standard	
Variable	DF	Parameter Estimate	Error
Intercept	1	8.75889	18.03802
dia	1	0.19817	0.59666
dia2	1	0.00009249	0.00426

Apêndice 13. (continuação) Saída do SAS referente à variável taxa de desaparecimento diário (TDD) no período de pré-encarneiramento

Model: MODEL3						
Analysis of Variance						
Source	DF	Sum of Squares	Mean Square	F Value	Pr > F	
Model	3	1126.16623	375.38874	1.52	0.2389	
Error	20	4924.88537	246.24427			
Corrected Total	23	6051.05160				

Root MSE	15.69217	R-Square	0.1861
Dependent Mean	23.06500	Adj R-Sq	0.0640
Coeff Var	68.03456		

Parameter Estimates						
Variable	DF	Parameter Estimate	Standard Error	t value	Pr > t	
Intercept	1	45.28015	54.64154	0.83	0.4171	
dia	1	-1.89137	3.00787	-0.63	0.5366	
dia2	1	0.03397	0.04796	0.71	0.4870	
dia3	1	-0.00016351	0.00023059	-0.71	0.4864	

Apêndice 14. Saída do SAS referente à variável material morto (MM) no período de pré-encarneiramento

```
*****
          The GLM Procedure
          Class Level Information
          Class      Levels   Values
          DOSE       3        1 2 3
          PER        4        1 2 3 4
          BL         2        1 2
Number of observations 24
*****
          The GLM Procedure
Dependent Variable: MM
          Sum of
          Source DF     Squares   Mean Square   F Value   Pr > F
          Model  12    0.28355000  0.02362917  10.17    0.0003
          Error   11    0.02554583  0.00232235
          Corrected Total 23    0.30909583

          R-Square   Coeff Var   Root MSE   MM Mean
          0.917353   7.447379   0.048191   0.647083

          Source DF     Type III SS   Mean Square   F Value   Pr > F
          DOSE    2      0.00275833  0.00137917  0.59     0.5690
          PER     3      0.26021250  0.08673750  37.35    <.0001
          BL      1      0.00070417  0.00070417  0.30     0.5929
          DOSE*PER 6      0.01987500  0.00331250  1.43     0.2882

          The REG Procedure
          Model: MODEL1
          Analysis of Variance
          Sum of
          Source DF     Squares   Mean Square   F Value   Pr > F
          Model   1      0.00062500  0.00062500  0.04     0.8347
          Error   22     0.30847    0.01402
          Corrected Total 23     0.30910

          Root MSE   R-Square   Dependent Mean   Adj R-Sq
          0.11841    0.0020
          Dependent Mean   0.64708   -0.0433
          Coeff Var   18.29934

          Parameter Estimates
          Standard
          Variable DF     Parameter Estimate   Error   t value   Pr > |t|   Type I SS
          Intercept 1      Parameter Estimate   0.65958   0.06395  10.31    <.0001   10.04920
          DOSE      1      Parameter Estimate   -0.00625   0.02960  -0.21    0.8347   0.00062500

          Model: MODEL2
          Analysis of Variance
          Sum of
          Source DF     Squares   Mean Square   F Value   Pr > F
          Model   2      0.00276   0.00138    0.09     0.9102
          Error   21     0.30634   0.01459
          Corrected Total 23     0.30910
```

Apêndice 14. (continuação) Saída do SAS referente à variável material morto (MM) no período de pré-encarneiramento

```

Root MSE           0.12078   R-Square      0.0089
Dependent Mean    0.64708   Adj R-Sq     -0.0855
Coeff Var         18.66510

Parameter Estimates
Variable DF Parameter Estimate Standard Error t value Pr > |t| Type I SS
Intercept 1   Parameter Estimate 0.72625 0.18613 3.90 0.0008 10.04920
DOSE      1   Parameter Estimate -0.08625 0.21136 -0.41 0.6874 0.00062500
DOSE2     1   Parameter Estimate  0.02000 0.05230 0.38 0.7060 0.00213
*****
```

The REG Procedure
Model: MODEL1
Analysis of Variance

Source	DF	Sum of Squares	Mean Square	F Value	Pr > F
Model	1	0.04768	0.04768	4.01	0.0576
Error	22	0.26142	0.01188		
Corrected Total	23	0.30910			

```

Root MSE           0.10901   R-Square      0.1543
Dependent Mean    0.64708   Adj R-Sq     0.1158
Coeff Var         16.84595
```

Parameter Estimates

Variable	DF	Parameter Estimate	Standard Error	t value	Pr > t
Intercept	1	0.74819	0.05516	13.56	<.0001
dia	1	-0.00145	0.00072623	-2.00	0.0576

Model: MODEL2
Analysis of Variance

Source	DF	Sum of Squares	Mean Square	F Value	Pr > F
Model	2	0.25910	0.12955	54.42	<.0001
Error	21	0.04999	0.00238		
Corrected Total	23	0.30910			

```

Root MSE           0.04879   R-Square      0.8383
Dependent Mean    0.64708   Adj R-Sq     0.8229
Coeff Var         7.54024
```

Parameter Estimates

Variable	DF	Parameter Estimate	Standard Error	t value	Pr > t
Intercept	1	0.26653	0.05676	4.70	0.0001
dia	1	0.01597	0.00188	8.51	<.0001
dia2	1	-0.00012645	0.00001342	-9.42	<.0001

Apêndice 14. (continuação) Saída do SAS referente à variável material morto (MM) no período de pré-encarneiramento

Model: MODEL3					
Analysis of Variance					
Source	DF	Sum of Squares	Mean Square	F Value	Pr > F
Model	3	0.26021	0.08674	35.49	<.0001
Error	20	0.04888	0.00244		
Corrected Total	23	0.30910			
Root MSE		0.04944	R-Square	0.8419	
Dependent Mean		0.64708	Adj R-Sq	0.8181	
Coeff Var		7.64021			
Parameter Estimates					
variable	DF	Parameter Estimate	Standard Error	t value	Pr > t
Intercept	1	0.15719	0.17215	0.91	0.3721
dia	1	0.02223	0.00948	2.35	0.0294
dia2	1	-0.00022786	0.00015111	-1.51	0.1472
dia3	1	4.895099E-7	7.26466E-7	0.67	0.5081

Apêndice 15. Saída do SAS referente à variável teor de matéria seca (%MS) no período de pré-encarneiramento

```
*****
          The GLM Procedure
          Class Level Information
          Class      Levels   Values
          DOSE       3        1 2 3
          PER        4        1 2 3 4
          BL         2        1 2
Number of observations 24
*****
          The GLM Procedure
Dependent Variable: MS
          Sum of
          Source DF     Squares   Mean Square   F Value   Pr > F
          Model  12    0.53635000  0.04469583  19.95    <.0001
          Error   11    0.02464583  0.00224053
          Corrected Total 23    0.56099583

          R-Square   Coeff Var   Root MSE   MS Mean
          0.956068   7.578531   0.047334   0.624583

          Source DF     Type III SS   Mean Square   F Value   Pr > F
          DOSE    2      0.01823333  0.00911667  4.07    0.0476
          PER     3      0.50637917  0.16879306  75.34   <.0001
          BL      1      0.00150417  0.00150417  0.67    0.4300
          DOSE*PER 6      0.01023333  0.00170556  0.76    0.6149

          The REG Procedure
          Model: MODEL1
          Analysis of Variance
          Sum of
          Source DF     Squares   Mean Square   F Value   Pr > F
          Model   1      0.01823   0.01823   0.74    0.3993
          Error   22     0.54277   0.02467
          Corrected Total 23     0.56100

          Root MSE   R-Square   Dependent Mean   Adj R-Sq
          0.15707   0.0325    0.62458   -0.0115
          Coeff Var  25.14818

          Parameter Estimates
          Standard
          Variable DF     Parameter Estimate   Error   t value   Pr > |t|   Type I SS
          Intercept 1      Intercept 0.69208   0.08483   8.16    <.0001   9.36250
          DOSE      1      DOSE -0.03375   0.03927   -0.86    0.3993   0.01823

          Model: MODEL2
          Analysis of Variance
          Sum of
          Source DF     Squares   Mean Square   F Value   Pr > F
          Model   2      0.01823   0.00912   0.35    0.7068
          Error   21     0.54276   0.02585
          Corrected Total 23     0.56100
```

Apêndice 15. (continuação) Saída do SAS referente à variável teor de matéria seca (%MS) no período de pré-encarneiramento

```

Root MSE           0.16077   R-Square      0.0325
Dependent Mean    0.62458   Adj R-Sq     -0.0596
Coeff Var         25.73978

Parameter Estimates
Variable DF Parameter Estimate Standard Error t value Pr > |t| Type I SS
Intercept 1   Parameter Estimate 0.69625 0.24776 2.81 0.0105 9.36250
DOSE       1   Parameter Estimate -0.03875 0.28134 -0.14 0.8918 0.01823
DOSE2      1   Parameter Estimate 0.00125 0.06961 0.02 0.9858 0.00000833
*****  

*****  

The REG Procedure
Model: MODEL1
Analysis of Variance
Source DF Sum of Squares Mean Square F Value Pr > F
Model 1 0.42129 0.42129 66.34 <.0001
Error 22 0.13971 0.00635
Corrected Total 23 0.56100

Root MSE           0.07969   R-Square      0.7510
Dependent Mean    0.62458   Adj R-Sq     0.7396
Coeff Var         12.75874

Parameter Estimates
Variable DF Parameter Estimate Standard Error t value Pr > |t|
Intercept 1   Parameter Estimate 0.92512 0.04032 22.94 <.0001
dia        1   Parameter Estimate -0.00432 0.00053091 -8.15 <.0001
*****  

*****  

Model: MODEL2
Analysis of Variance
Source DF Sum of Squares Mean Square F Value Pr > F
Model 2 0.49768 0.24884 82.53 <.0001
Error 21 0.06332 0.00302
Corrected Total 23 0.56100

Root MSE           0.05491   R-Square      0.8871
Dependent Mean    0.62458   Adj R-Sq     0.8764
Coeff Var         8.79132

Parameter Estimates
Variable DF Parameter Estimate Standard Error t value Pr > |t|
Intercept 1   Parameter Estimate 0.63559 0.06388 9.95 <.0001
dia        1   Parameter Estimate 0.00615 0.00211 2.91 0.0084
dia2       1   Parameter Estimate -0.00007601 0.00001510 -5.03 <.0001

```

Apêndice 15. (continuação) Saída do SAS referente à variável teor de matéria seca (%MS) no período de pré-encarneiramento

Model: MODEL3					
Analysis of Variance					
Source	DF	Sum of Squares	Mean Square	F Value	Pr > F
Model	3	0.50638	0.16879	61.81	<.0001
Error	20	0.05462	0.00273		
Corrected Total	23	0.56100			
Root MSE		0.05226	R-Square	0.9026	
Dependent Mean		0.62458	Adj R-Sq	0.8880	
Coeff Var		8.36676			
Parameter Estimates					
Variable	DF	Parameter Estimate	Standard Error	t value	Pr > t
Intercept	1	0.32949	0.18196	1.81	0.0852
dia	1	0.02366	0.01002	2.36	0.0284
dia2	1	-0.00035992	0.00015972	-2.25	0.0356
dia3	1	0.00000137	7.678873E-7	1.78	0.0895

Apêndice 16. Saída do SAS referente à variável oferta de forragem total (OF) no período de pré-encarneiramento

```
*****
          The GLM Procedure
          Class Level Information
          Class      Levels   Values
          DOSE       3        1 2 3
          PER        4        1 2 3 4
          BL         2        1 2
Number of observations 24
*****
          The GLM Procedure
Dependent Variable: OF
          Sum of
          Source DF     Squares   Mean Square   F Value   Pr > F
          Model  12    101.8283333  8.4856944   1.04      0.4775
          Error   11     89.7512500  8.1592045
          Corrected Total 23    191.5795833

          R-Square   Coeff Var     Root MSE   OF Mean
          0.531520   20.28836    2.856432   14.07917

          Source DF     Type III SS   Mean Square   F Value   Pr > F
          DOSE    2       6.71083333  3.35541667  0.41      0.6726
          PER     3       37.58125000 12.52708333  1.54      0.2603
          BL      1       0.84375000  0.84375000  0.10      0.7538
          DOSE*PER 6       56.69250000 9.44875000  1.16      0.3932

          The REG Procedure
          Model: MODEL1
          Analysis of Variance
          Sum of
          Source DF     Squares   Mean Square   F Value   Pr > F
          Model   1       6.12562   6.12562   0.73      0.4031
          Error   22      185.45396  8.42973
          Corrected Total 23    191.57958

          Root MSE   R-Square   Dependent Mean   Adj R-Sq
          2.90340   0.0320    14.07917   -0.0120
          Coeff Var  20.62195

          Parameter Estimates
          Standard
          Variable DF     Parameter Estimate   Error   t value   Pr > |t|   Type I SS
          Intercept 1      Parameter Estimate   Error   t value   Pr > |t|   Type I SS
          DOSE      1      Parameter Estimate   Error   t value   Pr > |t|   Type I SS
          15.31667  1      Parameter Estimate   Error   t value   Pr > |t|   4757.35042
          -0.61875  1      Parameter Estimate   Error   t value   Pr > |t|   6.12562

          Model: MODEL2
          Analysis of Variance
          Sum of
          Source DF     Squares   Mean Square   F Value   Pr > F
          Model   2       6.71083   3.35542   0.38      0.6877
          Error   21      184.86875  8.80327
          Corrected Total 23    191.57958
```

Apêndice 16. (continuação) Saída do SAS referente à variável oferta de forragem total (OF) no período de pré-encarneiramento

Root MSE	2.96703	R-Square	0.0350			
Dependent Mean	14.07917	Adj R-Sq	-0.0569			
Coeff Var	21.07391					
Parameter Estimates						
Variable	DF	Parameter Estimate	Standard Error	t value	Pr > t	Type I SS
Intercept	1	14.21250	4.57250	3.11	0.0053	4757.35042
DOSE	1	0.70625	5.19230	0.14	0.8931	6.12562
DOSE2	1	-0.33125	1.28476	-0.26	0.7990	0.58521

The REG Procedure						
Model: MODEL1						
Analysis of Variance						
Source	DF	Sum of Squares	Mean Square	F Value	Pr > F	
Model	1	5320822	5320822	31.82	<.0001	
Error	22	3678447	167202			
Corrected Total	23	8999269				
Root MSE		408.90356	R-Square	0.5913		
Dependent Mean		3155.20000	Adj R-Sq	0.5727		
Coeff Var		12.95967				
Parameter Estimates						
Variable	DF	Parameter Estimate	Standard Error	t value	Pr > t	
Intercept	1	4223.25490	206.91433	20.41	<.0001	
dia	1	-15.36770	2.72421	-5.64	<.0001	
Model: MODEL2						
Analysis of Variance						
Source	DF	Sum of Squares	Mean Square	F Value	Pr > F	
Model	2	5354040	2677020	15.42	<.0001	
Error	21	3645229	173582			
Corrected Total	23	8999269				
Root MSE		416.63210	R-Square	0.5949		
Dependent Mean		3155.20000	Adj R-Sq	0.5564		
Coeff Var		13.20462				
Parameter Estimates						
Variable	DF	Parameter Estimate	Standard Error	t value	Pr > t	
Intercept	1	4414.17529	484.68642	9.11	<.0001	
dia	1	-22.27532	16.03252	-1.39	0.1793	
dia2	1	0.05012	0.11458	0.44	0.6662	

Apêndice 16. (continuação) Saída do SAS referente à variável oferta de forragem total (OF) no período de pré-encarneiramento

Model: MODEL3					
Analysis of Variance					
Source	DF	Sum of Squares	Mean Square	F Value	Pr > F
Model	3	5827578	1942526	12.25	<.0001
Error	20	3171691	158585		
Corrected Total	23	8999269			
Root MSE		398.22676	R-Square	0.6476	
Dependent Mean		3155.20000	Adj R-Sq	0.5947	
Coeff Var		12.62128			
Parameter Estimates					
variable	DF	Parameter Estimate	Standard Error	t value	Pr > t
Intercept	1	6672.65765	1386.66092	4.81	0.0001
dia	1	-151.49256	76.33204	-1.98	0.0611
dia2	1	2.14487	1.21716	1.76	0.0933
dia3	1	-0.01011	0.00585	-1.73	0.0994

Apêndice 17. Saída do SAS referente à variável oferta de forragem verde (OFV) no período de pré-encarneiramento

```
*****
          The GLM Procedure
          Class Level Information
          Class      Levels   Values
          DOSE       3        1 2 3
          PER        4        1 2 3 4
          BL         2        1 2
Number of observations 24
*****
          The GLM Procedure
Dependent Variable: OFV
          Sum of
          Source    DF     Squares   Mean Square   F Value   Pr > F
          Model    12    77.64666667   6.47055556   6.18      0.0025
          Error    11    11.51333333   1.04666667
          Corrected Total 23    89.16000000
          R-Square   Coeff Var   Root MSE   OFV Mean
          0.870869   20.46135   1.023067   5.000000
          Source    DF     Type III SS   Mean Square   F Value   Pr > F
          DOSE      2      0.75250000   0.37625000   0.36      0.7059
          PER       3      58.78000000  19.59333333  18.72      0.0001
          BL        1      0.02666667   0.02666667   0.03      0.8761
          DOSE*PER  6      18.08750000  3.01458333  2.88      0.0613
          The REG Procedure
          Model: MODEL1
          Analysis of Variance
          Sum of
          Source    DF     Squares   Mean Square   F Value   Pr > F
          Model    1      0.00250   0.00250   0.00      0.9804
          Error    22     89.15750   4.05261
          Corrected Total 23     89.16000
          Root MSE   R-Square   Dependent Mean   Adj R-Sq
          2.01311   0.00000   5.00000   -0.0454
          Coeff Var   40.26221
          Parameter Estimates
          Standard
          Variable  DF   Parameter Estimate   Error   t value   Pr > |t|   Type I SS
          Intercept 1   Parameter Estimate   5.02500   1.08720   4.62      0.0001   600.00000
          DOSE      1   Parameter Estimate   -0.01250   0.50328   -0.02      0.9804   0.00250
          Model: MODEL2
          Analysis of Variance
          Sum of
          Source    DF     Squares   Mean Square   F Value   Pr > F
          Model    2      0.75250   0.37625   0.09      0.9149
          Error    21     88.40750   4.20988
          Corrected Total 23     89.16000
```

Apêndice 17. (continuação) Saída do SAS referente à variável oferta de forragem verde (OFV) no período de pré-encarneiramento

Root MSE	2.05180	R-Square	0.0084
Dependent Mean	5.00000	Adj R-Sq	-0.0860
Coeff Var	41.03599		
 Parameter Estimates			
Variable	DF	Parameter Estimate	Standard Error
Intercept	1	3.77500	3.16204
DOSE	1	1.48750	3.59065
DOSE2	1	-0.37500	0.88846

----- DOSE=1 -----			
Model: MODEL1			
Analysis of Variance			
Source	DF	Sum of Squares	Mean Square
Model	1	4.38403	4.38403
Error	6	14.88472	2.48079
Corrected Total	7	19.26875	
Root MSE	1.57505	R-Square	0.2275
Dependent Mean	4.88750	Adj R-Sq	0.0988
Coeff Var	32.22611		
 Parameter Estimates			
Variable	DF	Parameter Estimate	Standard Error
Intercept	1	6.56670	1.38046
dia	1	-0.02416	0.01818
Model: MODEL2			
Analysis of Variance			
Source	DF	Sum of Squares	Mean Square
Model	2	14.00320	7.00160
Error	5	5.26555	1.05311
Corrected Total	7	19.26875	
Root MSE	1.02621	R-Square	0.7267
Dependent Mean	4.88750	Adj R-Sq	0.6174
Coeff Var	20.99665		

Apêndice 17. (continuação) Saída do SAS referente à variável oferta de forragem verde (OFV) no período de pré-encarneiramento

Parameter Estimates					
Variable	DF	Parameter Estimate	Standard Error	t value	Pr > t
Intercept	1	12.19392	2.06779	5.90	0.0020
dia	1	-0.22776	0.06840	-3.33	0.0208
dia2	1	0.00148	0.00048882	3.02	0.0293

Model: MODEL3					
Analysis of Variance					
Source	DF	Sum of Squares	Mean Square	F Value	Pr > F
Model	3	14.24375	4.74792	3.78	0.1158
Error	4	5.02500	1.25625		
Corrected Total	7	19.26875			

Root MSE	1.12083	R-Square	0.7392
Dependent Mean	4.88750	Adj R-Sq	0.5436
Coeff Var	22.93249		

Parameter Estimates					
Variable	DF	Parameter Estimate	Standard Error	t value	Pr > t
Intercept	1	9.40587	6.75987	1.39	0.2365
dia	1	-0.06824	0.37211	-0.18	0.8634
dia2	1	-0.00111	0.00593	-0.19	0.8609
dia3	1	0.00001248	0.00002853	0.44	0.6843

DOSE=2 -----					
Model: MODEL1					
Analysis of Variance					
Source	DF	Sum of Squares	Mean Square	F Value	Pr > F
Model	1	10.77009	10.77009	2.95	0.1366
Error	6	21.88991	3.64832		
Corrected Total	7	32.66000			

Root MSE	1.91006	R-Square	0.3298
Dependent Mean	5.25000	Adj R-Sq	0.2181
Coeff Var	36.38204		

Parameter Estimates					
Variable	DF	Parameter Estimate	Standard Error	t value	Pr > t
Intercept	1	2.61807	1.67408	1.56	0.1689
dia	1	0.03787	0.02204	1.72	0.1366

Model: MODEL2					
Analysis of Variance					
Source	DF	Sum of Squares	Mean Square	F Value	Pr > F
Model	2	29.84841	14.92421	26.54	0.0022
Error	5	2.81159	0.56232		
Corrected Total	7	32.66000			

Apêndice 17. (continuação) Saída do SAS referente à variável oferta de forragem verde (OFV) no período de pré-encarneiramento

Root MSE		0.74988	R-Square	0.9139
Dependent Mean		5.25000	Adj R-Sq	0.8795
Coeff Var		14.28340		
Parameter Estimates				
Variable DF Parameter Estimate Standard Error t value Pr > t				
Intercept	1	10.54300	1.51098	6.98 0.0009
dia	1	-0.24886	0.04998	-4.98 0.0042
dia2	1	0.00208	0.00035719	5.82 0.0021
Model: MODEL3				
Analysis of Variance				
Source DF Sum of Squares Mean Square F Value Pr > F				
Model	3	29.85000	9.95000	14.16 0.0135
Error	4	2.81000	0.70250	
Corrected Total	7	32.66000		
Root MSE		0.83815	R-Square	0.9140
Dependent Mean		5.25000	Adj R-Sq	0.8494
Coeff Var		15.96481		
Parameter Estimates				
Variable DF Parameter Estimate Standard Error t value Pr > t				
Intercept	1	10.31633	5.05503	2.04 0.1108
dia	1	-0.23589	0.27827	-0.85 0.4443
dia2	1	0.00187	0.00444	0.42 0.6950
dia3	1	0.00000101	0.00002133	0.05 0.9643
DOSE=3 -----				
Model: MODEL1				
Analysis of Variance				
Source DF Sum of Squares Mean Square F Value Pr > F				
Model	1	1.57767	1.57767	0.27 0.6212
Error	6	34.90108	5.81685	
Corrected Total	7	36.47875		
Root MSE		2.41181	R-Square	0.0432
Dependent Mean		4.86250	Adj R-Sq	-0.1162
Coeff Var		49.60029		
Parameter Estimates				
Variable DF Parameter Estimate Standard Error t value Pr > t				
Intercept	1	3.85517	2.11385	1.82 0.1180
dia	1	0.01449	0.02783	0.52 0.6212

Apêndice 17. (continuação) Saída do SAS referente à variável oferta de forragem verde (OFV) no período de pré-encarneiramento

Model: MODEL2						
Analysis of Variance						
Source	DF	Sum of Squares	Mean Square	F Value	Pr > F	
Model	2	32.71388	16.35694	21.72	0.0034	
Error	5	3.76487	0.75297			
Corrected Total	7	36.47875				
Root MSE		0.86774	R-Square	0.8968		
Dependent Mean		4.86250	Adj R-Sq	0.8555		
Coeff Var		17.84557				
Parameter Estimates						
variable	DF	Parameter Estimate	Standard Error	t value	Pr > t	
Intercept	1	13.97931	1.74847	8.00	0.0005	
dia	1	-0.35180	0.05784	-6.08	0.0017	
dia2	1	0.00266	0.00041333	6.43	0.0014	

Model: MODEL3						
Analysis of Variance						
Source	DF	Sum of Squares	Mean Square	F Value	Pr > F	
Model	3	32.77375	10.92458	11.79	0.0187	
Error	4	3.70500	0.92625			
Corrected Total	7	36.47875				
Root MSE		0.96242	R-Square	0.8984		
Dependent Mean		4.86250	Adj R-Sq	0.8223		
Coeff Var		19.79268				
Parameter Estimates						
variable	DF	Parameter Estimate	Standard Error	t value	Pr > t	
Intercept	1	15.37024	5.80450	2.65	0.0571	
dia	1	-0.43138	0.31952	-1.35	0.2483	
dia2	1	0.00395	0.00509	0.77	0.4817	
dia3	1	-0.00000623	0.00002449	-0.25	0.8118	

Apêndice 18. Saída do SAS referente à variável oferta de forragem verde (OFV), interação dose de N e período no período de pré-encarneiramento

```
*****
          The GLM Procedure
          Class Level Information
          Class      Levels   Values
          BL           2       1 2
          INT          12      1 2 3 4 5 6 7 8 9 10 11 12
          Number of observations   24
*****
          The GLM Procedure
Dependent Variable: OFV
          Sum of
          Source    DF    Squares   Mean Square   F Value   Pr > F
          Model     12    77.64666667    6.47055556    6.18     0.0025
          Error     11    11.51333333    1.04666667
          Corrected Total  23    89.16000000
          R-Square   0.870869   Coeff Var   Root MSE   OFV Mean
                           20.46135      1.023067      5.000000
          Source    DF    Type III SS   Mean Square   F Value   Pr > F
          BL         1     0.02666667    0.02666667    0.03     0.8761
          INT        11    77.62000000    7.05636364    6.74     0.0019
```

Apêndice 19. Saída do SAS referente à variável densidade volumétrica (DV) no período de pré-encarneiramento

```
*****
          The GLM Procedure
          Class Level Information
          Class      Levels   Values
          DOSE       3        1 2 3
          PER        4        1 2 3 4
          BL         2        1 2
Number of observations 24
*****
          The GLM Procedure
Dependent Variable: DV
          Sum of
          Source DF     Squares   Mean Square   F Value   Pr > F
          Model  12    30820.13500   2568.34458   1.38     0.2997
          Error   11    20442.29000   1858.39000
          Corrected Total 23    51262.42500
          R-Square   Coeff Var      Root MSE   DV Mean
          0.601223   13.44112      43.10905   320.7250
          Source DF     Type III SS   Mean Square   F Value   Pr > F
          DOSE    2       499.23000   249.61500   0.13     0.8757
          PER     3       16483.70167   5494.56722   2.96     0.0794
          BL      1       7100.16000   7100.16000   3.82     0.0765
          DOSE*PER 6       6737.04333   1122.84056   0.60     0.7226
          The REG Procedure
          Model: MODEL1
          Analysis of Variance
          Sum of
          Source DF     Squares   Mean Square   F Value   Pr > F
          Model   1       466.56000   466.56000   0.20     0.6575
          Error   22      50796     2308.90295
          Corrected Total 23      51262
          Root MSE   R-Square
          Dependent Mean   320.72500   0.0091
          Coeff Var      14.98201   Adj R-Sq   -0.0359
          Parameter Estimates
          Standard
          Variable DF     Parameter Estimate   Error   t value   Pr > |t|   Type I SS
          Intercept 1       331.52500   25.95053   12.78    <.0001   2468749
          DOSE      1       -5.40000   12.01276   -0.45    0.6575   466.56000
          Model: MODEL2
          Analysis of Variance
          Sum of
          Source DF     Squares   Mean Square   F Value   Pr > F
          Model   2       499.23000   249.61500   0.10     0.9023
          Error   21      50763     2417.29500
          Corrected Total 23      51262
```

Apêndice 19. (continuação) Saída do SAS referente à variável densidade volumétrica (DV) no período de pré-encarneiramento

```

Root MSE           49.16599    R-Square      0.0097
Dependent Mean   320.72500    Adj R-Sq     -0.0846
Coeff Var        15.32964

Parameter Estimates
Variable DF Parameter Estimate Standard Error t value Pr > |t| Type I SS
Intercept 1            339.77500    75.76989    4.48    0.0002 2468749
DOSE       1            -15.30000   86.04049    -0.18    0.8606 466.56000
DOSE2      1            2.47500    21.28950    0.12    0.9086 32.67000

----- per=1 -----
The GLM Procedure
Class Level Information
Class      Levels   Values
DOSE       3         1 2 3
BLOCO     2         1 2
Number of observations 6

Sum of
Source DF Squares   Mean Square   F Value   Pr > F
Model  3   20582.46500  6860.82167  1.89     0.3647
Error   2   7269.24333  3634.62167
Corrected Total 5   27851.70833

R-Square      Coeff Var     Root MSE     DV Mean
0.739002    20.56084    60.28782    293.2167

Source DF Type III SS   Mean Square   F Value   Pr > F
DOSE    2   2045.42333  1022.71167  0.28     0.7804
BLOCO   1   18537.04167  18537.04167  5.10     0.1525

----- per=2 -----
The GLM Procedure
Class Level Information
Class      Levels   Values
dose      3         1 2 3
bloco    2         1 2
Number of observations 6

Sum of
Source DF Squares   Mean Square   F Value   Pr > F
Model  3   496.310000  165.436667  0.48     0.7286
Error   2   687.543333  343.771667
Corrected Total 5   1183.853333

R-Square      Coeff Var     Root MSE     DV Mean
0.419233    5.148393    18.54108    360.1333

```

Apêndice 19. (continuação) Saída do SAS referente à variável densidade volumétrica (DV) no período de pré-encarneiramento

```

Source          DF      Type III SS      Mean Square      F Value      Pr > F
DOSE           2       49.1033333       24.5516667      0.07       0.9333
BLOCO          1       447.2066667      447.2066667     1.30       0.3722
----- per=3 -----
The GLM Procedure
Class Level Information
Class      Levels      Values
dose        3          1 2 3
bloco       2          1 2
Number of observations   6

Source          DF      Sum of Squares      Mean Square      F Value      Pr > F
Model          3       1780.803333       593.601111      22.51       0.0428
Error          2        52.750000       26.375000
Corrected Total 5       1833.553333

R-Square      Coeff Var      Root MSE      DV Mean
0.971231      1.704878      5.135660      301.2333

Source          DF      Type III SS      Mean Square      F Value      Pr > F
DOSE           2       1743.303333       871.651667      33.05       0.0294
BLOCO          1       37.500000       37.500000     1.42       0.3554
----- per=4 -----
The GLM Procedure
Class Level Information
Class      Levels      Values
dose        3          1 2 3
bloco       2          1 2
Number of observations   6

Source          DF      Sum of Squares      Mean Square      F Value      Pr > F
Model          3       3699.485000       1233.161667     11.74       0.0795
Error          2        210.123333       105.061667
Corrected Total 5       3909.608333

R-Square      Coeff Var      Root MSE      DV Mean
0.946255      3.121974      10.24996      328.3167

Source          DF      Type III SS      Mean Square      F Value      Pr > F
DOSE           2       3398.443333       1699.221667     16.17       0.0582
BLOCO          1       301.041667      301.041667     2.87       0.2326

```

Apêndice 19. (continuação) Saída do SAS referente à variável densidade volumétrica (DV) no período de pré-encarneiramento

```
*****
***** The REG Procedure *****
***** Model: MODEL1 *****
***** Analysis of Variance *****
Source DF Sum of Squares Mean Square F Value Pr > F
Model 1 643.11772 643.11772 0.28 0.6023
Error 22 50619 2300.87760
Corrected Total 23 51262

Root MSE 47.96746 R-Square 0.0125
Dependent Mean 320.72500 Adj R-Sq -0.0323
Coeff Var 14.95595

***** Parameter Estimates *****
Variable DF Parameter Estimate Standard Error t value Pr > |t|
Intercept 1 308.98280 24.27261 12.73 <.0001
dia 1 0.16895 0.31957 0.53 0.6023

***** Model: MODEL2 *****
***** Analysis of Variance *****
Source DF Sum of Squares Mean Square F Value Pr > F
Model 2 3274.38602 1637.19301 0.72 0.5000
Error 21 47988 2285.14471
Corrected Total 23 51262

Root MSE 47.80319 R-Square 0.0639
Dependent Mean 320.72500 Adj R-Sq -0.0253
Coeff Var 14.90473

***** Parameter Estimates *****
Variable DF Parameter Estimate Standard Error t value Pr > |t|
Intercept 1 255.24903 55.61155 4.59 0.0002
dia 1 2.11307 1.83953 1.15 0.2636
dia2 1 -0.01411 0.01315 -1.07 0.2954
```

Apêndice 19. (continuação) Saída do SAS referente à variável densidade volumétrica (DV) no período de pré-encarneiramento

```

      Model: MODEL3
      Analysis of Variance
      Source           DF   Sum of Squares   Mean Square   F Value   Pr > F
      Model            3       16484        5494.56722    3.16     0.0472
      Error            20      34779        1738.93617
      Corrected Total  23      51262
      Root MSE        41.70055   R-Square       0.3216
      Dependent Mean  320.72500   Adj R-Sq       0.2198
      Coeff Var       13.00197

      Parameter Estimates
      Variable        DF   Parameter Estimate   Standard Error   t value   Pr > |t|
      Intercept       1       -121.95795   145.20503   -0.84     0.4109
      dia              1        23.69467   7.99316     2.96     0.0077
      dia2             1       -0.36397   0.12746     -2.86     0.0098
      dia3             1        0.00169   0.00061276    2.76     0.0122

      The REG Procedure
      -----
      PER=1
      Model: MODEL1
      Analysis of Variance
      Source           DF   Sum of Squares   Mean Square   F Value   Pr > F
      Model            1       1676.90250   1676.90250    0.26     0.6393
      Error            4       26175         6543.70146
      Corrected Total  5       27852
      Root MSE        80.89315   R-Square       0.0602
      Dependent Mean  293.21667   Adj R-Sq       -0.1747
      Coeff Var       27.58818

      Parameter Estimates
      Variable        DF   Parameter Estimate   Standard Error   t value   Pr > |t|   Type I SS
      Intercept       1       252.26667   87.37459     2.89     0.0447   515856
      DOSE             1       20.47500   40.44657     0.51     0.6393   1676.90250

      Model: MODEL2
      Analysis of Variance
      Source           DF   Sum of Squares   Mean Square   F Value   Pr > F
      Model            2       2045.42333   1022.71167    0.12     0.8919
      Error            3       25806         8602.09500
      Corrected Total  5       27852
      Root MSE        92.74748   R-Square       0.0734
      Dependent Mean  293.21667   Adj R-Sq       -0.5443
      Coeff Var       31.63104
  
```

Apêndice 19. (continuação) Saída do SAS referente à variável densidade volumétrica (DV) no período de pré-encarneiramento

Variable	DF	Parameter Estimates					Type I SS
		Parameter Estimate	Standard Error	t value	Pr > t		
Intercept	1	196.85000	285.86693	0.69	0.5405	515856	
DOSE	1	86.97500	324.61618	0.27	0.8061	1676.90250	
DOSE2	1	-16.62500	80.32167	-0.21	0.8493	368.52083	

----- PER=2 -----							
Model: MODEL1							
Analysis of Variance							
Source	DF	Sum of Squares	Mean Square	F Value	Pr > F		
Model	1	48.30250	48.30250	0.17	0.7011		
Error	4	1135.55083	283.88771				
Corrected Total	5	1183.85333					

----- PER=2 -----							
Model: MODEL1							
Analysis of Variance							
Source	DF	Sum of Squares	Mean Square	F Value	Pr > F		
Model	1	48.30250	48.30250	0.17	0.7011		
Error	4	1135.55083	283.88771				
Corrected Total	5	1183.85333					

----- PER=2 -----							
Model: MODEL2							
Analysis of Variance							
Source	DF	Sum of Squares	Mean Square	F Value	Pr > F		
Model	2	49.10333	24.55167	0.06	0.9384		
Error	3	1134.75000	378.25000				
Corrected Total	5	1183.85333					

----- PER=2 -----							
Model: MODEL2							
Analysis of Variance							
Source	DF	Sum of Squares	Mean Square	F Value	Pr > F		
Model	2	49.10333	24.55167	0.06	0.9384		
Error	3	1134.75000	378.25000				
Corrected Total	5	1183.85333					

----- PER=3 -----							
Model: MODEL1							
Analysis of Variance							
Source	DF	Sum of Squares	Mean Square	F Value	Pr > F		
Model	1	1743.06250	1743.06250	77.05	0.0009		
Error	4	90.49083	22.62271				
Corrected Total	5	1833.55333					

Apêndice 19. (continuação) Saída do SAS referente à variável densidade volumétrica (DV) no período de pré-encarneiramento

		Root MSE	4.75633	R-Square	0.9506
		Dependent Mean	301.23333	Adj R-Sq	0.9383
		Coeff Var	1.57895		
Parameter Estimates					
Variable	DF	Parameter Estimate	Standard Error	t value	Pr > t
Intercept	1	342.98333	5.13743	66.76	<.0001
DOSE	1	-20.87500	2.37817	-8.78	0.0009
Model: MODEL2					
Analysis of Variance					
Source	DF	Sum of Squares	Mean Square	F Value	Pr > F
Model	2	1743.30333	871.65167	28.97	0.0109
Error	3	90.25000	30.08333		
Corrected Total	5	1833.55333			
		Root MSE	5.48483	R-Square	0.9508
		Dependent Mean	301.23333	Adj R-Sq	0.9180
		Coeff Var	1.82079		
Parameter Estimates					
Variable	DF	Parameter Estimate	Standard Error	t value	Pr > t
Intercept	1	344.40000	16.90537	20.37	0.0003
DOSE	1	-22.57500	19.19690	-1.18	0.3244
DOSE2	1	0.42500	4.75000	0.09	0.9343
----- PER=4 -----					
Model: MODEL1					
Analysis of Variance					
Source	DF	Sum of Squares	Mean Square	F Value	Pr > F
Model	1	2435.42250	2435.42250	6.61	0.0619
Error	4	1474.18583	368.54646		
Corrected Total	5	3909.60833			
		Root MSE	19.19756	R-Square	0.6229
		Dependent Mean	328.31667	Adj R-Sq	0.5287
		Coeff Var	5.84727		
Parameter Estimates					
Variable	DF	Parameter Estimate	Standard Error	t value	Pr > t
Intercept	1	377.66667	20.73574	18.21	<.0001
DOSE	1	-24.67500	9.59878	-2.57	0.0619
Model: MODEL2					
Analysis of Variance					
Source	DF	Sum of Squares	Mean Square	F Value	Pr > F
Model	2	3398.44333	1699.22167	9.97	0.0473
Error	3	511.16500	170.38833		
Corrected Total	5	3909.60833			

Apêndice 19. (continuação) Saída do SAS referente à variável densidade volumétrica (DV) no período de pré-encarneiramento

	Root MSE	13.05329	R-Square	0.8693	
	Dependent Mean	328.31667	Adj R-Sq	0.7821	
	Coeff Var	3.97582			
Parameter Estimates					
Variable	DF	Parameter Estimate	Standard Error	t value	Pr > t
Intercept	1	467.25000	40.23294	11.61	0.0014
DOSE	1	-132.17500	45.68651	-2.89	0.0629
DOSE2	1	26.87500	11.30448	2.38	0.0978
					Type I SS
					646751
					2435.42250
					963.02083

Apêndice 20. Saída do SAS referente à variável densidade volumétrica verde (DVV) no período de pré-encarneiramento

```
*****
          The GLM Procedure
          Class Level Information
          Class      Levels   Values
          DOSE       3        1 2 3
          PER        4        1 2 3 4
          BL         2        1 2
Number of observations 24
*****
          The GLM Procedure
Dependent Variable: DVV
          Sum of
          Source DF     Squares   Mean Square   F Value   Pr > F
          Model  12    71484.94167   5957.07847   17.39    <.0001
          Error   11    3767.07833   342.46167
          Corrected Total 23    75252.02000

          R-Square   Coeff Var   Root MSE   DVV Mean
          0.949941   16.06399   18.50572   115.2000

          Source DF     Type III SS   Mean Square   F Value   Pr > F
          DOSE    2      525.46750   262.73375   0.77    0.4876
          PER     3      67155.78333  22385.26111   65.37   <.0001
          BL      1      543.40167   543.40167   1.59    0.2339
          DOSE*PER 6      3260.28917  543.38153   1.59    0.2398

          The REG Procedure
          Model: MODEL1
          Analysis of Variance
          Sum of
          Source DF     Squares   Mean Square   F Value   Pr > F
          Model   1      411.07563   411.07563   0.12    0.7314
          Error   22     74841     3401.86111
          Corrected Total 23     75252

          Root MSE   R-Square   Dependent Mean   Adj R-Sq
          58.32548   0.0055   115.20000  -0.0397
          Coeff Var   50.62975

          Parameter Estimates
          Standard
          Variable DF     Parameter Estimate   Error   t value   Pr > |t|   Type I SS
          Intercept 1      105.06250   31.49936   3.34    0.0030   318505
          DOSE      1      5.06875    14.58137   0.35    0.7314   411.07563

          Model: MODEL2
          Analysis of Variance
          Sum of
          Source DF     Squares   Mean Square   F Value   Pr > F
          Model   2      525.46750   262.73375   0.07    0.9291
          Error   21     74727     3558.40726
          Corrected Total 23     75252
```

Apêndice 20. (continuação) Saída do SAS referente à variável densidade volumétrica verde (DVV) no período de pré-encarneiramento

		Root MSE	59.65239	R-Square	0.0070	
		Dependent Mean	115.20000	Adj R-Sq	-0.0876	
		Coeff Var	51.78159			
Parameter Estimates						
Variable	DF	Parameter Estimate	Standard Error	t value	Pr > t	Type I SS
Intercept	1	89.62500	91.93050	0.97	0.3407	318505
DOSE	1	23.59375	104.39168	0.23	0.8234	411.07563
DOSE2	1	-4.63125	25.83024	-0.18	0.8594	114.39188
The REG Procedure						
----- PER=1 -----						
Model: MODEL1						
Analysis of Variance						
Source	DF	Sum of Squares	Mean Square	F Value	Pr > F	
Model	1	37.21000	37.21000	0.19	0.6835	
Error	4	773.41833	193.35458			
Corrected Total	5	810.62833				
		Root MSE	13.90520	R-Square	0.0459	
		Dependent Mean	72.41667	Adj R-Sq	-0.1926	
		Coeff Var	19.20166			
Parameter Estimates						
Variable	DF	Parameter Estimate	Standard Error	t value	Pr > t	Type I SS
Intercept	1	66.31667	15.01933	4.42	0.0116	31465
DOSE	1	3.05000	6.95260	0.44	0.6835	37.21000
Model: MODEL2						
Analysis of Variance						
Source	DF	Sum of Squares	Mean Square	F Value	Pr > F	
Model	2	67.29333	33.64667	0.14	0.8781	
Error	3	743.33500	247.77833			
Corrected Total	5	810.62833				
		Root MSE	15.74098	R-Square	0.0830	
		Dependent Mean	72.41667	Adj R-Sq	-0.5283	
		Coeff Var	21.73668			
Parameter Estimates						
Variable	DF	Parameter Estimate	Standard Error	t value	Pr > t	Type I SS
Intercept	1	82.15000	48.51695	1.69	0.1890	31465
DOSE	1	-15.95000	55.09342	-0.29	0.7910	37.21000
DOSE2	1	4.75000	13.63209	0.35	0.7505	30.08333

Apêndice 20. (continuação) Saída do SAS referente à variável densidade volumétrica verde (DVV) no período de pré-encarneiramento

----- PER=2 -----						
Model: MODEL1						
Analysis of Variance						
Source	DF	Sum of Squares	Mean Square	F Value	Pr > F	
Model	1	5.52250	5.52250	0.02	0.9004	
Error	4	1242.67750	310.66938			
Corrected Total	5	1248.20000				
Root MSE		17.62582	R-Square	0.0044		
Dependent Mean		69.60000	Adj R-Sq	-0.2445		
Coeff Var		25.32445				
Parameter Estimates						
Variable	DF	Parameter Estimate	Standard Error	t value	Pr > t	Type I SS
Intercept	1	67.25000	19.03806	3.53	0.0242	29065
DOSE	1	1.17500	8.81291	0.13	0.9004	5.52250
----- Model: MODEL2 -----						
Analysis of Variance						
Source	DF	Sum of Squares	Mean Square	F Value	Pr > F	
Model	2	62.29000	31.14500	0.08	0.9261	
Error	3	1185.91000	395.30333			
Corrected Total	5	1248.20000				
Root MSE		19.88224	R-Square	0.0499		
Dependent Mean		69.60000	Adj R-Sq	-0.5835		
Coeff Var		28.56643				
Parameter Estimates						
Variable	DF	Parameter Estimate	Standard Error	t value	Pr > t	Type I SS
Intercept	1	45.50000	61.28117	0.74	0.5116	29065
DOSE	1	27.27500	69.58783	0.39	0.7213	5.52250
DOSE2	1	-6.52500	17.21852	-0.38	0.7300	56.76750
----- PER=3 -----						
Model: MODEL1						
Analysis of Variance						
Source	DF	Sum of Squares	Mean Square	F Value	Pr > F	
Model	1	184.96000	184.96000	0.32	0.6014	
Error	4	2305.82000	576.45500			
Corrected Total	5	2490.78000				
Root MSE		24.00948	R-Square	0.0743		
Dependent Mean		118.30000	Adj R-Sq	-0.1572		
Coeff Var		20.29542				

Apêndice 20. (continuação) Saída do SAS referente à variável densidade volumétrica verde (DVV) no período de pré-encarneiramento

Variable	DF	Parameter Estimates					Type I SS
		Parameter Estimate	Standard Error	t value	Pr > t		
Intercept	1	131.90000	25.93320	5.09	0.0071	83969	
DOSE	1	-6.80000	12.00474	-0.57	0.6014	184.96000	
Model: MODEL2							
Analysis of Variance							
Source	DF	Sum of Squares	Mean Square	F Value	Pr > F		
Model	2	1349.23000	674.61500	1.77	0.3103		
Error	3	1141.55000	380.51667				
Corrected Total	5	2490.78000					
Root MSE		19.50684	R-Square	0.5417			
Dependent Mean		118.30000	Adj R-Sq	0.2361			
Coeff Var		16.48930					
Parameter Estimates							
Variable	DF	Parameter Estimate	Standard Error	t value	Pr > t	Type I SS	
Intercept	1	33.40000	60.12411	0.56	0.6173	83969	
DOSE	1	111.40000	68.27393	1.63	0.2013	184.96000	
DOSE2	1	-29.55000	16.89342	-1.75	0.1786	1164.27000	
----- PER=4 -----							
Model: MODEL1							
Analysis of Variance							
Source	DF	Sum of Squares	Mean Square	F Value	Pr > F		
Model	1	2088.49000	2088.49000	5.73	0.0749		
Error	4	1458.13833	364.53458				
Corrected Total	5	3546.62833					
Root MSE		19.09279	R-Square	0.5889			
Dependent Mean		200.48333	Adj R-Sq	0.4861			
Coeff Var		9.52338					
Parameter Estimates							
Variable	DF	Parameter Estimate	Standard Error	t value	Pr > t	Type I SS	
Intercept	1	154.78333	20.62257	7.51	0.0017	241161	
DOSE	1	22.85000	9.54639	2.39	0.0749	2088.49000	
Model: MODEL2							
Analysis of Variance							
Source	DF	Sum of Squares	Mean Square	F Value	Pr > F		
Model	2	2306.94333	1153.47167	2.79	0.2067		
Error	3	1239.68500	413.22833				
Corrected Total	5	3546.62833					
Root MSE		20.32802	R-Square	0.6505			
Dependent Mean		200.48333	Adj R-Sq	0.4174			
Coeff Var		10.13951					

Apêndice 20. (continuação) Saída do SAS referente à variável densidade volumétrica verde (DVV) no período de pré-encarneiramento

Variable	DF	Parameter Estimates					Type I SS
		Parameter Estimate	Standard Error	t value	Pr > t		
Intercept	1	197.45000	62.65516	3.15	0.0512	241161	
DOSE	1	-28.35000	71.14806	-0.40	0.7170	2088.49000	
DOSE2	1	12.80000	17.60458	0.73	0.5198	218.45333	

Apêndice 21 Saída do SAS referente à correlação entre as variáveis altura (ALT), massa de forragem (MF) e massa de forragem verde (MFV)

```
*****
          The CORR Procedure
      3 Variables: ALT MF MFV
Covariance Matrix, DF = 169

          ALT           MF           MFV
ALT     87.812       16702.500     8809.273
MF     16702.500     4207513.572   2180510.580
MFV    8809.273     2180510.580   1515280.363

Variable      N      Mean      Std Dev      Sum      Minimum      Maximum
ALT      170  12.85588    9.37080    2186    1.50000    52.50000
MF       170   3329      2051     565905   272.00000   12064
MFV     170   1413      1231     240190   48.10000   6903

Pearson Correlation Coefficients, N = 170
Prob > |r| under H0: Rho=0
          ALT           MF           MFV
ALT     1.00000      0.86894     0.76369
MF      0.86894      <.0001      <.0001
MFV    0.76369      0.86357     1.00000
          <.0001      <.0001
```

Apêndice 22 Saída do SAS referente à variável carga animal (CA) no período de pré-encarneiramento

```
*****
          The GLM Procedure
          Class Level Information
          Class      Levels   Values
          DOSE       3        1 2 3
          PER        4        1 2 3 4
          BL         2        1 2
Number of observations 24
*****
          The GLM Procedure
Dependent Variable: CA
          Sum of
          Source DF     Squares   Mean Square   F Value   Pr > F
          Model 12    205382.9110   17115.2426   2.17      0.1049
          Error  11    86732.3263   7884.7569
          Corrected Total 23    292115.2374

          R-Square   Coeff Var   Root MSE   CA Mean
          0.703089   11.50044   88.79615   772.1108

          Source DF     Type III SS   Mean Square   F Value   Pr > F
          DOSE    2      123174.1673   61587.0837   7.81      0.0077
          PER     3      56660.8205   18886.9402   2.40      0.1238
          BL      1      1056.0267   1056.0267   0.13      0.7213
          DOSE*PER 6      24491.8966   4081.9828   0.52      0.7837

          The REG Procedure
          Model: MODEL1
          Analysis of Variance
          Sum of
          Source DF     Squares   Mean Square   F Value   Pr > F
          Model  1      122311    122311    15.85      0.0006
          Error  22     169804    7718.37111
          Corrected Total 23     292115

          Root MSE   R-Square   Dependent Mean   Adj R-Sq
          87.85426   0.4187   772.11083   0.3923
          Coeff Var   Mean
          11.37845

          Parameter Estimates
          Standard
          Variable DF   Parameter Estimate   Error   t Value   Pr > |t|   Type I SS
          Intercept 1   597.24583   47.44672   12.59   <.0001   14307723
          DOSE      1   87.43250   21.96357   3.98   0.0006   122311

          Model: MODEL2
          Analysis of Variance
          Sum of
          Source DF     Squares   Mean Square   F Value   Pr > F
          Model  2      123174    61587    7.66      0.0032
          Error  21     168941    8044.81286
          Corrected Total 23     292115
```

Apêndice 22 (continuação) Saída do SAS referente à variável carga animal (CA) no período de pré-encarneiramento

Root MSE	89.69288	R-Square	0.4217
Dependent Mean	772.11083	Adj R-Sq	0.3666
Coeff Var	11.61658		
Parameter Estimates			
Variable	DF	Parameter Estimate	Standard Error
Intercept	1	639.65000	138.22601
DOSE	1	36.54750	156.96254
DOSE2	1	12.72125	38.83816
		t value	Pr > t
		4.63	0.0001
		0.23	0.8181
		0.33	0.7465
			Type I SS
			14307723
			122311
			863.09441

The REG Procedure			
Model: MODEL1			
Analysis of Variance			
Source	DF	Sum of Squares	Mean Square
Model	1	18558	18558
Error	22	273557	12434
Corrected Total	23	292115	
Root MSE	111.50974	R-Square	0.0635
Dependent Mean	772.11083	Adj R-Sq	0.0210
Coeff Var	14.44219		
Parameter Estimates			
Variable	DF	Parameter Estimate	Standard Error
Intercept	1	709.03411	56.42642
dia	1	0.90758	0.74290
		t value	Pr > t
		12.57	<.0001
		1.22	0.2348
Model: MODEL2			
Analysis of Variance			
Source	DF	Sum of Squares	Mean Square
Model	2	34452	17226
Error	21	257663	12270
Corrected Total	23	292115	
Root MSE	110.76859	R-Square	0.1179
Dependent Mean	772.11083	Adj R-Sq	0.0339
Coeff Var	14.34620		
Parameter Estimates			
Variable	DF	Parameter Estimate	Standard Error
Intercept	1	576.97113	128.86197
dia	1	5.68570	4.26251
dia2	1	-0.03467	0.03046
		t value	Pr > t
		4.48	0.0002
		1.33	0.1965
		-1.14	0.2679

Apêndice 22 (continuação) Saída do SAS referente à variável carga animal (CA) no período de pré-encarneiramento

Model: MODEL3						
Analysis of Variance						
Source	DF	Sum of Squares	Mean Square	F Value	Pr > F	
Model	3	56661	18887	1.60	0.2199	
Error	20	235454	11773			
Corrected Total	23	292115				
Root MSE		108.50217	R-Square	0.1940		
Dependent Mean		772.11083	Adj R-Sq	0.0731		
Coeff Var		14.05267				
Parameter Estimates						
variable	DF	Parameter Estimate	Standard Error	t value	Pr > t	
Intercept	1	1066.07720	377.81418	2.82	0.0105	
dia	1	-22.29811	20.79768	-1.07	0.2964	
dia2	1	0.41897	0.33163	1.26	0.2210	
dia3	1	-0.00219	0.00159	-1.37	0.1848	
<hr/> DOSE=1 <hr/>						
Model: MODEL1						
Analysis of Variance						
Source	DF	Sum of Squares	Mean Square	F Value	Pr > F	
Model	1	22486	22486	4.53	0.0773	
Error	6	29761	4960.23594			
Corrected Total	7	52247				
Root MSE		70.42894	R-Square	0.4304		
Dependent Mean		688.91875	Adj R-Sq	0.3354		
Coeff Var		10.22311				
Parameter Estimates						
variable	DF	Parameter Estimate	Standard Error	t value	Pr > t	
Intercept	1	568.65936	61.72790	9.21	<.0001	
dia	1	1.73035	0.81270	2.13	0.0773	
Model: MODEL2						
Analysis of Variance						
Source	DF	Sum of Squares	Mean Square	F Value	Pr > F	
Model	2	25075	12537	2.31	0.1951	
Error	5	27172	5434.44732			
Corrected Total	7	52247				
Root MSE		73.71870	R-Square	0.4799		
Dependent Mean		688.91875	Adj R-Sq	0.2719		
Coeff Var		10.70064				

Apêndice 22 (continuação) Saída do SAS referente à variável carga animal (CA) no período de pré-encarneiramento

Variable	DF	Parameter Estimates			
		Parameter Estimate	Standard Error	t value	Pr > t
Intercept	1	476.33710	148.54103	3.21	0.0238
dia	1	5.07063	4.91346	1.03	0.3494
dia2	1	-0.02424	0.03511	-0.69	0.5208

Model: MODEL3					
Analysis of Variance					
Source	DF	Sum of Squares	Mean Square	F Value	Pr > F
Model	3	26088	8695.94111	1.33	0.3822
Error	4	26159	6539.84734		
Corrected Total	7	52247			

Root MSE	80.86932	R-Square	0.4993
Dependent Mean	688.91875	Adj R-Sq	0.1238
Coeff Var	11.73859		

Variable	DF	Parameter Estimates			
		Parameter Estimate	Standard Error	t value	Pr > t
Intercept	1	657.25110	487.73538	1.35	0.2491
dia	1	-5.28022	26.84855	-0.20	0.8537
dia2	1	0.14356	0.42812	0.34	0.7542
dia3	1	-0.00081000	0.00206	-0.39	0.7140

DOSE=2 -----					
Model: MODEL1					
Analysis of Variance					
Source	DF	Sum of Squares	Mean Square	F Value	Pr > F
Model	1	6493.72511	6493.72511	0.85	0.3927
Error	6	45964	7660.71438		
Corrected Total	7	52458			

Root MSE	87.52551	R-Square	0.1238
Dependent Mean	763.63000	Adj R-Sq	-0.0222
Coeff Var	11.46177		

Variable	DF	Parameter Estimates			
		Parameter Estimate	Standard Error	t value	Pr > t
Intercept	1	699.00333	76.71229	9.11	<.0001
dia	1	0.92988	1.00998	0.92	0.3927

Model: MODEL2					
Analysis of Variance					
Source	DF	Sum of Squares	Mean Square	F Value	Pr > F
Model	2	7339.05523	3669.52761	0.41	0.6861
Error	5	45119	9023.79123		
Corrected Total	7	52458			

Apêndice 22 (continuação) Saída do SAS referente à variável carga animal (CA) no período de pré-encarneiramento

Root MSE		94.99364	R-Square	0.1399
Dependent Mean		763.63000	Adj R-Sq	-0.2041
Coeff Var		12.43975		
Parameter Estimates				
Variable DF Parameter Estimate Standard Error t value Pr > t				
Intercept	1	646.25137	191.40940	3.38 0.0198
dia	1	2.83848	6.33146	0.45 0.6727
dia2	1	-0.01385	0.04525	-0.31 0.7719
Model: MODEL3				
Analysis of Variance				
Source DF Sum of Squares Mean Square F Value Pr > F				
Model	3	12939	4313.03877	0.44 0.7391
Error	4	39519	9879.72377	
Corrected Total	7	52458		
Root MSE		99.39680	R-Square	0.2467
Dependent Mean		763.63000	Adj R-Sq	-0.3184
Coeff Var		13.01636		
Parameter Estimates				
Variable DF Parameter Estimate Standard Error t value Pr > t				
Intercept	1	1071.65048	599.47746	1.79 0.1484
dia	1	-21.50039	32.99966	-0.65 0.5502
dia2	1	0.38071	0.52620	0.72 0.5094
dia3	1	-0.00190	0.00253	-0.75 0.4934
DOSE=3 -----				
Model: MODEL1				
Analysis of Variance				
Source DF Sum of Squares Mean Square F Value Pr > F				
Model	1	29.34094	29.34094	0.00 0.9599
Error	6	64207	10701	
Corrected Total	7	64236		
Root MSE		103.44604	R-Square	0.0005
Dependent Mean		863.78375	Adj R-Sq	-0.1661
Coeff Var		11.97592		
Parameter Estimates				
Variable DF Parameter Estimate Standard Error t value Pr > t				
Intercept	1	859.43963	90.66594	9.48 <.0001
dia	1	0.06251	1.19370	0.05 0.9599

Apêndice 22 (continuação) Saída do SAS referente à variável carga animal (CA) no período de pré-encarneiramento

Model: MODEL2						
Analysis of Variance						
Source	DF	Sum of Squares	Mean Square	F Value	Pr > F	
Model	2	19185	9592.42179	1.06	0.4119	
Error	5	45051	9010.20048			
Corrected Total	7	64236				
Root MSE		94.92208	R-Square	0.2987		
Dependent Mean		863.78375	Adj R-Sq	0.0181		
Coeff Var		10.98910				
Parameter Estimates						
variable	DF	Parameter Estimate	Standard Error	t value	Pr > t	
Intercept	1	608.32491	191.26521	3.18	0.0245	
dia	1	9.14799	6.32670	1.45	0.2078	
dia2	1	-0.06593	0.04521	-1.46	0.2046	
Model: MODEL3						
Analysis of Variance						
Source	DF	Sum of Squares	Mean Square	F Value	Pr > F	
Model	3	42126	14042	2.54	0.1947	
Error	4	22110	5527.51714			
Corrected Total	7	64236				
Root MSE		74.34727	R-Square	0.6558		
Dependent Mean		863.78375	Adj R-Sq	0.3976		
Coeff Var		8.60716				
Parameter Estimates						
variable	DF	Parameter Estimate	Standard Error	t value	Pr > t	
Intercept	1	1469.33003	448.39990	3.28	0.0306	
dia	1	-40.11372	24.68324	-1.63	0.1795	
dia2	1	0.73266	0.39359	1.86	0.1362	
dia3	1	-0.00385	0.00189	-2.04	0.1113	

Apêndice 23 Saída do SAS referente à variável condição corporal (CC) no período de pré-encarneiramento

```
*****
          The GLM Procedure
          Class Level Information
          Class      Levels   Values
          DOSE       3        1 2 3
          PER        4        1 2 3 4
          BL         2        1 2
Number of observations 24
*****
          The GLM Procedure
Dependent Variable: CC
          Sum of
          Source DF     Squares   Mean Square   F Value   Pr > F
          Model  12    0.63833333  0.05319444  3.23      0.0308
          Error   11    0.18125000  0.01647727
          Corrected Total 23    0.81958333
          R-Square   Coeff Var   Root MSE   CC Mean
          0.778851   5.958862   0.128364   2.154167
          Source DF     Type III SS   Mean Square   F Value   Pr > F
          DOSE    2      0.02583333  0.01291667  0.78      0.4805
          PER     3      0.56791667  0.18930556  11.49     0.0010
          BL      1      0.00375000  0.00375000  0.23      0.6427
          DOSE*PER 6      0.04083333  0.00680556  0.41      0.8556
          The REG Procedure
          Model: MODEL1
          Analysis of Variance
          Sum of
          Source DF     Squares   Mean Square   F Value   Pr > F
          Model   1      0.01563   0.01563   0.43      0.5200
          Error   22     0.80396   0.03654
          Corrected Total 23     0.81958
          Root MSE   R-Square
          Dependent Mean   2.15417   0.0191
          Coeff Var   8.87414   Adj R-Sq   -0.0255
          Parameter Estimates
          Standard
          Variable DF     Parameter Estimate   Error   t value   Pr > |t|   Type I SS
          Intercept 1      2.21667
          DOSE      1      -0.03125   0.10324   21.47    <.0001   111.37042
                                         0.04779   -0.65      0.5200   0.01563
          Model: MODEL2
          Analysis of Variance
          Sum of
          Source DF     Squares   Mean Square   F Value   Pr > F
          Model   2      0.02583   0.01292   0.34      0.7144
          Error   21     0.79375   0.03780
          Corrected Total 23     0.81958
```

Apêndice 23 (continuação) Saída do SAS referente à variável condição corporal (CC) no período de pré-encarneiramento

Root MSE	0.19442	R-Square	0.0315
Dependent Mean	2.15417	Adj R-Sq	-0.0607
Coeff Var	9.02512		
Parameter Estimates			
Variable	DF	Parameter Estimate	Standard Error
Intercept	1	2.36250	0.29962
DOSE	1	-0.20625	0.34023
DOSE2	1	0.04375	0.08418

The REG Procedure			
Model: MODEL1			
Analysis of Variance			
Source	DF	Sum of Squares	Mean Square
Model	1	0.24404	0.24404
Error	22	0.57554	0.02616
Corrected Total	23	0.81958	
Root MSE	0.16174	R-Square	0.2978
Dependent Mean	2.15417	Adj R-Sq	0.2658
Coeff Var	7.50842		
Parameter Estimates			
Variable	DF	Parameter Estimate	Standard Error
Intercept	1	2.38290	0.08185
dia	1	-0.00329	0.00108
Model: MODEL2			
Analysis of Variance			
Source	DF	Sum of Squares	Mean Square
Model	2	0.53422	0.26711
Error	21	0.28536	0.01359
Corrected Total	23	0.81958	
Root MSE	0.11657	R-Square	0.6518
Dependent Mean	2.15417	Adj R-Sq	0.6187
Coeff Var	5.41140		
Parameter Estimates			
Variable	DF	Parameter Estimate	Standard Error
Intercept	1	2.94719	0.13561
dia	1	-0.02371	0.00449
dia2	1	0.00014814	0.00003206

Apêndice 23. (continuação) Saída do SAS referente à variável condição corporal (CC) no período de pré-encarneiramento

Model: MODEL3					
Analysis of Variance					
Source	DF	Sum of Squares	Mean Square	F Value	Pr > F
Model	3	0.56792	0.18931	15.04	<.0001
Error	20	0.25167	0.01258		
Corrected Total	23	0.81958			
Root MSE		0.11218	R-Square	0.6929	
Dependent Mean		2.15417	Adj R-Sq	0.6469	
Coeff Var		5.20737			
Parameter Estimates					
Variable	DF	Parameter Estimate	Standard Error	t value	Pr > t
Intercept	1	2.34472	0.39060	6.00	<.0001
dia	1	0.01076	0.02150	0.50	0.6222
dia2	1	-0.00041064	0.00034286	-1.20	0.2450
dia3	1	0.00000270	0.00000165	1.64	0.1174

Apêndice 24. Saída do SAS referente à variável ganho médio diário (GMD) e GMD somado à constante (GMDT) no período de pré-encarneiramento

```
*****
          The GLM Procedure
          Class Level Information
          Class      Levels   Values
DOSE           3       1 2 3
PER            4       1 2 3 4
BL             2       1 2
Number of observations 24
*****
          The GLM Procedure
Dependent Variable: GMD
          Sum of
Source        DF    Squares   Mean Square   F Value   Pr > F
Model         12   0.02100850   0.00175071   1.47     0.2639
Error         11   0.01305946   0.00118722
Corrected Total 23   0.03406796
          R-Square   Coeff Var   Root MSE   GMD Mean
          0.616664    146.8822    0.034456   0.023458
          Source        DF    Type III SS   Mean Square   F Value   Pr > F
DOSE          2     0.00005908   0.00002954   0.02     0.9755
PER           3     0.01608746   0.00536249   4.52     0.0268
BL            1     0.00001204   0.00001204   0.01     0.9216
DOSE*PER      6     0.00484992   0.00080832   0.68     0.6691
          The REG Procedure
          Model: MODEL1
          Analysis of Variance
          Sum of
Source        DF    Squares   Mean Square   F Value   Pr > F
Model         1     0.00004900   0.00004900   0.03     0.8603
Error         22    0.03402    0.00155
Corrected Total 23    0.03407
          Root MSE   R-Square   Dependent Mean   Adj R-Sq
          0.03932    0.0014     0.02346   -0.0440
          Coeff Var   167.63010
          Parameter Estimates
          Standard
Variable      DF   Parameter Estimate   Error   t value   Pr > |t|   Type I SS
Intercept     1     Parameter Estimate   0.02696   0.02124   1.27    0.2176   0.01321
DOSE          1     -0.00175   0.00983   -0.18    0.8603   0.00004900
          Model: MODEL2
          Analysis of Variance
          Sum of
Source        DF    Squares   Mean Square   F Value   Pr > F
Model         2     0.00005908   0.00002954   0.02     0.9819
Error         21    0.03401    0.00162
Corrected Total 23    0.03407
```

Apêndice 24. (continuação) Saída do SAS referente à variável ganho médio diário (GMD) e GMD somado à constante (GMDT) no período de pré-encarneiramento

Root MSE	0.04024	R-Square	0.0017
Dependent Mean	0.02346	Adj R-Sq	-0.0933
Coeff Var	171.54945		
Parameter Estimates			
		Standard	
Variable	DF	Parameter Estimate	Error
Intercept	1	0.02237	0.06202
DOSE	1	0.00375	0.07042
DOSE2	1	-0.00138	0.01743

The REG Procedure			
Model: MODEL1			
Analysis of Variance			
Source	DF	Sum of Squares	Mean Square
Model	1	0.00511	0.00511
Error	22	0.02896	0.00132
Corrected Total	23	0.03407	
Root MSE	0.03628	R-Square	0.1499
Dependent Mean	0.02346	Adj R-Sq	0.1112
Coeff Var	154.67000		
Parameter Estimates			
		Standard	
Variable	DF	Parameter Estimate	Error
Intercept	1	-0.00963	0.01836
dia	1	0.00047605	0.00024173
Model: MODEL2			
Analysis of Variance			
Source	DF	Sum of Squares	Mean Square
Model	2	0.01498	0.00749
Error	21	0.01909	0.00090892
Corrected Total	23	0.03407	
Root MSE	0.03015	R-Square	0.4397
Dependent Mean	0.02346	Adj R-Sq	0.3864
Coeff Var	128.51861		
Parameter Estimates			
		Standard	
Variable	DF	Parameter Estimate	Error
Intercept	1	0.09447	0.03507
dia	1	-0.00329	0.00116
dia2	1	0.00002733	0.00000829

Apêndice 24. (continuação) Saída do SAS referente à variável ganho médio diário (GMD) e GMD somado à constante (GMDT) no período de pré-encarneiramento

```

Model: MODEL3
Analysis of Variance
Source      DF      Sum of Squares      Mean Square      F Value      Pr > F
Model          3       0.01609        0.00536        5.96       0.0045
Error         20       0.01798        0.00089902
Corrected Total 23       0.03407

Root MSE      0.02998      R-Square      0.4722
Dependent Mean 0.02346      Adj R-Sq      0.3930
Coeff Var    127.81703

Parameter Estimates
Variable      DF      Parameter Estimate      Standard Error      t value      Pr > |t|
Intercept     1       -0.01472        0.10441        -0.14       0.8893
dia           1        0.00296        0.00575        0.51       0.6125
dia2          1       -0.00007395      0.00009164      -0.81       0.4292
dia3          1       4.88871E-7       4.405912E-7      1.11       0.2803
*****
The GLM Procedure
Class Level Information
Class      Levels      Values
DOSE        3          1 2 3
PER         4          1 2 3 4
BL          2          1 2

Number of observations      24
*****
The GLM Procedure
Dependent Variable: GMDT
Source      DF      Sum of Squares      Mean Square      F Value      Pr > F
Model          12      0.02100850      0.00175071      1.47       0.2639
Error         11      0.01305946      0.00118722
Corrected Total 23      0.03406796

R-Square      0.616664      Coeff Var      10.65241      Root MSE      0.034456      GMD Mean      0.323458

Source      DF      Type III SS      Mean Square      F Value      Pr > F
DOSE        2       0.00005908      0.00002954      0.02       0.9755
PER         3       0.01608746      0.00536249      4.52       0.0268
BL          1       0.00001204      0.00001204      0.01       0.9216
DOSE*PER     6       0.00484992      0.00080832      0.68       0.6691

```

Apêndice 24. (continuação) Saída do SAS referente à variável ganho médio diário (GMD) e GMD somado à constante (GMDT) no período de pré-encarneiramento

```
*****
***** The REG Procedure *****
***** Model: MODEL1 *****
***** Analysis of Variance *****
Source DF Sum of Squares Mean Square F Value Pr > F
Model 1 0.00511 0.00511 3.88 0.0616
Error 22 0.02896 0.00132
Corrected Total 23 0.03407

Root MSE 0.03628 R-Square 0.1499
Dependent Mean 0.32346 Adj R-Sq 0.1112
Coeff Var 11.21721

***** Parameter Estimates *****
Variable DF Parameter Estimate Standard Error t value Pr > |t|
Intercept 1 0.29037 0.01836 15.82 <.0001
dia 1 0.00047605 0.00024173 1.97 0.0616

***** Model: MODEL2 *****
***** Analysis of Variance *****
Source DF Sum of Squares Mean Square F Value Pr > F
Model 2 0.01498 0.00749 8.24 0.0023
Error 21 0.01909 0.00090892
Corrected Total 23 0.03407

Root MSE 0.03015 R-Square 0.4397
Dependent Mean 0.32346 Adj R-Sq 0.3864
Coeff Var 9.32062

***** Parameter Estimates *****
Variable DF Parameter Estimate Standard Error t value Pr > |t|
Intercept 1 0.39447 0.03507 11.25 <.0001
dia 1 -0.00329 0.00116 -2.84 0.0099
dia2 1 0.00002733 0.00000829 3.30 0.0034

***** Model: MODEL3 *****
***** Analysis of Variance *****
Source DF Sum of Squares Mean Square F Value Pr > F
Model 3 0.01609 0.00536 5.96 0.0045
Error 20 0.01798 0.00089902
Corrected Total 23 0.03407

Root MSE 0.02998 R-Square 0.4722
Dependent Mean 0.32346 Adj R-Sq 0.3930
Coeff Var 9.26974
```

Apêndice 24. (continuação) Saída do SAS referente à variável ganho médio diário (GMD) e GMD somado à constante (GMDT) no período de pré-encarneiramento

variable	DF	Parameter Estimates			
		Parameter	Standard	t value	Pr > t
Intercept	1	0.28528	0.10441	2.73	0.0128
dia	1	0.00296	0.00575	0.51	0.6125
dia2	1	-0.00007395	0.00009164	-0.81	0.4292
dia3	1	4.88871E-7	4.405912E-7	1.11	0.2803

Apêndice 25. Saída do SAS referente à correlação entre as variáveis oferta de forragem verde (OFV) e ganho médio diário (GMD)

```
*****
          The CORR Procedure
          2 Variables: OFV      GMD
Covariance Matrix, DF = 23
          OFV      GMD
OFV    3.876521739   0.049421739
GMD    0.049421739   0.001481216

Variable      N      Mean      Std Dev      Sum      Minimum      Maximum
OFV        24    5.00000    1.96889   120.00000    2.20000    8.70000
GMD        24    0.02346    0.03849    0.56300   -0.03300   0.11700

Pearson Correlation Coefficients, N = 24
          Prob > |r| under H0: Rho=0
          OFV      GMD
OFV    1.00000   0.65221
GMD    0.65221   1.00000
          0.0006
```

Apêndice 26. Saída do SAS referente à variável ganho por área (GPA) e GPA somado à constante (GPAT) no período de pré-encarneiramento

```
*****
          The GLM Procedure
          Class Level Information
          Class      Levels   Values
          DOSE       3        1 2 3
          PER        4        1 2 3 4
          BL         2        1 2
Number of observations 24
*****
          The GLM Procedure
Dependent Variable: GPA
          Sum of
          Source    DF     Squares   Mean Square   F Value   Pr > F
          Model    12    5600.863183   466.738599   1.34      0.3170
          Error    11    3828.281812   348.025619
          Corrected Total 23    9429.144996

          R-Square   Coeff Var   Root MSE   GPA Mean
          0.593995  162.6160   18.65544   11.47208

          Source    DF     Type III SS   Mean Square   F Value   Pr > F
          DOSE      2      26.451633   13.225817   0.04      0.9628
          PER       3      4241.521379  1413.840460   4.06      0.0361
          BL        1      26.649337   26.649337   0.08      0.7871
          DOSE*PER  6      1306.240833  217.706806   0.63      0.7075

          The REG Procedure
          Model: MODEL1
          Analysis of Variance
          Sum of
          Source    DF     Squares   Mean Square   F Value   Pr > F
          Model    1      3.29422   3.29422   0.01      0.9309
          Error    22    9425.85077  428.44776
          Corrected Total 23    9429.14500

          Root MSE   R-Square   Dependent Mean   Adj R-Sq
          20.69898   0.0003   11.47208   -0.0451
          Coeff Var  180.42913

          Parameter Estimates
          Standard
          Variable  DF   Parameter Estimate   Error   t value   Pr > |t|   Type I SS
          Intercept 1   Parameter Estimate   Error   t value   Pr > |t|   Type I SS
          DOSE      1   12.37958   11.17873   1.11      0.2801   3158.60870
          -0.45375   5.17474   -0.09      0.9309   3.29422

          Model: MODEL2
          Analysis of Variance
          Sum of
          Source    DF     Squares   Mean Square   F Value   Pr > F
          Model    2      26.45163   13.22582   0.03      0.9709
          Error    21    9402.69336  447.74730
          Corrected Total 23    9429.14500
```

Apêndice 26. (continuação) Saída do SAS referente à variável ganho por área (GPA) e GPA somado à constante (GPAT) no período de pré-encarneiramento

```

Root MSE           21.16004      R-Square       0.0028
Dependent Mean    11.47208      Adj R-Sq      -0.0922
Coeff Var         184.44810

Parameter Estimates
Variable DF Parameter Estimate Standard Error t value Pr > |t| Type I SS
Intercept 1   Estimate      5.43375   32.60981   0.17   0.8693 3158.60870
DOSE      1   Estimate      7.88125   37.03007   0.21   0.8335 3.29422
DOSE2     1   Estimate     -2.08375   9.16257   -0.23   0.8223 23.15741

*****The REG Procedure*****
Model: MODEL1
Analysis of Variance
Source DF Sum of Squares Mean Square F Value Pr > F
Model 1 1450.75536 1450.75536 4.00 0.0580
Error 22 7978.38964 362.65407
Corrected Total 23 9429.14500

Root MSE           19.04348      R-Square       0.1539
Dependent Mean    11.47208      Adj R-Sq      0.1154
Coeff Var         165.99843

Parameter Estimates
Variable DF Parameter Estimate Standard Error t value Pr > |t|
Intercept 1   Estimate      -6.16397   9.63643   -0.64   0.5290
dia       1   Estimate      0.25376   0.12687   2.00   0.0580

Model: MODEL2
Dependent Variable: GPA
Analysis of Variance
Source DF Sum of Squares Mean Square F Value Pr > F
Model 2 3815.49589 1907.74794 7.14 0.0043
Error 21 5613.64911 267.31662
Corrected Total 23 9429.14500

Root MSE           16.34982      R-Square       0.4046
Dependent Mean    11.47208      Adj R-Sq      0.3479
Coeff Var         142.51832

Parameter Estimates
Variable DF Parameter Estimate Standard Error t value Pr > |t|
Intercept 1   Estimate      44.77575   19.02046   2.35   0.0284
dia       1   Estimate      -1.58927   0.62916   -2.53   0.0196
dia2      1   Estimate      0.01337   0.00450   2.97   0.0072

```

Apêndice 26. (continuação) Saída do SAS referente à variável ganho por área (GPA) e GPA somado à constante (GPAT) no período de pré-encarneiramento

```

Model: MODEL3
Analysis of Variance
Source      DF      Sum of Squares      Mean Square      F Value      Pr > F
Model          3      4241.52138      1413.84046      5.45      0.0066
Error         20      5187.62362      259.38118
Corrected Total 23      9429.14500

Root MSE      16.10532      R-Square      0.4498
Dependent Mean 11.47208      Adj R-Sq      0.3673
Coeff Var     140.38701

Parameter Estimates
Variable      DF      Parameter Estimate      Standard Error      t value      Pr > |t|
Intercept      1      -22.96615      56.08014      -0.41      0.6865
dia            1      2.28652      3.08706      0.74      0.4675
dia2           1      -0.04946      0.04923      -1.00      0.3270
dia3           1      0.00030330      0.00023666      1.28      0.2146
*****
The GLM Procedure
Class Level Information
Class      Levels      Values
DOSE        3      1 2 3
PER         4      1 2 3 4
BL          2      1 2

Number of observations      24
*****
The GLM Procedure
Dependent Variable: GPAT
Source      DF      Sum of Squares      Mean Square      F Value      Pr > F
Model          12      5600.863183      466.738599      1.34      0.3170
Error         11      3828.281813      348.025619
Corrected Total 23      9429.144996

R-Square      Coeff Var      Root MSE      GPA Mean
0.593995      16.73553      18.65544      111.4721

Source      DF      Type III SS      Mean Square      F Value      Pr > F
DOSE         2      26.451633      13.225817      0.04      0.9628
PER          3      4241.521379      1413.840460      4.06      0.0361
BL           1      26.649337      26.649337      0.08      0.7871
DOSE*PER      6      1306.240833      217.706806      0.63      0.7075

```

Apêndice 26. (continuação) Saída do SAS referente à variável ganho por área (GPA) e GPA somado à constante (GPAT) no período de pré-encarneiramento

```

The REG Procedure
Model: MODEL1
Analysis of Variance
Sum of Mean
Source DF Squares Square F Value Pr > F
Model 1 3.29422 3.29422 0.01 0.9309
Error 22 9425.85077 428.44776
Corrected Total 23 9429.14500

Root MSE 20.69898 R-Square 0.0003
Dependent Mean 111.47208 Adj R-Sq -0.0451
Coeff Var 18.56876

Parameter Estimates
Standard
Variable DF Parameter Estimate Error t value Pr > |t| Type I SS
Intercept 1 112.37958 11.17873 10.05 <.0001 298225
DOSE 1 -0.45375 5.17474 -0.09 0.9309 3.29422

Model: MODEL2
Analysis of Variance
Sum of Mean
Source DF Squares Square F Value Pr > F
Model 2 26.45163 13.22582 0.03 0.9709
Error 21 9402.69336 447.74730
Corrected Total 23 9429.14500

Root MSE 21.16004 R-Square 0.0028
Dependent Mean 111.47208 Adj R-Sq -0.0922
Coeff Var 18.98237

Parameter Estimates
Standard
Variable DF Parameter Estimate Error t value Pr > |t| Type I SS
Intercept 1 105.43375 32.60981 3.23 0.0040 298225
DOSE 1 7.88125 37.03007 0.21 0.8335 3.29422
DOSE2 1 -2.08375 9.16257 -0.23 0.8223 23.15741
*****
```

The REG Procedure

Model: MODEL1

Analysis of Variance

Source	DF	Sum of Squares	Mean Square	F Value	Pr > F
Model	1	1450.75536	1450.75536	4.00	0.0580
Error	22	7978.38964	362.65407		
Corrected Total	23	9429.14500			

	Root MSE	R-Square	Dependent Mean	Adj R-Sq	Coeff Var
Root MSE	19.04348	0.1539			
Dependent Mean	111.47208	0.1154			
Coeff Var	17.08363				

Apêndice 26. (continuação) Saída do SAS referente à variável ganho por área (GPA) e GPA somado à constante (GPAT) no período de pré-encarneiramento

Parameter Estimates					
variable	DF	Parameter Estimate	Standard Error	t value	Pr > t
Intercept	1	93.83603	9.63643	9.74	<.0001
dia	1	0.25376	0.12687	2.00	0.0580
Model: MODEL2					
Analysis of Variance					
Source	DF	Sum of Squares	Mean Square	F Value	Pr > F
Model	2	3815.49589	1907.74794	7.14	0.0043
Error	21	5613.64911	267.31662		
Corrected Total	23	9429.14500			
Root MSE		16.34982	R-Square	0.4046	
Dependent Mean		111.47208	Adj R-Sq	0.3479	
Coeff Var		14.66719			
Parameter Estimates					
variable	DF	Parameter Estimate	Standard Error	t value	Pr > t
Intercept	1	144.77575	19.02046	7.61	<.0001
dia	1	-1.58927	0.62916	-2.53	0.0196
dia2	1	0.01337	0.00450	2.97	0.0072
Model: MODEL3					
Analysis of Variance					
Source	DF	Sum of Squares	Mean Square	F Value	Pr > F
Model	3	4241.52138	1413.84046	5.45	0.0066
Error	20	5187.62362	259.38118		
Corrected Total	23	9429.14500			
Root MSE		16.10532	R-Square	0.4498	
Dependent Mean		111.47208	Adj R-Sq	0.3673	
Coeff Var		14.44785			
Parameter Estimates					
variable	DF	Parameter Estimate	Standard Error	t value	Pr > t
Intercept	1	77.03385	56.08014	1.37	0.1848
dia	1	2.28652	3.08706	0.74	0.4675
dia2	1	-0.04946	0.04923	-1.00	0.3270
dia3	1	0.00030330	0.00023666	1.28	0.2146

Apêndice 27. Saída do SAS referente à variável desaparecimento em % PV (DPV) no período de pré-encarneiramento

```
*****
          The GLM Procedure
          Class Level Information
          Class      Levels   Values
          DOSE       3        1 2 3
          PER        4        1 2 3 4
          BL         2        1 2
Number of observations 24
*****
          The GLM Procedure
Dependent Variable: DPV
          Sum of
          Source    DF     Squares   Mean Square   F Value   Pr > F
          Model    12    44.80645000  3.73387083  0.84      0.6173
          Error    11    48.91488333  4.44680758
          Corrected Total 23    93.72133333

          R-Square   Coeff Var   Root MSE   DPV Mean
          0.478082    71.16127    2.108745    2.963333

          Source    DF     Type III SS   Mean Square   F Value   Pr > F
          DOSE      2      1.30785833  0.65392917  0.15      0.8649
          PER       3      13.69263333  4.56421111  1.03      0.4184
          BL        1      0.00041667  0.00041667  0.00      0.9925
          DOSE*PER  6      29.80554167  4.96759028  1.12      0.4122

          The REG Procedure
          Model: MODEL1
          Analysis of Variance
          Sum of
          Source    DF     Squares   Mean Square   F Value   Pr > F
          Model    1      0.27826   0.27826   0.07      0.8004
          Error    22     93.44308   4.24741
          Corrected Total 23     93.72133

          Root MSE   R-Square   Dependent Mean   Adj R-Sq
          2.06093    0.0030
          Coeff Var   2.96333   69.54753   -0.0424

          Parameter Estimates
          Standard
          Variable  DF   Parameter Estimate   Error   t value   Pr > |t|   Type I SS
          Intercept 1   Parameter Estimate   2.69958   1.11303   2.43      0.0239   210.75227
          DOSE      1   Parameter Estimate   0.13187   0.51523   0.26      0.8004   0.27826

          Model: MODEL2
          Analysis of Variance
          Sum of
          Source    DF     Squares   Mean Square   F Value   Pr > F
          Model    2      1.30786   0.65393   0.15      0.8628
          Error    21     92.41348   4.40064
          Corrected Total 23     93.72133
```

Apêndice 27. (continuação) Saída do SAS referente à variável desaparecimento em % PV (DPV) no período de pré-encarneiramento

Root MSE	2.09777	R-Square	0.0140	
Dependent Mean	2.96333	Adj R-Sq	-0.0800	
Coeff Var	70.79091			
Parameter Estimates				
Variable	DF	Parameter Estimate	Standard Error	
Intercept	1	1.23500	3.23288	
DOSE	1	1.88937	3.67110	
DOSE2	1	-0.43937	0.90836	
		t value	Pr > t	
		0.38	0.7063	
		0.51	0.6122	
		-0.48	0.6336	
			Type I SS	
			210.75227	
			0.27826	
			1.02960	

The REG Procedure				
Model: MODEL1				
Analysis of Variance				
Source	DF	Sum of Squares	Mean Square	
Model	1	12.76313	12.76313	
Error	22	80.95820	3.67992	
Corrected Total	23	93.72133		
Root MSE		1.91831	R-Square	0.1362
Dependent Mean		2.96333	Adj R-Sq	0.0969
Coeff Var		64.73491		
Parameter Estimates				
Variable	DF	Parameter Estimate	Standard Error	
Intercept	1	1.30915	0.97071	
dia	1	0.02380	0.01278	
		t value	Pr > t	
		1.35	0.1912	
		1.86	0.0760	
Model: MODEL2				
Analysis of Variance				
Source	DF	Sum of Squares	Mean Square	
Model	2	13.37653	6.68826	
Error	21	80.34480	3.82594	
Corrected Total	23	93.72133		
Root MSE		1.95600	R-Square	0.1427
Dependent Mean		2.96333	Adj R-Sq	0.0611
Coeff Var		66.00681		
Parameter Estimates				
Variable	DF	Parameter Estimate	Standard Error	
Intercept	1	2.12957	2.27550	
dia	1	-0.00588	0.07527	
dia2	1	0.00021539	0.00053792	
		t value	Pr > t	
		0.94	0.3600	
		-0.08	0.9385	
		0.40	0.6929	

Apêndice 27. (continuação) Saída do SAS referente à variável desaparecimento em % PV (DPV) no período de pré-encarneiramento

Model: MODEL3					
Analysis of Variance					
Source	DF	Sum of Squares	Mean Square	F Value	Pr > F
Model	3	13.69263	4.56421	1.14	0.3568
Error	20	80.02870	4.00143		
Corrected Total	23	93.72133			
Root MSE		2.00036	R-Square	0.1461	
Dependent Mean		2.96333	Adj R-Sq	0.0180	
Coeff Var		67.50367			
Parameter Estimates					
Variable	DF	Parameter Estimate	Standard Error	t Value	Pr > t
Intercept	1	3.97482	6.96543	0.57	0.5746
dia	1	-0.11146	0.38343	-0.29	0.7743
dia2	1	0.00193	0.00611	0.32	0.7559
dia3	1	-0.00000826	0.00002939	-0.28	0.7815

Apêndice 28. Saída do SAS referente às variáveis massa de forragem (MF), massa de forragem verde (MFV), oferta de forragem (OF) e ofertade forragem vaerde (OFV), carga animal (CA), ganho médioa diário (GMD) e GMD somado à constante (GMDT) – pré-encarneiramento x encarneiramento

The GLM Procedure					
Class Level Information					
Class	Levels	Values			
DOSE	3	1 2 3			
PER	2	1 2			
BL	2	1 2			
Number of observations 12					
Dependent Variable: MF					
Source	DF	Sum of Squares		Mean Square	F Value
Model	6	3112139.137		518689.856	12.43
Error	5	208638.980		41727.796	
Corrected Total	11	3320778.117			
R-Square		Coeff Var	Root MSE	MF Mean	
0.937172		8.030786	204.2738	2543.634	
Source	DF	Type III SS	Mean Square	F Value	Pr > F
DOSE	2	611061.027	305530.514	7.32	0.0327
PER	1	2202824.261	2202824.261	52.79	0.0008
BL	1	296777.927	296777.927	7.11	0.0445
DOSE*PER	2	1475.922	737.961	0.02	0.9825
Dependent Variable: OF					
Source	DF	Sum of Squares		Mean Square	F Value
Model	6	19.0100000		3.16833333	1.21
Error	5	13.13666667		2.62733333	
Corrected Total	11	32.14666667			
R-Square		Coeff Var	Root MSE	OF Mean	
0.591352		11.38809	1.620905	14.23333	
Source	DF	Type III SS	Mean Square	F Value	Pr > F
DOSE	2	3.86166667	1.93083333	0.73	0.5250
PER	1	0.21333333	0.21333333	0.08	0.7871
BL	1	14.08333333	14.08333333	5.36	0.0685
DOSE*PER	2	0.85166667	0.42583333	0.16	0.8547
Dependent Variable: OFV					
Source	DF	Sum of Squares		Mean Square	F Value
Model	6	45.1800000		7.53000000	11.08
Error	5	3.39666667		0.67933333	
Corrected Total	11	48.57666667			

Apêndice 28. (continuação) Saída do SAS referente às variáveis massa de forragem (MF), massa de forragem verde (MFV), oferta de forragem (OF) e ofertade forragem vaerde (OFV), carga animal (CA), ganho médioa diário (GMD) e GMD somado à constante (GMDT) – pré-encarneiramento x encarneiramento

	R-Square	Coeff Var	Root MSE	OFV	Mean
Source	0.930076	12.27122	0.824217	6.716667	
	DF	Type III SS	Mean Square	F Value	Pr > F
DOSE	2	4.63166667	2.31583333	3.41	0.1164
PER	1	35.36333333	35.36333333	52.06	0.0008
BL	1	1.61333333	1.61333333	2.37	0.1839
DOSE*PER	2	3.57166667	1.78583333	2.63	0.1659

The GLM Procedure					
Dependent Variable: CA					
Source	DF	Sum of Squares	Mean Square	F Value	Pr > F
Model	6	199604.0050	33267.3342	8.58	0.0161
Error	5	19391.9242	3878.3848		
Corrected Total	11	218995.9292			
R-Square	Coeff Var	Root MSE	CA	Mean	
0.911451	7.538561	62.27668	826.1083		
Source	DF	Type III SS	Mean Square	F Value	Pr > F
DOSE	2	139689.2317	69844.6158	18.01	0.0052
PER	1	34981.2008	34981.2008	9.02	0.0300
BL	1	6435.7008	6435.7008	1.66	0.2541
DOSE*PER	2	18497.8717	9248.9358	2.38	0.1874

The GLM Procedure					
Dependent Variable: GMD					
Source	DF	Sum of Squares	Mean Square	F Value	Pr > F
Model	6	0.03128700	0.00521450	30.26	0.0009
Error	5	0.00086167	0.00017233		
Corrected Total	11	0.03214867			
R-Square	Coeff Var	Root MSE	GMD	Mean	
0.973197	-48.02773	0.013128	-0.027333		
Source	DF	Type III SS	Mean Square	F Value	Pr > F
DOSE	2	0.00004017	0.00002008	0.12	0.8923
PER	1	0.03080533	0.03080533	178.75	<.0001
BL	1	0.00040833	0.00040833	2.37	0.1844
DOSE*PER	2	0.00003317	0.00001658	0.10	0.9099

The GLM Procedure					
Dependent Variable: GMDT					
Source	DF	Sum of Squares	Mean Square	F Value	Pr > F
Model	6	0.03128700	0.00521450	30.26	0.0009
Error	5	0.00086167	0.00017233		
Corrected Total	11	0.03214867			

Apêndice 28. (continuação) Saída do SAS referente às variáveis massa de forragem (MF), massa de forragem verde (MFV), oferta de forragem (OF) e ofertade forragem vaerde (OFV), carga animal (CA), ganho médioa diário (GMD) e GMD somado à constante (GMDT) – pré-encarneiramento x encarneiramento

	R-Square	Coeff Var	Root MSE	GMD Mean
	0.973197	4.814516	0.013128	0.272667
Source	DF	Type III SS	Mean Square	F Value
DOSE	2	0.00004017	0.00002008	0.12
PER	1	0.03080533	0.03080533	178.75
BL	1	0.00040833	0.00040833	2.37
DOSE*PER	2	0.00003317	0.00001658	0.10

Apêndice 29. Saída do SAS referente à porcentagem de carneiros

```
*****
          The GLM Procedure
          Class Level Information
          Class      Levels   Values
          dose        3       1 2 3
          bloco      2       1 2
          Number of observations   6
*****
          The GLM Procedure
Dependent Variable: Porcentagem de Carneiros

          Sum of
Source      DF      Squares      Mean Square      F Value      Pr > F
Model       3      7.22833333  2.40944444  10.04       0.0919
Error       2      0.48000000  0.24000000
Corrected Total  5      7.70833333

          R-Square      Coeff Var      Root MSE      porctcarneiro Mean
          0.937730     4.907158     0.489898      9.983333

          Source      DF      Type III SS      Mean Square      F Value      Pr > F
DOSE        2      3.85333333  1.92666667  8.03       0.1108
BLOCO       1      3.37500000  3.37500000 14.06       0.0643
*****
```

Apêndice 30. Saída do SAS referente à 1º sincronização (MONTA)

```
The FREQ Procedure
Table of DOSE by MONTA

DOSE      MONTA
Frequency,          Total
Percent,           14
Row Pct,           35.90
Col Pct,           13
          0, 1
          , 13
          , 14
          , 2.56
          , 33.33
          , 7.14
          , 92.86
          , 25.00
          , 37.14
          , 7.69
          , 25.64
          , 23.08
          , 76.92
          , 75.00
          , 28.57
          , 0.00
          , 30.77
          , 0.00
          , 100.00
          , 0.00
          , 34.29
          , 4
          , 35
          , 39
          , 10.26
          , 89.74
          , 100.00

Statistics for Table of DOSE by MONTA

Statistic          DF      Value      Prob
Chi-Square         2       3.8403    0.1466
Likelihood Ratio Chi-Square   2       4.5429    0.1032
Mantel-Haenszel Chi-Square   1       0.2583    0.6113
Phi Coefficient     0.3138
Contingency Coefficient  0.2994
Cramer's V          0.3138
```

Apêndice 31. Saída do SAS referente à sincronização total (MONTA)

The FREQ Procedure			
Table of DOSE by MONTA			
DOSE	MONTA		
		Frequency,	
		Percent ,	
		Row Pct ,	
		Col Pct ,	Total
		0, ffffff	1, ffffff
1		1, 13	14
		, 2.56 , 33.33 ,	35.90
		, 7.14 , 92.86 ,	
		, 50.00 , 35.14 ,	
		fffff, ffffff, ffffff	fffff, ffffff
2		1, 12	13
		, 2.56 , 30.77 ,	33.33
		, 7.69 , 92.31 ,	
		, 50.00 , 32.43 ,	
		fffff, ffffff, ffffff	fffff, ffffff
3		0, 12	12
		, 0.00 , 30.77 ,	30.77
		, 0.00 , 100.00 ,	
		, 0.00 , 32.43 ,	
		Total , 2	37
			39
		5.13	94.87
			100.00

Statistics for Table of DOSE by MONTA			
Statistic	DF	Value	Prob
Chi-Square	2	0.9411	0.6247
Likelihood Ratio Chi-Square	2	1.5214	0.4673
Mantel-Haenszel Chi-Square	1	0.6228	0.4300
Phi Coefficient		0.1553	
Contingency Coefficient		0.1535	
Cramer's V		0.1553	

Apêndice 32. Saída do SAS referente à variável porcentagem de prenhez (PP)

The FREQ Procedure			
Table of DOSE by PP			
DOSE	PP		
Frequency,			
Percent ,			
Row Pct ,			
Col Pct ,	0,	1,	Total
ffffffffff	ffffffffff	ffffffffff	
1 ,	7 ,	9 ,	16
, 14.89 ,	, 19.15 ,	, 34.04	
, 43.75 ,	, 56.25 ,		
	, 31.82 ,	, 36.00	
ffffffffff	ffffffffff	ffffffffff	
2 ,	9 ,	7 ,	16
, 19.15 ,	, 14.89 ,	, 34.04	
, 56.25 ,	, 43.75 ,		
	, 40.91 ,	, 28.00	
ffffffffff	ffffffffff	ffffffffff	
3 ,	6 ,	9 ,	15
, 12.77 ,	, 19.15 ,	, 31.91	
, 40.00 ,	, 60.00 ,		
	, 27.27 ,	, 36.00	
ffffffffff	ffffffffff	ffffffffff	
Total	22	25	47
	46.81	53.19	100.00
Statistics for Table of DOSE by PP			
Statistic	DF	Value	Prob
Chi-Square	2	0.9122	0.6337
Likelihood Ratio Chi-Square	2	0.9138	0.6333
Mantel-Haenszel Chi-Square	1	0.0359	0.8497
Phi Coefficient		0.1393	
Contingency Coefficient		0.1380	
Cramer's V		0.1393	
Sample size = 47			

Apêndice 33. Área experimental da pastagem nativa melhorada na Estação Experimental Agronômica (EEA) da Universidade Federal do Rio Grande do Sul (UFRGS), verão de 2005



Apêndice 33. (continuação) Área experimental da pastagem nativa melhorada na Estação Experimental Agronômica (EEA) da Universidade Federal do Rio Grande do Sul (UFRGS), verão de 2005



Apêndice 33. (continuação) Área experimental da pastagem nativa melhorada na Estação Experimental Agronômica (EEA) da Universidade Federal do Rio Grande do Sul (UFRGS), verão de 2005



18 2 2005



25 2 2005

Apêndice 33. (continuação) Área experimental da pastagem nativa melhorada na Estação Experimental Agronômica (EEA) da Universidade Federal do Rio Grande do Sul (UFRGS), verão de 2005



Apêndice 33. (continuação) Area experimental da pastagem nativa melhorada na Estação Experimental Agronômica (EEA) da Universidade Federal do Rio Grande do Sul (UFRGS), verão de 2005



7. VITA

Igor Justin Carassai, nasceu em 20 de fevereiro de 1980 no município de Osório, filho de Paulo da Silva Carassai e Eliane Terezinha Justin Carassai. Realizou seus estudos de ensino fundamental e médio no Instituto de Educação Cenecista Marquês de Herval, localizado na mesma cidade. Em 1998 ingressou na Faculdade de Agronomia da Universidade Federal do Rio Grande do Sul (UFRGS), onde no ano de 2004, graduou-se Engenheiro Agrônomo. Durante o curso de graduação, desenvolveu atividades como estudante de iniciação científica, sendo bolsista do Conselho Nacional de Desenvolvimento Científico e Tecnológico (CNPq) por um ano e da Fundação de Amparo à Pesquisa do Estado do Rio Grande do Sul (FAPERGS) por quatro anos. Realizou seus estágios curriculares obrigatório em três locais, Prefeitura Municipal de Osório – Secretaria de Agricultura e Abastecimento, Empresa Brasileira de Pesquisa Agropecuária (Embrapa) – Embrapa Trigo e Secretaria de Ciência e Tecnologia (SCT) – Fundação Estadual de Pesquisa Agropecuária (FEPAGRO). Em 2004 iniciou o curso de mestrado junto ao Programa de Pós-Graduação em Zootecnia da UFRGS na área de concentração Plantas Forrageiras, como bolsista CNPq.

Livros Grátis

(<http://www.livrosgratis.com.br>)

Milhares de Livros para Download:

[Baixar livros de Administração](#)

[Baixar livros de Agronomia](#)

[Baixar livros de Arquitetura](#)

[Baixar livros de Artes](#)

[Baixar livros de Astronomia](#)

[Baixar livros de Biologia Geral](#)

[Baixar livros de Ciência da Computação](#)

[Baixar livros de Ciência da Informação](#)

[Baixar livros de Ciência Política](#)

[Baixar livros de Ciências da Saúde](#)

[Baixar livros de Comunicação](#)

[Baixar livros do Conselho Nacional de Educação - CNE](#)

[Baixar livros de Defesa civil](#)

[Baixar livros de Direito](#)

[Baixar livros de Direitos humanos](#)

[Baixar livros de Economia](#)

[Baixar livros de Economia Doméstica](#)

[Baixar livros de Educação](#)

[Baixar livros de Educação - Trânsito](#)

[Baixar livros de Educação Física](#)

[Baixar livros de Engenharia Aeroespacial](#)

[Baixar livros de Farmácia](#)

[Baixar livros de Filosofia](#)

[Baixar livros de Física](#)

[Baixar livros de Geociências](#)

[Baixar livros de Geografia](#)

[Baixar livros de História](#)

[Baixar livros de Línguas](#)

[Baixar livros de Literatura](#)

[Baixar livros de Literatura de Cordel](#)

[Baixar livros de Literatura Infantil](#)

[Baixar livros de Matemática](#)

[Baixar livros de Medicina](#)

[Baixar livros de Medicina Veterinária](#)

[Baixar livros de Meio Ambiente](#)

[Baixar livros de Meteorologia](#)

[Baixar Monografias e TCC](#)

[Baixar livros Multidisciplinar](#)

[Baixar livros de Música](#)

[Baixar livros de Psicologia](#)

[Baixar livros de Química](#)

[Baixar livros de Saúde Coletiva](#)

[Baixar livros de Serviço Social](#)

[Baixar livros de Sociologia](#)

[Baixar livros de Teologia](#)

[Baixar livros de Trabalho](#)

[Baixar livros de Turismo](#)